

CLASSIFICATION OF KNOTTED TORI IN THE 2-METASTABLE DIMENSION

M. CENCELJ, D. REPOVŠ AND M. SKOPENKOV

ABSTRACT. This paper is devoted to the classical Knotting Problem: for a given manifold N and number m describe the set of isotopy classes of embeddings $N \rightarrow S^m$. We study the specific case of *knotted tori*, i. e. the embeddings $S^p \times S^q \rightarrow S^m$. The classification of knotted tori up to isotopy in the *metastable* dimension range $m \geq p + \frac{3}{2}q + 2$, $p \leq q$, was given by A. Haefliger, E. Zeeman and A.B. Skopenkov. We consider the dimensions below the metastable range, and give an explicit criterion for the finiteness of this set of isotopy classes in the *2-metastable* dimension:

Theorem. Assume that $p + \frac{4}{3}q + 2 < m < p + \frac{3}{2}q + 2$ and $m > 2p + q + 2$. Then the set of isotopy classes of smooth embeddings $S^p \times S^q \rightarrow S^m$ is infinite if and only if either $q + 1$ or $p + q + 1$ is divisible by 4.

Our approach to the classification is based on an analogue of the U. Koschorke exact sequence from the theory of link maps. Our sequence involves a new β -invariant of knotted tori. The exactness is proved using embedded surgery and the N. Habegger–U. Kaiser techniques of studying the complement.

1. INTRODUCTION

This paper is devoted to the classical Knotting Problem: *for a given manifold N and a number m describe the set of isotopy classes of embeddings $N \rightarrow S^m$.* For a recent survey see [ReSk99, Sko07L]. This subject was actively studied in the sixties [Hud63, Hae66C] and there has been a renewed interest for it in the last years [CeRe03, CRS04, CrSk08, Sko09]. In this paper the results announced in [CRS07, CRS08] are proved.

This problem generalizes the subject of classical knot theory. In contrast with knots in \mathbb{R}^3 , a complete answer can sometimes be obtained in higher dimensions. We work in the smooth category except when explicitly indicated otherwise. Let us list some known results.

Knots. The classification of *knots* $S^q \rightarrow S^m$ in codimension at least 3, i. e., for $m > q + 2$, has been reduced to a homotopy problem [Hae66A, Le65]. In particular, a complete *rational* classification is known:

2010 *Mathematics Subject Classification.* Primary: 57Q35, 57Q45; Secondary 55S37, 57Q60.

Key words and phrases. Knotted torus, link, link map, embedding, surgery.

Cencelj and Repovš were supported in part by Slovenian Research Agency grants P1-0292-0101 and J1-4144-0101. Skopenkov was supported in part by RFBR grant 12-01-00748-, President of the Russian Federation grant MK-3965.2012.1, “Dynasty” foundation and Simons–IUM fellowship.

Typeset by $\mathcal{A}\mathcal{M}\mathcal{S}$ - $\mathcal{T}\mathcal{E}\mathcal{X}$

Theorem 1.1. [Hae66A, Cor. 6.7] *Assume that $q + 2 < m < \frac{3}{2}q + 2$. Then up to isotopy the set of smooth embeddings $S^q \rightarrow S^m$ is infinite if and only if $q + 1$ is divisible by 4.*

Links. The classification of links $S^p \sqcup S^q \rightarrow S^m$ is the next natural problem after knots. In codimension at least 3 there is an exact sequence involving the set of links up to isotopy and certain homotopy groups [Hae66C]. In the certain dimension range, called *2-metastable*, there is an explicit description of the isotopy classes of links $S^p \sqcup S^q \rightarrow S^m$ modulo knots $S^p \rightarrow S^m$ and $S^q \rightarrow S^m$ in terms of homotopy groups of spheres and Stiefel manifolds [Hae66A]. A short proof of this result was given in [Sko09].

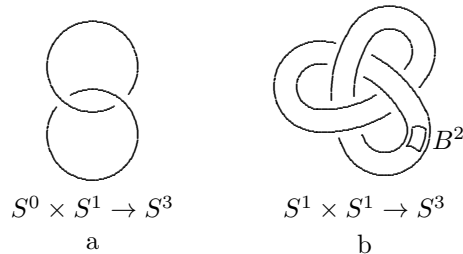


Figure 1

Knotted tori. In this paper we study the classification of *knotted tori*, i.e. smooth embeddings $S^p \times S^q \rightarrow S^m$. This theory generalizes the theory of 2-component links of the same dimension; see Figure 1. The investigation of knotted tori is a natural next step (after link theory) towards the classification of embeddings of arbitrary manifolds [Sko07F, Web67], by the handle decomposition theorem. This subject is also interesting because of many interesting examples [Hud63, MiRe71, Sko02]. A systematic investigation of this subject was begun in papers of A.B. Skopenkov [Sko02, Sko07F, Sko08].

There exists an explicit description of the set of isotopy classes of knotted tori in the *metastable* dimension $m \geq p + \frac{3}{2}q + 2$, $p \leq q$ [Hae62T, Sko02] (up to small indeterminacy for $m < \frac{3}{2}p + \frac{3}{2}q + 2$); see Figure 2. This dimension restriction is a natural limit for classical classification methods for a $(p - 1)$ -connected $(p + q)$ -manifold. In spite of many interesting approaches [Br68, GW99, Wa70] little is known below the metastable dimension: all known explicit classification results concern knots and links (listed above), knotted tori in dimension $m = p + \frac{3}{2}q + \frac{3}{2}$ [Sko08], 3-manifolds in \mathbb{R}^6 [Sko08Z] and 4-manifolds in \mathbb{R}^7 [CrSk08].

Now let us state the main “practical” result of the paper announced in [CRS07]. It is an explicit criterion for finiteness of the knotted tori set in the *2-metastable* range (see the dashed domain in Figure 2, in which the number p is fixed, whereas the numbers q and m vary):

Theorem 1.2. *Assume that $p + \frac{4}{3}q + 2 < m < p + \frac{3}{2}q + 2$ and $m > 2p + q + 2$. Then the set of isotopy classes of smooth embeddings $S^p \times S^q \rightarrow S^m$ is infinite if and only if either $q + 1$ or $p + q + 1$ is divisible by 4.*

Example 1. *The set of isotopy classes of knotted tori $S^1 \times S^5 \rightarrow S^{10}$ is finite. All dimensions in the range $p = 1$, $1 \leq q \leq 13$, $m > p + \frac{4}{3}q + 2$, such that the set of isotopy classes knotted tori is infinite, are shown in Figure 3. Information in the figure is obtained from Theorem 1.2, the results in [Sko07L, Th. 3.10 and 2.9], Proposition 5.6 and Remark 6.3 below.*

Our approach to the classification of embeddings is based on an analogue of the Koschorke exact sequence (Theorem 2.1 below), involving a new β -invariant of *almost embeddings* $S^p \times S^q \rightarrow S^m$. The exactness is proved using the Habegger–Kaiser techniques of studying the complement of an almost embedding.

Organization of the paper. In §2 we state our main “theoretical” result — Theorem 2.1. In §3 we define the new β -invariant. In §4, which is the main part of the paper, we prove the completeness of the β -invariant. In §5 we prove Theorem 2.1, using the results of §4. In §6 we deduce Theorem 1.2 from Theorem 2.1. In §7 we state some open problems. In Appendix we consider the embedded surgery on self-intersection sets which is used in §4.

In the publication [Sko10] Theorem 1.2 is generalized to arbitrary $m > 2p + q + 2$ by reducing the classification of knotted tori to the classification of links. A finiteness criterion for links is required for this purpose; it is obtained in [CFS11].

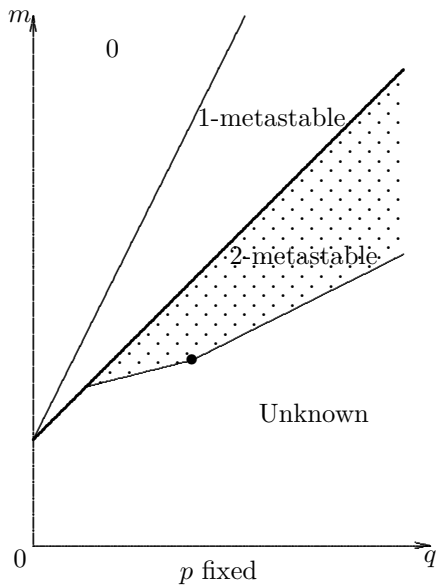


Figure 2

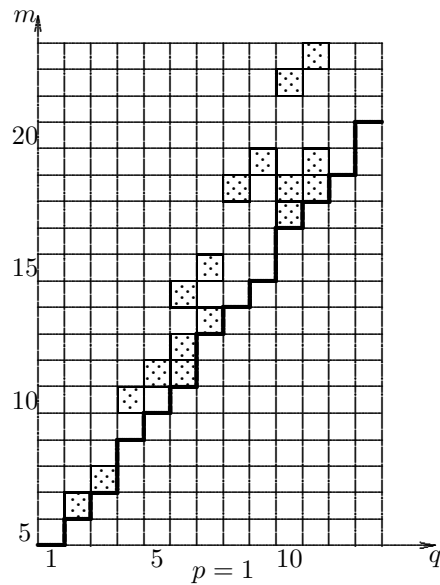


Figure 3

2. THE MAIN IDEA

In this section we state our main theoretical result. We present an exact sequence, which reduces the classification of embeddings $S^p \times S^q \rightarrow S^m$ to an easier classification of all *almost embeddings* $S^p \times S^q \rightarrow S^m$.

Isotopies and concordances. An embedding $f : X \times I \rightarrow S^m \times I$ is a *concordance* if $X \times 0 = f^{-1}(S^m \times 0)$ and $X \times 1 = f^{-1}(S^m \times 1)$. A concordance is an *isotopy* if $f(X \times t) \subset S^m \times t$ for each $t \in I$. A concordance or isotopy is *ambient* if $X = S^m$. We tacitly use the well-known facts that in codimension at least 3 *existence of concordance implies existence of an isotopy and any concordance or isotopy extends to an ambient one* [Hud69].

Almost embeddings. Informally, an *almost embedding* is a map admitting only “local” self-intersections; see Figure 4. To give a formal definition, fix a base point $*$ in S^p and a codimension 0 ball $B^{p+q} \subset S^p \times S^q$ such that $B^{p+q} \cap (* \times S^q) = \emptyset$; see Figure 1b. A map $f : S^p \times S^q \rightarrow S^m$ is an *almost embedding*, if the following

two conditions hold:

- (i) f is an embedding outside B^{p+q} ; and
- (ii) $fB^{p+q} \cap f(S^p \times S^q - B^{p+q}) = \emptyset$.

An *almost concordance* is defined analogously, except that the ball B^{p+q} is replaced by $B^{p+q} \times I$.

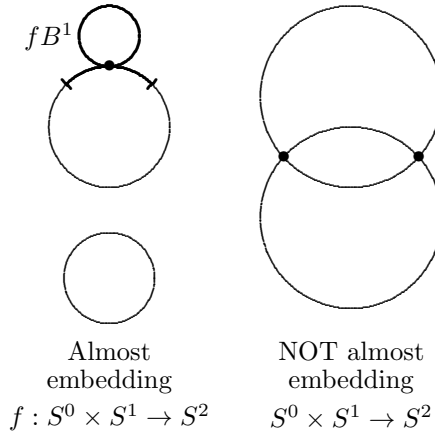


Figure 4

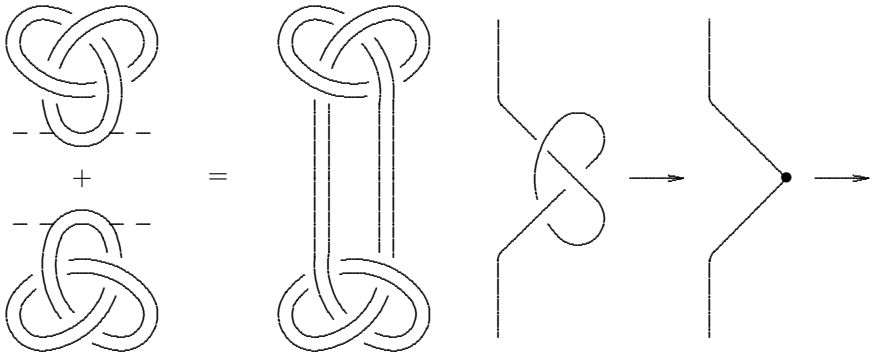


Figure 5

Figure 6

Commutative group structure. The parametric connected sum operation gives a natural commutative group structure on the set of embeddings $S^p \times S^q \rightarrow S^m$ up to concordance; see Figure 5. This structure is well-defined for $m > 2p + q + 2$ [Sko08]. We shall give the formal definition in §5.

Action of knots on knotted tori. For $m > p + q + 2$ the set of embeddings $S^{p+q} \rightarrow S^m$ up to concordance is a group with respect to the connected sum operation [Hae66A]. The same operation gives an action of this group on the set of embeddings $S^p \times S^q \rightarrow S^m$ up to concordance. In §5 we shall prove that this action is injective for $m > 2p + q + 2$. Notice that the set of orbits of the action is in a one-to-one correspondence with the set of embeddings $S^p \times S^q \rightarrow S^m$ up to concordance smooth outside a finite set; see Figure 6.

Notation:

- (a) $E^m(S^p \times S^q)/E^m(S^{p+q})$ denotes the group of all embeddings $S^p \times S^q \rightarrow S^m$ up to concordance and connected sums with embeddings $S^{p+q} \rightarrow S^m$.
- (b) $\overline{E}^m(S^p \times S^q)$ denotes the group of all almost embeddings $S^p \times S^q \rightarrow S^m$ up to almost concordance (with the parametric connected sum group structure).
- (c) $\Omega_{p,q}^m := \pi_{p+2q-m+1}(V_{N+m-p-q-1,N})$, where $V_{i,j}$ is the *Stiefel manifold* of j -frames at the origin of \mathbb{R}^i and N is a large number. Equivalently, for $m \geq p + \frac{4}{3}q + 2$ the group $\Omega_{p,q}^m$ is the *normal bordism group* $\Omega_{2p+3q-2m+2}(P^\infty, (m-p-q-1)\lambda)$. Many of the groups $\Omega_{p,q}^m$ are known [Kos88L, Pae56].

Let us state the main “theoretical” result of the paper.

Theorem 2.1. *For every $m \geq p + \frac{4}{3}q + 2$ and $m > 2p + q + 2$ there exists an exact sequence*

$$\begin{aligned} E^m(S^p \times S^q)/E^m(S^{p+q}) &\rightarrow \overline{E}^m(S^p \times S^q) \xrightarrow{\beta} \Omega_{p,q}^m \rightarrow \\ &\rightarrow E^{m-1}(S^p \times S^{q-1})/E^{m-1}(S^{p+q-1}) \rightarrow \overline{E}^{m-1}(S^p \times S^{q-1}) \rightarrow \Omega_{p,q-1}^{m-1} \rightarrow \dots \end{aligned}$$

This theorem has a list of immediate corollaries. First, it provides estimates of the order or the rank of the group $E^m(S^p \times S^q)/E^m(S^{p+q})$ given such estimates for the group $\overline{E}^m(S^p \times S^q)$. Theorem 2.1 also easily implies the Haefliger formula for the group of links $S^q \sqcup S^q \rightarrow S^m$ in the 2-metastable range [Hae66C]. A short proof of this classical result (together with Theorem 2.1 for $p = 0$) was given in [Sko09]. Theorem 2.1 for $p = 0$ is analogous to the Koschorke exact sequence: compare Theorems 3.1 and 3.5 in [Sko09], and Theorem 3.1 in [Kos90].

The beta-invariant. The map $\beta : \overline{E}^m(S^p \times S^q) \rightarrow \Omega_{p,q}^m$ in Theorem 2.1 is a new invariant and it is the main tool of the present paper. It generalizes both (a) the normal bordism β -invariant of link maps [HaKa98, Kos88, Ki90]; and (b) the β -invariant of knotted tori [Sko07F, Sko08], cf. also [Hae66C, Hud63].

The idea of this invariant is the following. For any almost embedding $f : S^p \times S^q \rightarrow S^m$ we have by definition $fB^{p+q} \cap f(* \times S^q) = \emptyset$. The β -invariant measures the “linking” of $f(* \times S^q)$ and (a certain retract of) fB^{p+q} .

The main idea of our paper is that from this point of view the study of almost embeddings $S^p \times S^q \rightarrow S^m$ is similar to the study of link maps $S^q \sqcup S^{p+q} \rightarrow S^m$. So we can apply the full strength of the Habegger–Kaiser technique from link map theory to our problem. Now let us concentrate on what is done in addition to the technique of the Habegger–Kaiser paper [HaKa98].

Sketch of the proof of Theorem 2.1. Let us outline the proof of exactness at the term $\overline{E}^m(S^p \times S^q)$. We need to prove that any almost embedding $f : S^p \times S^q \rightarrow S^m$ such that $\beta(f) = 0$ is almost concordant to an embedding.

It suffices to construct a ball $B^m \subset S^m$ such that $f^{-1}B^m = B^{p+q}$. Indeed, then the knot $f : \partial B^{p+q} \rightarrow \partial B^m$ is trivial by smoothing theory. Thus one can deform the restriction $f : B^{p+q} \rightarrow B^m$ to an embedding and obtain the desired embedding $S^p \times S^q \rightarrow S^m$.

To construct the ball B^m it suffices to span the meridians $f(* \times S^q)$ and $f(S^p \times *)$ by two discs D^{q+1} and D^{p+1} (called *webs*), whose interiors are disjoint and do not intersect the image $f(S^p \times S^q)$. Then the required ball B^m is the complement of a small tubular neighborhood of $D^{q+1} \cup D^{p+1}$ in S^m .

The existence of the web D^{p+1} is granted by general position and the inequality $m > 2p + q + 2$. Let us show how to construct the web D^{q+1} under some additional

assumptions. This is the most difficult step, which requires the conditions $\beta(f) = 0$ and $m \geq p + \frac{4}{3}q + 2$. By the results of Habegger–Kaiser [HaKa98] we may assume that $f|_{*\times S^q}$ is null-homotopic outside fB^{p+q} . So we can span $f(* \times S^q)$ by a (not necessarily embedded) disc D^{q+1} in $S^m - fB^{p+q}$. Then we can remove the self-intersection of the disc using the embedding theorem.

This completes the proof under the assumption that the interior of D^{q+1} does not intersect also $f(S^p \times S^q - B^{p+q})$ and the disc is smooth. The proof without this assumptions uses an appropriate relative version of this argument; see §4. Let us emphasize that a *relative* version of the above construction is used in the formal proof of Theorem 2.1.

3. THE BETA-INVARIANT

In this section we shall give a detailed construction of the β -invariant of almost embeddings $S^p \times S^q \rightarrow S^m$.

Idea of the β -invariant. The visualization of this idea is based on an analogy of low-dimensional *almost embeddings* $f \sqcup g : S^1 \sqcup S^0 \rightarrow S^2$.

Fix an arc $B^1 \subset S^1$. A map $f \sqcup g : S^1 \sqcup S^0 \rightarrow S^2$ is an *almost embedding* if it is an embedding outside the arc B^1 and $fB^1 \cap (f(S^1 - B^1) \cup gS^0) = \emptyset$. An *almost isotopy* $f_t \sqcup g_t : S^1 \sqcup S^0 \rightarrow S^2$ is a homotopy in the class of almost embeddings.

A simple almost isotopy invariant of an almost embedding $f \sqcup g : S^1 \sqcup S^0 \rightarrow S^2$ is the linking number $\text{lk}(f, g)$ which assumes its values in \mathbb{Z}_2 . This invariant is incomplete: e.g., the almost embedding in Figure 7 is not almost isotopic to the “unlink” but $\text{lk}(f, g) = 0$.

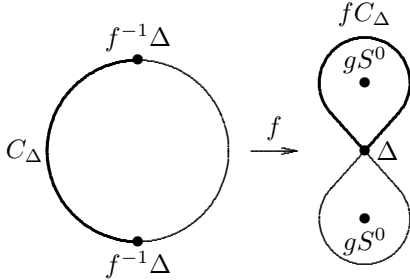


Figure 7

In the situation of Figure 7 the following β -invariant of almost isotopy is useful. Take a double point Δ of the map $f : S^1 \rightarrow S^2$. Generically $f^{-1}\Delta$ consists of two points. Join these two points by an arc $C_\Delta \subset S^1$. The image fC_Δ is a cycle, and the number $\beta(f, g) = \sum_{\Delta} \text{lk}(fC_\Delta, g) \pmod{2}$, where the summation is over all double points of f , is an almost isotopy invariant. It is well-defined only if $\text{lk}(f, g) = 0$. For example, for the almost embedding in Figure 7 we have $\beta(f, g) = 1$ which proves that the shown almost embedding is indeed not almost isotopic to an “unlink”.

Construction. To realize this idea in higher dimensions we construct:

- (i) an analogue of the cycle fC_Δ , see the definition of the cycle \tilde{f} below; and
- (ii) a generalization of the linking number $\text{lk}(fC_\Delta, f(* \times S^q))$, see the definition of $\beta(f)$ below.

Definition of the double point data. [Kos88L] Let $f : S^p \times S^q \rightarrow S^m$ be an almost embedding. Make f a general position immersion by an almost isotopy.

Consider the diagram

$$\begin{array}{ccc} \tilde{\Delta} & \xrightarrow{\tilde{i}} & B^{p+q} \\ 2:1 \downarrow & & f \downarrow \\ \Delta & \xrightarrow{i} & S^m \end{array}$$

Here $\tilde{\Delta} = \text{Cl}\{(x, y) \in B^{p+q} \times B^{p+q} \mid x \neq y, fx = fy\}$ and $\Delta = \tilde{\Delta}/\mathbb{Z}_2$ are the *double point manifolds*, where \mathbb{Z}_2 acts on $\tilde{\Delta}$ by interchanging of factors. The immersions $\tilde{i} : \tilde{\Delta} \rightarrow B^{p+q}$ and $i : \Delta \rightarrow S^m$ are given by the formulas $\tilde{i}(x, y) = x$ and $i\{x, y\} = fx$. Denote by $\Sigma(f) = \text{Im } \tilde{i}$ the *singular set* of the map f .

Definition of the cycle $\tilde{f} : T(\lambda_{\tilde{\Delta}}) \rightarrow S^m$. [HaKa98] Denote by $T(\lambda_{\tilde{\Delta}})$ the mapping cone of the double covering $\tilde{\Delta} \rightarrow \Delta$. Take a map $\tilde{i} : C\tilde{\Delta} \rightarrow B$ extending the map $\tilde{i} : \tilde{\Delta} \rightarrow B$. Define $\tilde{f} : T(\lambda_{\tilde{\Delta}}) \rightarrow S^m$ to be the quotient map of the composition $f\tilde{i} : C\tilde{\Delta} \rightarrow S^m$.

Now let us define the generalized linking number. This is the announced step (ii) of the construction of the invariant. Extend $f|_{*\times S^q}$ to a general position immersion $\bar{f} : D^{q+1} \rightarrow S^m$ (*web*). Informally, the desired “linking number” is the bordism class of the “intersection” $\text{Im } \tilde{f} \cap \text{Im } \bar{f}$ with a natural “skew framing”. It assumes values in the *normal bordism group* $\Omega_{p,q}^m$ generalizing the group of framed links.

The construction of all framings below is obvious, so the reader may ignore steps (2) and (3) in all the definitions below. In fact these steps are not used in the paper except in the proof of Proposition 4.4 essentially borrowed from [HaKa98].

Definition of the normal bordism group $\Omega_s(P^\infty, l\lambda)$ [Kos88L]. Let l and s be integer numbers. An $l\lambda$ -manifold is the triple consisting of

- (1) a manifold M (“link”);
- (2) a line bundle λ_M on M ; and
- (3) a stable isomorphism $\bar{g}_M : \nu(M) \cong l\lambda_M := \underbrace{\lambda_M \oplus \cdots \oplus \lambda_M}_l$ (“skew framing”),

where $\nu(M)$ is the stable normal bundle of M .

The *normal bordism group* $\Omega_s(P^\infty, l\lambda)$ is the set of s -dimensional $l\lambda$ -manifolds up to bordism (with analogous bundle structure). The disjoint union commutative group structure is evidently defined on this set.

Hereafter set $s = 2p + 3q - 2m + 2$, $l = m - p - q - 1$ and $n = p + q$. By [Kos88L] we have $\Omega_s(P^\infty, l\lambda) \cong \pi_{l+s}(V_{N+l, N}) = \Omega_{p,q}^m$ for $s < l$ and a large integer N . Denote by $N(X, Y)$ the normal bundle of a manifold X immersed into a manifold Y and by ϵ the trivial line bundle.

Definition of the double point $(m - n)\lambda$ -manifold. [Kos88L] The *double point* $(m - n)\lambda$ -manifold is a triple $(\Delta, \lambda_\Delta, \bar{g}_\Delta)$, where:

- (1) Δ is the double point manifold;
- (2) λ_Δ is the line bundle associated with the covering $\tilde{\Delta} \rightarrow \Delta$; and
- (3) $\bar{g}_\Delta : N(\Delta, S^m) \cong (m - n)\lambda_\Delta \oplus \epsilon^{m-n}$ is constructed as follows.

For each point $\{x, y\} \in \Delta$ we have canonical isomorphisms

$$N(\Delta, S^m)_{\{x, y\}} \cong N(\tilde{\Delta}, B)_{(x, y)} \oplus N(\tilde{\Delta}, B)_{(y, x)} \cong N(B, S^m)_y \oplus N(B, S^m)_x.$$

Let the vectors $\{e_x^k\}_{k=1}^{m-n}$ form a trivialization of $N(B, S^m)$ at the point $x \in B$. Then the vectors $\{e_x^k, e_y^k\}$ form a “skew framing” of the manifold Δ . Interchanging

of the points x and y in a pair $(x, y) \in \tilde{\Delta}$ implies interchanging of the vectors e_x^k and e_y^k . Thus the bundle $N(\Delta, S^m)$ can be decomposed into the sum of all line bundles $\langle e_x^k + e_y^k \rangle \cong \epsilon$ and $\langle e_x^k - e_y^k \rangle \cong \lambda_\Delta$ for $k = 1, \dots, m-n$. This decomposition defines the required isomorphism $\bar{g}_\Delta : N(\Delta, S^m) \cong (m-n)\lambda_\Delta \oplus \epsilon^{m-n}$.

Notice that the bundle λ_Δ can be identified with a subset of the mapping cone $T(\lambda_\Delta)$ of the covering $\tilde{\Delta} \rightarrow \Delta$. Denote the restriction of the cycle $\tilde{f} : T(\lambda_\Delta) \rightarrow S^m$ to the subset still by $\tilde{f} : \lambda_\Delta \rightarrow S^m$. Denote by $\check{f} : \lambda_\Delta \rightarrow S^m$ a general position smooth map (not necessarily an immersion) sufficiently close to $\tilde{f} : \lambda_\Delta \rightarrow S^m$.

Definition of the beta-invariant $\beta(f)$. The beta-invariant $\beta(f)$ of an almost embedding $f : S^p \times S^q \rightarrow S^m$ is the bordism class of the $l\lambda$ -manifold $(\beta, \lambda_\beta, \bar{g}_\beta)$ defined as follows:

(1) *The manifold $\beta = \beta(f)$.* Put

$$\beta = \{ (x, y) \in D^{q+1} \times \lambda_\Delta : \bar{f}x = \check{f}y \}.$$

(2) *The line bundle λ_β on the manifold β .* Denote by $\text{pr} : \beta \rightarrow \Delta$ the obvious composition $\beta \rightarrow D^{q+1} \times \lambda_\Delta \rightarrow 0 \times \Delta = \Delta$. Put $\lambda_\beta = \text{pr}^*(\lambda_\Delta)$.

(3) *The stable isomorphism $\bar{g}_\beta : \nu(\beta) \cong l\lambda_\beta$.* Restrict the stable isomorphism $\bar{g}_\Delta : \nu(\Delta) \cong (l+1)\lambda_\Delta$ given by the definition of the double point $(m-n)\lambda$ -manifold, step (3), to the bundle $\langle e_x^1 - e_y^1 \rangle^{\perp}$. We get an isomorphism $\nu(\lambda_\Delta) \cong l\lambda_\Delta \oplus \epsilon^{l+1}$. Identify $\nu(\lambda_\Delta)$ and $\nu(D^{q+1} \times \lambda_\Delta)$. By restricting the previous isomorphism to the manifold β we get an isomorphism $g_1 : \nu(D^{q+1} \times \lambda_\Delta)|_\beta \cong l\lambda_\beta \oplus \epsilon^{l+1}$. Take a trivialization of the normal bundle $N(D^{q+1}, S^m)$. The trivialization gives an isomorphism $g_2 : \nu(\beta) \cong \nu(D^{q+1} \times \lambda_\Delta)|_\beta \oplus \epsilon^{m-q-1}$. Put $\bar{g}_\beta = (g_1 \oplus \text{id}) \circ g_2$.

Proposition 3.1. *There is a well-defined map $\bar{E}^m(S^p \times S^q) \rightarrow \Omega_{p,q}^m$ given by the formula $f \mapsto \beta(f)$.*

Proof. We need to check the following:

(1) *The class of $\beta(f)$ does not depend on the choices in the construction.* Indeed, we made the following four choices. In the definition of the cycle \tilde{f} we took an extension $\tilde{i} : C\tilde{\Delta} \rightarrow D^{p+q}$. In the definition of the double point $(m-n)\lambda$ -manifold, step (3), we took a trivialization of the bundle $N(D^{p+q}, S^m)$. In the definition of $\beta(f)$, step (1), we took an extension $\bar{f} : D^{q+1} \rightarrow S^m$. And in step (3) of the same definition we took a trivialization of $N(D^{q+1}, S^m)$. Clearly, these extensions and trivializations are unique up to homotopy, hence the class of $\beta(f)$ is well-defined.

(2) *If f_1 and f_2 are almost concordant, then $\beta(f_1) = \beta(f_2)$.* Indeed, let $f : S^p \times S^q \times I \rightarrow S^m \times I$ be a general position almost concordance between f_1 and f_2 . One can construct analogously as above the β -invariant $\beta(f)$ of this almost concordance. It will be a bordism between $\beta(f_1)$ and $\beta(f_2)$. Thus $\beta(f_1) = \beta(f_2)$. \square

Now we give a relative version of the above construction; see Figure 8. A map $f : X \rightarrow Y$ is *proper* if $f^{-1}\partial Y = \partial X$.

Definition of a proper almost embedding $S^p \times D^q \rightarrow D^m$. Fix a codimension 0 ball $B^{p+q} \subset S^p \times \text{Int} D^q$ such that $B^{p+q} \cap (* \times D^q) = \emptyset$. A proper map $f : S^p \times D^q \rightarrow D^m$ is said to be a *proper almost embedding* if the following conditions hold:

(i) f is an embedding outside B^{p+q} ; and

(ii) $fB^{p+q} \cap f(S^p \times D^q - B^{p+q}) = \emptyset$.

A *proper almost concordance* is defined analogously, except that the ball B^{p+q} is replaced by $B^{p+q} \times I$. The *standard* embedding $S^p \times D^q \rightarrow D^m$ is the composition $S^p \times D^q \subset D^{p+1} \times D^q \cong D^{p+q+1} \subset D^m$.

Hereafter $f : S^p \times D^q \rightarrow D^m$ will be assumed to be a proper almost embedding, unless stated otherwise.

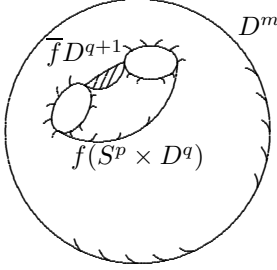


Figure 8

Definition of a proper almost embedding $D^{p+q} \rightarrow D^m$. A *proper almost embedding* $D^{p+q} \rightarrow D^m$ is a proper map whose restriction to the boundary is an embedding.

Definition of the web \bar{f} . Fix the standard equatorial decomposition $\partial D^{q+1} = D_+^q \cup_{\partial D_+^q = \partial D_-^q} D_-^q$. A *web* of a proper almost embedding $f : S^p \times D^q \rightarrow D^m$ is a map $\bar{f} : D^{q+1} \rightarrow D^m$ satisfying the following two conditions, see Figure 8:

- (i) $\bar{f}|_{D_+^q} = f|_{*\times D^q}$; and
- (ii) $fD_-^q \subset \partial D^m$.

Definition of the relative beta-invariants $\beta(f)$ and $\beta(f, g)$. The definition of the (relative) β -invariant $\beta(f)$ of a proper almost embedding $f : S^p \times D^q \rightarrow D^m$ is completely analogous to the definition of the invariant $\beta(f)$ above, except that the map $f|_{*\times S^q}$ is replaced by $f|_{*\times D^q}$.

Given a proper map $g : D^q \rightarrow D^m$ missing the image $f(S^p \times D^q)$, define the β -invariant $\beta(f, g)$ analogously to $\beta(f)$, only replace the map $f|_{*\times D^q}$ by the map g .

An obvious consequence of the definitions is:

Proposition 3.2. *The map $g \mapsto \beta(f, g)$ induces a homomorphism of groups $\pi_q(D^m - \text{Im } f, \partial D^m - \text{Im } f) \rightarrow \Omega_{p,q}^m$. Moreover, if a proper map $g : D^q \rightarrow D^m$ is sufficiently close to $f|_{*\times D^q}$, then $\beta(f, g) = \beta(f)$.*

4. COMPLETENESS OF THE BETA-INVARIANT

In this section we prove the completeness of the relative β -invariant:

Theorem 4.1. *Assume that $m \geq p + \frac{4}{3}q + 2$. Then any proper almost embedding $f : S^p \times D^q \rightarrow D^m$ such that $\beta(f) = 0$ is properly almost concordant to a connected sum (relatively the boundary) of the standard embedding $S^p \times D^q \rightarrow D^m$ and a proper almost embedding $D^{p+q} \rightarrow D^m$.*

First let us state our central lemma which describes the homotopy groups of the complement of a proper almost embedding; cf. [HaKa98, Corollary 4.4]:

Complement Lemma 4.2. *Assume that $m \geq p + \frac{4}{3}q + 2$. Then any proper almost embedding $f : S^p \times D^q \rightarrow D^m$ is properly almost concordant to a general position proper almost embedding $f' : S^p \times D^q \rightarrow D^m$ such that*

$$\pi_q(D^m - \text{Im } f', \partial D^m - \text{Im } f') \cong \Omega_{p,q}^m.$$

This isomorphism is given by the formula $g \mapsto \beta(f', g)$.

In particular, if $\beta(f) = 0$ then any proper map $g : D^q \rightarrow D^m - \text{Im } f'$ sufficiently close to $f'|_{* \times D^q}$ is properly null-homotopic (outside $\text{Im } f'$). This remark follows from Proposition 3.2 above and forms the basis of the following argument.

Proof of 4.1 modulo Lemma 4.2. The proof consists of 3 steps:

(1) *Construction of a web, whose interior misses $\text{Im } f$.* Take a proper almost embedding $f : S^p \times D^q \rightarrow D^m$. Let $f' : S^p \times D^q \rightarrow D^m$ be a proper almost embedding (properly almost concordant to f) such that the isomorphism of Lemma 4.2 holds.

Without loss of generality assume that $f'(S^p \times D^q)$ is orthogonal to ∂D^m . Since the restriction of the normal bundle $N(f'(S^p \times D^q), D^m)$ to the disc $f'(* \times D^q)$ is trivial, there exists a unit vector field on $f'(* \times D^q)$ orthogonal to $f'(S^p \times D^q)$. Attach a collar neighborhood to $f'(* \times D^q)$ along this vector field. One boundary component of this collar forms a proper map $g : D^q \rightarrow D^m - \text{Im } f'$.

By Lemma 4.2 (and the paragraph after its statement) the map $g : D^q \rightarrow D^m - \text{Im } f'$ is properly null-homotopic. Hence one can attach a disc (possibly with self-intersections, missing $\text{Im } f'$ and with boundary in $\text{Im } g \cup \partial D^m$) to the boundary component of the collar. The union of the disc and the collar is the image of the desired web $\bar{f} : D^{q+1} \rightarrow D^m$.

(2) *Removing self-intersection of the web.* By [Ha67, Theorem 2.1] there exists a piecewise smooth homeomorphism $h : D^m \rightarrow D^m$ such that $f'_{PL} := hf'$ and $\bar{f}_{PL} := h\bar{f}$ are piecewise linear. Denote by M^m the complement of a regular neighborhood of $\text{Im } f'_{PL}$ in D^m . Then the pair $(M^m, \partial M^m \cap \partial D^m)$ is sufficiently highly connected (see Proposition 4.6 below). The following theorem allows to remove the self-intersection of the web:

Embedding Theorem moving a part of the boundary 4.3. *Let (M^m, M^{m-1}) be a pair of piecewise linear manifolds such that $M^{m-1} \subset \partial M^m$. Suppose this pair is $(2q - m + 3)$ -connected and $m \geq q + 4$. Let $\bar{f}_{PL} : (D^{q+1}, D_-^q) \rightarrow (M^m, M^{m-1})$ be a piecewise linear map which embeds D_+^q into $\partial M^m - \text{Int } M^{m-1}$. Then \bar{f}_{PL} is homotopic rel D_+^q to a piecewise linear embedding $\bar{f}_{Emb} : (D^{q+1}, D_-^q) \rightarrow (M^m, M^{m-1})$.*

This theorem is proved completely analogously to the result [Hud69, Theorem 9.2.1]. Since all the obstructions to smoothing the embedding $h^{-1}\bar{f}_{Emb}$ belong to trivial groups $H^k(D^{q+1}, D_-^q; C_{q-k}^{m-q})$ it follows by smoothing theory [Ha67] that the piecewise linear embedding $h^{-1}\bar{f}_{Emb}$ is properly homotopic rel D_+^q to a web $\bar{f}' : D^{q+1} \rightarrow D^m$ which is a smooth embedding.

(3) *Decomposition of f' into a connected sum.* Let B^m be the complement in D^m of the union of tubular neighborhoods of $f'(S^p \times D^q - \text{Int } B^{p+q})$ and $\bar{f}'D^{q+1}$. Then B^m is a smooth ball such that $(f')^{-1}B^m = B^{p+q}$. Denote the restriction $f' : B^{p+q} \rightarrow B^m$ by $g' : B^{p+q} \rightarrow B^m$. It is easy to see that f' is properly almost concordant to a connected sum (relatively the boundary) of $g' : B^{p+q} \rightarrow B^m$ and an embedding $S^p \times D^q \rightarrow D^m$. The latter is properly ambient concordant to

the standard one (by easy Proposition 5.7(a) below). Thus Theorem 4.1 modulo Lemma 4.2 follows. \square

The rest of §4 is devoted to the proof of Lemma 4.2. Our argument is parallel to [HaKa98, §§3–4].

Notation: Hereafter we shall identify the disc D^m with the upper half-sphere of S^m and we shall fix the decomposition $S^m = D^m \cup CS^{m-1}$. Denote by $\{X, Y\}$ the set of stable homotopy classes of maps $X \rightarrow Y$.

Example. $\{(D^q; S^{q-1}), (D^m - \text{Im } f, \partial)\} \cong \{S^q, S^m - f(S^p \times D^q)\}$ (because a pair (X, Y) is stably homotopy equivalent to the space $X \cup CY$).

The following proposition shows how to express the β -invariant via the homotopy class of a map $g : D^q \rightarrow D^m - \text{Im } f$ in the group $\pi_q(D^m - \text{Im } f, \partial)$. This can be considered as an alternative definition of the β -invariant $\beta(f, g)$.

Proposition 4.4. (cf. [HaKa98, Proposition 3.2]) *Under the composition*

$$\begin{aligned} \pi_q(D^m - \text{Im } f, \partial) &\xrightarrow{\Sigma^\infty} \{S^q, S^m - \text{Im } f\} \xrightarrow{SW} \\ &\xrightarrow{SW} \{\text{Im } f, S^{m-q-1}\} \xrightarrow{\tilde{f}_*} \{T(\lambda_\Delta), S^{m-q-1}\} \xrightarrow{PT} \Omega_s(P^\infty, l\lambda) \end{aligned}$$

the homotopy class of a proper map $g : D^q \rightarrow D^m - \text{Im } f$ is sent to $\beta(f, g)$.

Here the first arrow is the iterated suspension map. The second map is the Spanier-Whitehead duality. The third arrow is induced by the map \tilde{f} defined in §3. The fourth map is given by the Pontryagin–Thom construction (see [Kos88L] for details). This proposition is proved by a direct verification. In fact, it suffices to prove it for a map $f : B^{p+q} \rightarrow S^m$, which can be done analogously to [HaKa98, Proposition 3.2].

This assertion suggests to find the homotopy type of $\text{Im } f$:

Proposition 4.5. (cf. [HaKa98, §4]) *Denote by C the mapping cone of $f : \Sigma(f) \rightarrow f\Sigma(f)$. Then $\text{Im } f \simeq C \vee S^p$.*

The proof of this proposition immediately follows from the observation that both of these spaces can be obtained from $\text{Cyl}(\Sigma(f) \rightarrow f\Sigma(f)) \cup_{\Sigma(f) \subset S^p \times D^q} (S^p \times D^q)$ by appropriate contractions; see Figure 9.

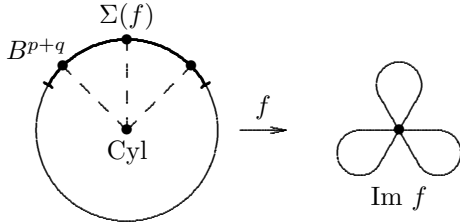


Figure 9

Let us begin the study of the homotopy type of the pair $(D^m - \text{Im } f, \partial)$.

Proposition 4.6. (cf. [HaKa98, Lemma 4.2]) *For a general position immersion f the pair $(D^m - \text{Im } f, \partial)$ is c -connected, where $c = \min\{m - p - 2, 2m - 2p - 2q - 3\}$.*

Proof. In codimension at least 3 the pair $(D^m - \text{Im } f, \partial)$ is generically 1-connected. By the homology excision theorem $H_i(D^m - \text{Im } f, \partial) \cong H_i(S^m - \text{Im } f)$. By the Alexander duality $H_i(S^m - \text{Im } f) \cong H^{m-i-1}(\text{Im } f)$. By Proposition 4.5 we have $H^{m-i-1}(\text{Im } f) = 0$ for $i \leq c$, because generically $\dim C = 2p + 2q - m + 1$. So by the Hurewicz theorem the pair $(D^m - \text{Im } f, \partial)$ is c -connected. \square

Proof of Lemma 4.2. It suffices to show that for an appropriate choice of proper almost embedding f' all maps in Proposition 4.4 are bijective. We need to modify the initial proper almost embedding f only in step (4) below.

(1) *The first map is bijective* by Proposition 4.6 and the Suspension theorem, because the assumption $m \geq p + \frac{4}{3}q + 2$ implies $q/2 \leq c$.

(2) *The second map is bijective* by the Spanier-Whitehead duality.

(3) *The third map is bijective.* By Proposition 4.5 $\{\text{Im } f, S^{m-q-1}\} \cong \{C, S^{m-q-1}\}$, hence it remains to check that $\{C, S^{m-q-1}\} \cong \{T(\lambda_\Delta), S^{m-q-1}\}$. Denote by λ_T the restriction of λ_Δ to the triple points, by C_T the image of $T(\lambda_T)$ under the map $T(\lambda_\Delta) \rightarrow C$, and by R the mapping cone of the map $T(\lambda_T) \rightarrow C_T$. Then R is a deformation retract of the mapping cone of the map $T(\lambda_\Delta) \rightarrow C$. Consider the Puppe exact sequence of the pair $(\text{Cyl}(T(\lambda_\Delta) \rightarrow C), T(\lambda_\Delta))$:

$$\{R, S^{m-q-1}\} \rightarrow \{C, S^{m-q-1}\} \rightarrow \{T(\lambda_\Delta), S^{m-q-1}\} \rightarrow \{R, S^{m-q}\}.$$

Since R has dimension at most $3q + 3p - 2m + 2$, it follows by the assumption $m \geq p + \frac{4}{3}q + 2$ that $\{C, S^{m-q-1}\} \cong \{T(\lambda_\Delta), S^{m-q-1}\}$. Clearly, the obtained isomorphism $\{\text{Im } f, S^{m-q-1}\} \cong \{T(\lambda_\Delta), S^{m-q-1}\}$ is induced by the map $\tilde{f} : T(\lambda_\Delta) \rightarrow \text{Im } f$.

(4) *Making the fourth map bijective.* One can see that the fourth map is bijective if the map $\Delta \rightarrow P^\infty$ classifying the bundle λ_Δ is $(s+1)$ -connected. Indeed, by the Thom-Pontryagin construction $\{T(\lambda_\Delta), S^{m-q-1}\} \cong \Omega_s(\Delta, l\lambda_\Delta)$ and by homotopy lifting the induced map $\Omega_s(\Delta, l\lambda_\Delta) \rightarrow \Omega_s(P^\infty, l\lambda)$ is an isomorphism. (The definition of the group $\Omega_s(\Delta, l\lambda_\Delta)$ and the details can be found in [HaKa98, §3] and [Kos88L]).

So it remains to make the classifying map $\Delta \rightarrow P^\infty$ $(s+1)$ -connected by a proper almost concordance of f . This is made by the following theorem (applied here for $s = 2p + 3q - 2m + 2$ and $n = p + q$):

Surgery Theorem 4.7. (cf. [HaKa98, Theorem 4.5]) *Let M^m be an $(s+1)$ -connected manifold and let $f : B^n \rightarrow M^m$ be a proper immersion such that the restriction $f|_{\partial B^n}$ is an embedding. Assume that $2s \leq 2n - m - 2$ and $0 \leq s \leq m - n - 3$. Then by a regular homotopy $\text{rel } \partial B^n$ of the immersion $f : B^n \rightarrow M^m$ the classifying map $\Delta \rightarrow P^\infty$ of the covering $\tilde{\Delta} \rightarrow \Delta$ can be made $(s+1)$ -connected.*

The proof of Theorem 4.7 is completely analogous to the proof of [HaKa98, Theorem 4.5]. We present it in Appendix for the convenience of the reader. \square

Thus we have proved, modulo Theorem 4.7, the completeness of the β -invariant.

5. THE EXACT SEQUENCE

In this section we deduce Theorem 2.1 from the completeness of the β -invariant. Formally, Theorem 2.1 follows from assertions 4.1, 5.1, 5.2 and 5.5.

Theorem 5.1. *Assume that $m \geq p + \frac{4}{3}q + 2$. Then for each $x \in \Omega_{p,q}^m$ there exists a proper almost embedding $\omega_x : S^p \times D^q \rightarrow D^m$ such that $\beta(\omega_x) = x$.*

Proof of 5.1 modulo Lemma 4.2. The construction of ω_x proceeds in 3 steps:

(1) *Construction of a map $f' \sqcup g : S^p \times D^q \sqcup D^q \rightarrow D^m$ such that $\beta(f', g) = x$.* Start with the standard embedding $f : S^p \times D^q \rightarrow D^m$. By Lemma 4.2 from §4 the map f is properly almost concordant to a proper almost embedding $f' : S^p \times D^q \rightarrow D^m$, such that $\beta(f', \cdot) : \pi_q(D^m - \text{Im } f', \partial) \rightarrow \Omega_{p,q}^m$ is an isomorphism. Take a proper map $g : D^q \rightarrow D^m - \text{Im } f'$ such that $\beta(f', g) = x$.

(2) *Homotopical extension of $g : D^q \rightarrow D^m - \text{Im } f'$ to a proper embedding $g' : S^p \times D^q \rightarrow D^m - \text{Im } f'$.* Since $(D^m - \text{Im } f', \partial)$ is sufficiently highly connected (see Proposition 4.6), it follows by the embedding theorem [Hud69, Theorem 8.2.1] that one can remove the self-intersection of $g : D^q \rightarrow D^m - \text{Im } f'$. By Hirsch theory one can make $g : D^q \rightarrow D^m - \text{Im } f'$ a smooth embedding with a trivial normal bundle. So one can extend $g : D^q \rightarrow D^m - \text{Im } f'$ to a proper embedding $g' : S^p \times D^q \rightarrow D^m - \text{Im } f'$ such that the image $\text{Im } g'$ is contained in a tubular neighborhood of $\text{Im } g$.

(3) *Making the S^p -parametric connected sum of f' and g' .* Fix a point $*$ in ∂D^q . By construction it follows that $f'|_{\partial}$ is concordant to the standard embedding.

Thus the sphere $f'(S^p \times *)$ can be spanned by a framed disc $D^{p+1} \subset \partial D^m$ (web) such that $\text{Int } D^{p+1} \cap \text{Im } f' = \emptyset$ and the first q vector fields of the framing of ∂D^{p+1} are tangent to $f'(S^p \times S^q)$. Generically the web does not intersect also $\text{Im } g$, and hence neither $\text{Im } g'$. Clearly, the sphere $g'(S^p \times *)$ can also be spanned by a web $\bar{D}^{p+1} \subset \partial D^m$ whose interior does not intersect $\text{Im}(f' \sqcup g')$ and D^{p+1} .

Join the centers of the webs D^{p+1} and \bar{D}^{p+1} by an arc I in ∂D^m . Generically I intersects $\text{Im}(f' \sqcup g') \cup D^{p+1} \cup \bar{D}^{p+1}$ only at the boundary ∂I . Let \bar{D}^m be the union of small tubular neighborhoods of D^{p+1} , I and \bar{D}^{p+1} in the ball D^m . Clearly, the intersection $\text{Im}(f' \sqcup g') \cap \bar{D}^m$ is standard. By performing the S^p -parametric connected sum of $f' : S^p \times D^q \rightarrow D^m$ and $g' : S^p \times D^q \rightarrow D^m$ in \bar{D}^m , we obtain the required proper almost embedding $\omega_x : S^p \times D^q \rightarrow D^m$. \square

Notation: $\bar{E}^m(S^p \times D^q, S^p \times S^{q-1})$ denotes the group of proper almost embeddings $S^p \times D^q \rightarrow D^m$ up to proper almost concordance and connected sums with proper almost embeddings $D^{p+q} \rightarrow D^m$ (with the parametric connected sum group structure).

Remark. The relative β -invariant is a map $\bar{E}^m(S^p \times D^q, S^p \times S^{q-1}) \rightarrow \Omega_{p,q}^m$. Theorems 4.1 and 5.1 together assert that this map is bijective for $m \geq p + \frac{4}{3}q + 2$.

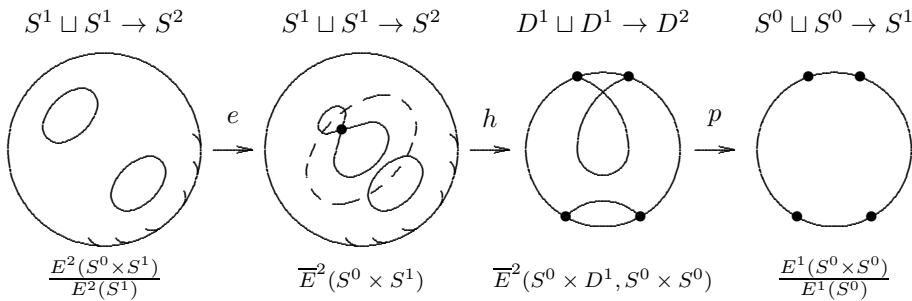


Figure 10

Lemma 5.2. (cf. [Ne84, Sko09, Th. 3.1], see Figure 10) For every $m > 2p + q + 2$ there is an exact sequence

$$\frac{E^m(S^p \times S^q)}{E^m(S^{p+q})} \xrightarrow{e} \overline{E}^m(S^p \times S^q) \xrightarrow{h} \overline{E}^m(S^p \times D^q, S^p \times S^{q-1}) \xrightarrow{p} \frac{E^{m-1}(S^p \times S^{q-1})}{E^{m-1}(S^{p+q-1})} \rightarrow \dots$$

In the rest of §5 we shall prove the Lemma 5.2. We begin with the construction of the commutative group structure on the set of knotted tori (and also almost embeddings $S^p \times S^q \rightarrow S^m$). This construction is equivalent to the one from [Sko08, §2].

Definition of the web D^{p+1} . Fix a point $* \in S^q$. Without loss of generality assume that $* \times S^q \cap B^{p+q} = \emptyset$. A *web* of an almost embedding $f : S^p \times S^q \rightarrow S^m$ is a framed disc $D^{p+1} \subset S^m$ satisfying the following 3 conditions:

- (i) $\partial D^{p+1} = f(S^p \times *)$;
- (ii) $\text{Int } D^{p+1} \cap \text{Im } f = \emptyset$; and
- (iii) the first q vector fields of the framing of ∂D^{p+1} coincide with the obvious framing of the “meridian” $f(S^p \times *)$ in the “torus” $f(S^p \times S^q)$.

Webs of an almost concordance $f : S^p \times S^q \times I \rightarrow S^m \times I$ and of a proper almost embedding $f : S^p \times D^q \rightarrow D^m$ are defined analogously (the marked point $* \in D^q$ is the center of the disk D^q).

The following assertion is equivalent to [Sko08, Standardization Lemma 2.1].

Proposition 5.3. [Sko08, Standardization Lemma 2.1] *If $m > 2p + q + 1$ then for any almost embedding $f : S^p \times S^q \rightarrow S^m$ there exist a web. If $m > 2p + q + 2$, then for any almost concordance between the almost embeddings $f_1, f_2 : S^p \times S^q \rightarrow S^m$ there exists a web extending given webs of f_1 and f_2 .*

Proof. [Sko08] The bundle $N(f|_{S^p \times *}; S^m)$ is stably trivial and $m - p - q \geq p$, hence this bundle is trivial. Take a $(m - p - q)$ -framing ξ of this bundle.

Take the section formed by the first vectors of ξ . Since $m \geq 2p + q + 2 \geq 2p + 2$, it follows that the embedding $f|_{S^p \times *}$ is unknotted in S^m . So there is an embedding $\tilde{f} : D^{p+1} \subset S^m$ satisfying property (i) from the definition of the web above. Since $m \geq 2p + q + 2$, we may also assume property (ii) by general position.

By deleting the first vector from ξ we obtain a $(m - p - q - 1)$ -framing ξ_1 of the boundary $\tilde{f}(\partial D^{p+1})$ orthogonal to the disc $\tilde{f}(D^{p+1})$. Denote by η the standard normal q -framing of $f(S^p \times *)$ in $f(S^p \times S^q)$. Then (ξ_1, η) is a normal $(m - p - 1)$ -framing on $\tilde{f}(\partial D^{p+1})$ orthogonal to $\tilde{f}(D^{p+1})$. Since $p < m - p - q - 1$, the map $\pi_p(SO_{m-p-q-1}) \rightarrow \pi_p(SO_{m-p-1})$ is epimorphic. Hence we can change ξ_1 (and thus ξ) so that (ξ_1, η) extends to a normal framing on $\tilde{f}(D^{p+1})$. Clearly, the obtained framing satisfies property (iii).

The second assertion of the proposition is proved analogously [Sko08, Proof of Standardization Lemma 2.1 in §3] \square

The following definition is equivalent to the one in [Sko08].

Definition of the S^p -parametric connected sum. (see Figure 5) Let $f_1, f_2 : S^p \times S^q \rightarrow S^m$ be a pair of almost embeddings. Without loss of generality we may assume that $\text{Im } f_1 \subset D_+^m$, $\text{Im } f_2 \subset D_-^m$. Take webs $D^{p+1} \subset D_+^m$ and $\bar{D}^{p+1} \subset D_-^m$ of these almost embeddings. Join the centers of the webs D^{p+1} and \bar{D}^{p+1} by an arc I

in S^m . Generically I intersects $\text{Im } f_1 \cup \text{Im } f_2 \cup D^{p+1} \cup \bar{D}^{p+1}$ only at the boundary ∂I . Let \bar{D}^m be the union of small tubular neighborhoods of D^{p+1} , I and \bar{D}^{p+1} in S^m . Clearly, the intersection $(\text{Im } f_1 \cup \text{Im } f_2) \cap \bar{D}^m$ is standard. By the *sum* of f_1 and f_2 we mean the almost embedding $f_1 + f_2 : S^p \times S^q \rightarrow S^m$ obtained by the S^p -parametric connected sum of f_1 and f_2 inside \bar{D}^m .

Definition of the additive inverse. Let $f : S^p \times S^q \rightarrow S^m$ be an almost embedding. By the *inverse* of f we mean the almost embedding given by the formula $(-f)(x, y) = \sigma_m f(x, \sigma_q y)$, where σ_k is the reflection of S^k across the hyperplane $x_1 = 0$.

Definition of the neutral element. Denote by 0 the *standard embedding* $S^q \times S^p \rightarrow D^{q+1} \times D^{p+1} \cong D^{p+q+2} \subset D^m \subset S^m$.

The following important result is checked directly (see the details in [Sko08]).

Group Structure Theorem 5.4. [Sko08] *A commutative group structure on the set of almost embeddings $S^p \times S^q \rightarrow S^m$ up to almost concordance is well-defined for $m > 2p + q + 2$ and $q > 1$ by the above construction.*

The analogues of this theorem for proper almost embeddings and smooth embeddings are also true and can be proved analogously.

Proposition 5.5. *For $m > 2p + q + 2$ the relative β -invariant $\beta : \bar{E}^m(S^p \times D^q, S^p \times S^{q-1}) \rightarrow \Omega_{p,q}^m$ is a homomorphism.*

Proof. Consider a triple of proper almost embeddings f_1 , f_2 , and $f_3 = f_1 + f_2$, where “+” denotes the S^p -parametric connected sum relatively to the boundary. One can see that up to homotopy $\tilde{f}_3 = \tilde{f}_1 \vee \tilde{f}_2$ and $\bar{f}_3 = \bar{f}_1 \natural \bar{f}_2$, where “ \natural ” denotes the connected sum relatively to the boundary. So $\beta(f_3) = \beta(f_1) \sqcup \beta(f_2)$, hence $\beta(f_1 + f_2) = \beta(f_1) + \beta(f_2)$. \square

Now we are going to prove that the action of embeddings $S^{p+q} \rightarrow S^m$ on the set of embeddings $S^p \times S^q \rightarrow S^m$ is injective.

Notations:

- (a) $E^m(S^{p+q})$ is the group of all embeddings $S^{p+q} \rightarrow S^m$ up to concordance;
- (b) $E^m(S^p \times S^q)$ is the group of all embeddings $S^p \times S^q \rightarrow S^m$ up to concordance (with the parametric connected sum group structure).
- (c) $\kappa^* : E^m(S^{p+q}) \rightarrow E^m(S^p \times S^q)$ is a map taking an embedding $g : S^{p+q} \rightarrow S^m$ to the connected sum of g and the standard embedding $S^p \times S^q \rightarrow S^m$. (The connected sum is made along an arc I joining the images of the embeddings; these images are assumed to be separated by a hyperplane).

Proposition 5.6. *The map $\kappa^* : E^m(S^{p+q}) \rightarrow E^m(S^p \times S^q)$ is injective for $m > 2p + q + 2$.*

In fact, this proposition immediately implies the case “ $p + q + 1$ divisible by 4” of Theorem 1.2, by Theorem 1.1 in §1.

Proof of Proposition 5.6. It suffices to construct a left inverse $\bar{\kappa}^* : E^m(S^p \times S^q) \rightarrow E^m(S^{p+q})$ of the map κ^* .

The map $\bar{\kappa}^* : E^m(S^p \times S^q) \rightarrow E^m(S^{p+q})$ is defined as follows. Take an embedding $f : S^p \times S^q \rightarrow S^m$. By Proposition 5.3 there exists a web D^{p+1} of this embedding. Perform embedded surgery on $S^p \times S^q$ along the framed disc D^{p+1} . Let $\bar{\kappa}^*(f)$ be the isotopy class of the embedding $S^{p+q} \rightarrow S^m$ obtained by the surgery.

The element $\bar{\kappa}^*(f)$ is well-defined by the second assertion of Proposition 5.3. We have $\bar{\kappa}^*\bar{\kappa}^* = id$, because $\bar{\kappa}^*\bar{\kappa}^*(f) = \bar{\kappa}^*(f\#s) = f\#\bar{\kappa}^*(s) = f\#0 = f$ for any $f \in E^m(S^{p+q})$. \square

Proposition 5.7. (a) For each $m > 2p+q+2$ all proper embeddings $S^p \times D^q \rightarrow D^m$ are properly concordant.

(b) [Sko08, Triviality criterion] For $m > 2p+q+2$ an embedding $S^p \times S^{q-1} \rightarrow S^{m-1}$ is concordant to the standard embedding if and only if it extends to a proper embedding $S^p \times D^q \rightarrow D^m$.

Proof. (a) Take a proper embedding $f : S^p \times D^q \rightarrow D^m$. By an analogue of Proposition 5.3 there exists a web D^{p+1} of f . Let \bar{D}^m be the tubular neighborhood of D^{p+1} . Clearly, the restriction $f : f^{-1}\bar{D}^m \rightarrow \bar{D}^m$ is concordant to the standard embedding $S^p \times D^q \rightarrow D^m$. It remains to prove that f is concordant to this restriction. Let $c : S^p \times D^q \times I \rightarrow D^m \times I$ be the identical concordance (equal to the embedding $f : S^p \times D^q \rightarrow D^m$ for each $t \in I$). Let $h_m : D^m \times I \rightarrow D^m \times I$ be a diffeomorphism fixed on $D^m \times 0$ and taking $\bar{D}^m \times 1$ to $D^m \times 1$. Let $h_{p+q} : S^p \times D^q \times I \rightarrow S^p \times D^q \times I$ be a diffeomorphism fixed on $S^p \times S^q \times 0$ and taking $S^p \times D^q \times 1$ to $f^{-1}\bar{D}^m$. Then the composition $h_m c h_{p+q}$ is a proper concordance between $f : S^p \times D^q \rightarrow D^m$ and the restriction $f : f^{-1}\bar{D}^m \rightarrow \bar{D}^m$.

(b) follows directly from (a). \square

The analogue of this proposition for proper almost embeddings is also true, except that the ball B^{p+q} in the definition of a proper almost embedding should be replaced by a codimension 0 ball $\bar{B}^{p+q} \subset S^p \times D^q$ meeting the boundary at a common face. A *face* of the ball \bar{B}^{p+q} is a ball contained in $\partial\bar{B}^{p+q}$.

Proof of Lemma 5.2. (cf. [Sko09, Proof of Theorem 3.1]) (1) *Construction of the homomorphisms.* Let e be the obvious map. Let p be the “restriction to the boundary” map. The homomorphism h is the “cutting” map defined as follows. Take an almost embedding $f : S^p \times S^q \rightarrow S^m$. By Proposition 5.3 there exists a web $D^{p+1} \subset S^m$. Let \bar{D}^m be a tubular neighborhood of D^{p+1} . Set $h(f)$ to be the restriction of f to a map $(S^p \times S^q - f^{-1}\text{Int } \bar{D}^m) \rightarrow S^m - \text{Int } \bar{D}^m$.

(2) *Exactness at $E^m(S^p \times S^q)/E^m(S^{p+q})$.* The sequence is exact at $E^m(S^p \times S^q)/E^m(S^{p+q})$ because an embedding $f : S^p \times S^q \rightarrow S^m$ extends to a proper almost embedding $S^p \times D^{q+1} \rightarrow D^{m+1}$ if and only if f is almost concordant to the standard embedding (by the analogue of Proposition 5.7(b)).

(3) *Exactness at $\bar{E}^m(S^p \times D^q, S^p \times S^{q-1})$.* The inclusion $\text{Im } h \subset \text{Ker } p$ follows by Proposition 5.7(b). To prove $\text{Ker } p \subset \text{Im } h$ take a proper almost embedding $f : S^p \times D^q \rightarrow D^m$ such that $p(f) = 0$. Let $f|_{\partial} : S^p \times \partial D^q \rightarrow \partial D^m$ be the restriction of f to the boundary. By definition, there exists a smooth embedding $g : S^{p+q-1} \rightarrow S^{m-1}$ such that the connected sum $f|_{\partial} + g$ is concordant to the standard embedding. Extend $g : S^{p+q-1} \rightarrow S^{m-1}$ to a proper almost embedding $g' : D^{p+q} \rightarrow D^m$. Let $f + g'$ be the connected sum of f and g' relatively to the boundary. By Proposition 5.7(b) the map $f + g' : S^p \times D^q \rightarrow D^m$ extends to an almost embedding $f' : S^p \times S^q \rightarrow S^m$. Thus $f = h(f')$.

(4) *Exactness at $\bar{E}^m(S^p \times S^q)$.* The inclusion $\text{Im } e \subset \text{Ker } h$ follows by Proposition 5.7(a). To prove $\text{Ker } h \subset \text{Im } e$, take an almost embedding $f : S^p \times S^q \rightarrow S^m$ such that $h(f) = 0$. Then, by definition, there exist a proper almost concordance c between $h(f)$ and a connected sum of the standard embedding $S^p \times D^q \rightarrow D^m$ and a proper almost embedding $g : D^{p+q} \rightarrow D^m$. Since the restriction of c to the

boundary is a smooth concordance, by Proposition 5.6 it follows that the restriction of g to the boundary is unknotted. Thus we may assume that g is a smooth embedding. By the concordance extension theorem the restriction of c to the boundary extends to an ambient concordance of the disc $S^m - D^m$. So c can be extended to an almost concordance of f without adding new self-intersections. The latter is an almost concordance between f and an embedding $f' : S^p \times S^q \rightarrow S^m$. Hence $f = e(f')$. \square

So the proof of Theorem 2.1 is completed. \square

6. THE FINITENESS CRITERION

In this section we deduce Theorem 1.2 from Theorem 2.1. Thus we need a classification of almost embeddings $S^p \times S^q \rightarrow S^m$. We summarize this classification and the above results in the following theorem.

Notation: $E^m(D^p \times S^q)$ denotes the group of smooth embeddings $D^p \times S^q \rightarrow S^m$ up to concordance (with the D^p -parametric connected sum group structure).

Theorem 6.1. *For $m > p + \frac{4}{3}q + 2$ and $m > 2p + q + 2$ there exist the following exact sequences*

$$\begin{aligned}
 (1) \quad 0 & \rightarrow E^m(S^{p+q}) & \rightarrow E^m(S^p \times S^q) & \rightarrow \frac{E^m(S^p \times S^q)}{E^m(S^{p+q})} \\
 (2) \quad \overline{E}^{m+1}(S^p \times S^{q+1}) & \rightarrow \Omega_{p,q+1}^{m+1} & \rightarrow \frac{E^m(S^p \times S^q)}{E^m(S^{p+q})} & \rightarrow \overline{E}^m(S^p \times S^q) \\
 (3) \quad E^{m+1}(D^p \times S^{q+1}) & \rightarrow \pi_{p+q}(S^{m-q-1}) & \rightarrow \overline{E}^m(S^p \times S^q) & \rightarrow E^m(D^p \times S^q) \\
 (4) \quad E^{m+1}(S^{q+1}) & \rightarrow \pi_q(V_{m-q,p}) & \rightarrow E^m(D^p \times S^q) & \rightarrow E^m(S^q).
 \end{aligned}$$

The groups in the second column of 6.1 are well-known *rationally*:

Theorem 6.2. *Assume that $p + \frac{4}{3}q + 2 \leq m < p + \frac{3}{2}q + 2$, $m > 2p + q + 2$ and $m > n + 2$. Then*

- (1) $E^m(S^n)$ is infinite if and only if $m \leq \frac{3}{2}n + \frac{3}{2}$, $n + 1$ is divisible by 4.
- (2) $\Omega_{p,q+1}^{m+1}$ is infinite if and only if $m = p + \frac{3}{2}q + \frac{3}{2}$, and $q + 1$ is divisible by 4.
- (3) $\pi_{p+q}(S^{m-q-1})$ is infinite if and only if $m = \frac{1}{2}p + \frac{3}{2}q + \frac{3}{2}$, and $p + q + 1$ is divisible by 4.
- (4) $\pi_q(V_{m-q,p})$ is infinite if and only if $p \geq 1$, $\frac{3}{2}q + \frac{3}{2} \leq m \leq p + \frac{3}{2}q + \frac{1}{2}$, and $q + 1$ is divisible by 4.

We argue by the following plan. First we prove Theorem 1.2 modulo Theorem 6.1 and 6.2. Then we prove Theorems 6.1 and 6.2 themselves, using some known results.

Proof of Theorem 1.2 modulo 6.1 and 6.2. (1) *Case when $q + 1, p + q + 1$ are not divisible by 4.* Recall that if $X \rightarrow Y \rightarrow Z$ is an exact sequence with finite X and Z , then Y is also finite. Applying this 4 times to the last 3 columns of Theorem 6.1 starting from the bottom, we are done, because by Theorem 6.2 the groups in the second column of 6.1 are finite when $q + 1, p + q + 1$ are not divisible by 4.

(2) *Case when $p + q + 1$ is divisible by 4.* By Theorems 6.1(1) and 6.2(1) it follows directly that the group $E^m(S^p \times S^q)$ is in this case infinite.

(3) *Case when $q + 1$ is divisible by 4, $m \leq \frac{3}{2}q + \frac{3}{2}$.* By Theorem 6.2(1) the group $E^m(S^q)$ in this case is infinite. Take an infinite order element x . The obstruction to existence of a $(p + 1)$ -framing on the embedding $x : S^q \rightarrow S^m$ belongs to the group $\pi_{q-1}(V_{m-q,p+1})$. By Theorem 6.2(4) this group in our case is finite. So for some positive integer N the embedding Nx extends to a smooth embedding

$H : S^p \times S^q \rightarrow S^m$. Since the restriction of the embedding to the sphere $* \times S^q$ has an infinite order it follows that H itself has an infinite order.

(4) *Case when $q + 1$ is divisible by 4, $\frac{3}{2}q + \frac{3}{2} < m \leq p + \frac{3}{2}q + \frac{1}{2}$, $p \geq 1$.* It suffices to construct an embedding $T : S^p \times S^q \rightarrow S^m$ having an infinite order in $E^m(S^p \times S^q)$.

Construction of the embedding T . By Theorem 6.2(4) the group $\pi_q(V_{m-q,p})$ is in this case infinite. Take an infinite order element x of this group. Consider the map $\tau : \pi_q(V_{m-q,p}) \rightarrow E^m(D^p \times S^q)$ from 6.1(4). This map takes the element x to the canonical p -frame $D^p \times S^q \rightarrow S^m$ of the standard sphere $S^q \subset S^m$. The complete obstruction to extension of this p -frame to a $(p+1)$ -frame belongs to $\pi_{q-1}(S^{m-p-q-1})$. The latter group is in our case finite. So for some positive integer N the element $N\tau(x)$ can be extended to a smooth embedding $S^p \times S^q \rightarrow S^m$, which is the desired torus T .

Proof that T has an infinite order. It suffices to prove that the element $\tau(x) \in E^m(D^p \times S^q)$, which is the restriction of T to $D^p \times S^q$, has an infinite order. Suppose to the contrary. Then $N\tau(x) = 0$ for some positive integer N . So by Theorem 6.1(4) Nx belongs to the image of the map $E^{m+1}(S^{q+1}) \rightarrow \pi_q(V_{m-q,p})$. But the group $E^{m+1}(S^{q+1})$ is in our case finite. Thus x has finite order in contrast to our choice above. This contradiction proves that T has infinite order.

(5) *Case when $q + 1$ is divisible by 4, $m = p + \frac{3}{2}q + \frac{3}{2}$.*

Construction of the embedding W . By Theorem 6.2(2) the group $\Omega_{p,q+1}^{m+1}$ is in this case infinite. Take an infinite order element x of this group. Let $\bar{W} : S^p \times S^q \rightarrow S^m$ be an embedding realizing the image of x under the map $\Omega_{p,q+1}^{m+1} \rightarrow E^m(S^p \times S^q)/E^m(S^{p+q})$ from Theorem 6.1(2).

Proof that W has an infinite order. Consider the exact sequence 6.1(2). It suffices to prove that $\bar{E}^{m+1}(S^p \times S^{q+1})$ is in our case finite. Since $q + 1$ is divisible 4, it follows by Theorem 6.2 that $\pi_{q+1}(V_{m-q,p})$ and $E^{m+1}(S^{q+1})$ are finite. An easy computation shows that $\pi_{p+q+1}(S^{m-q-1})$ is also finite in our case. So by Theorems 6.1(3)–(4) it follows that $\bar{E}^{m+1}(S^p \times S^{q+1})$ is finite. \square

In the rest of the section we shall prove Theorems 6.1 and 6.2.

Assertions (1) and (2) of Theorem 6.1 are reformulations of Proposition 5.6 and Theorem 2.1 which were proved in §5. Theorem 6.1 (4) is proved by a direct verification analogously to [Hae66A, Corollary 5.9]. We sketch the proof below for the convenience of the reader. Theorem 6.1(3) is proved in [Sko08, Restriction Lemma 5.2] for $p \geq 1$, $m > 2p + q + 2$ and $m \geq \frac{1}{2}p + \frac{3}{2}q + 2$. The additional restriction $m \geq \frac{1}{2}p + \frac{3}{2}q + 2$ in the proof of this assertion in [Sko08] can be dropped. We sketch an alternative proof to keep the paper self-contained.

Sketch of the proof of assertion (3) in Theorem 6.1. (a) *Definition of the groups $\tilde{E}^m(S^p \times S^q)$ and $\tilde{E}^m(S^p \times D^q, S^p \times S^{q-1})$.* A map $f : S^p \times S^q \rightarrow S^m$ is said to be a *weak almost embedding*, if it is an embedding outside the fixed ball $B^{p+q} \subset S^p \times S^q$ (the intersection $fB^{p+q} \cap f(S^p \times S^q - B^{p+q})$ is allowed to be nonempty). A *weak almost concordance* is defined analogously. Denote by $\tilde{E}^m(S^p \times S^q)$ the group of weak almost embeddings up to weak almost concordance. Identify the groups $\tilde{E}^m(S^p \times S^q)$ and $E^m(D^p \times S^q)$. Clearly, these groups are isomorphic for $m > 2p + q + 2$.

Fix a ball $\bar{B}^{p+q} \subset (S^p - *) \times D^q$ meeting the boundary at its face. A proper map $f : S^p \times D^q \rightarrow D^m$ is said to be a *proper weak almost embedding*, if the following

two conditions hold:

- (i) f is an embedding outside \bar{B}^{p+q} ; and
- (ii) $f(S^p \times \partial D^q \cap \bar{B}^{p+q}) \cap f(S^p \times \partial D^q - \bar{B}^{p+q}) = \emptyset$.

A *proper weak almost concordance* is defined analogously. Denote by $\tilde{E}^m(S^p \times D^q, S^p \times S^{q-1})$ the group of proper weak almost embeddings up to proper weak almost concordance.

- (b) For every $m > 2p + q + 2$ there exist an exact sequence:

$$\overline{E}^m(S^p \times S^q) \xrightarrow{e} \tilde{E}^m(S^p \times S^q) \xrightarrow{h} \tilde{E}^m(S^p \times D^q, S^p \times S^{q-1}) \xrightarrow{p} \overline{E}^{m-1}(S^p \times S^{q-1}) \rightarrow \dots$$

Here e , h and p are the obvious forgetful, cutting and restriction homomorphisms, respectively. This assertion is proved completely analogously as Lemma 5.2.

(c) *Definition of the homomorphism $\lambda : \tilde{E}^m(S^p \times D^q, S^p \times S^{q-1}) \rightarrow \pi_{p+q-1}(S^{m-q-1})$.* Take a proper weak almost embedding $f : S^p \times D^q \rightarrow D^m$. By definition $f\partial\bar{B}^{p+q} \cap f(* \times D^q) = \emptyset$. Notice that $D^m - f(* \times D^q) \simeq S^{m-q-1}$. Let $\lambda(f)$ be the homotopy class of the restriction $f : \partial\bar{B}^{p+q} \rightarrow D^m - f(* \times D^q)$.

(d) λ is injective. Take a proper weak almost embedding $f : S^p \times D^q \rightarrow D^m$ such that $\lambda(f) = 0$. Then $f|_{\partial\bar{B}^{p+q}}$ extends to a map $g : \bar{B}^{p+q} \rightarrow D^m$ missing $f(* \times D^q)$. Since $f|_{S^p \times D^q - \bar{B}^{p+q}}$ is an embedding it follows that the intersection of $g\bar{B}^{p+q}$ with $f(S^p \times D^q - \bar{B}^{p+q})$ can be removed by a homotopy relatively to the boundary. Thus we may assume that g misses $f(S^p \times D^q - \bar{B}^{p+q})$. Perform a proper weak almost concordance which replaces $f|_{\bar{B}^{p+q}}$ by g . By an analog of Proposition 5.7(a) the obtained map is properly weakly almost concordant to the standard embedding $S^p \times D^q \rightarrow D^m$.

(e) λ is surjective. Take an element $x \in \pi_{p+q-1}(S^{m-q-1})$. Take the standard embedding $f : S^p \times D^q \rightarrow D^m$. Realize the element x by a map $g : S^{p+q-1} \rightarrow \partial D^m - f(* \times D^q)$. Since $f|_{S^p \times D^q - \bar{B}^{p+q}}$ is an embedding it follows that the intersection of $g\bar{B}^{p+q}$ with $f(S^p \times D^q - \bar{B}^{p+q})$ can be removed by a homotopy relatively to the boundary. Thus we may assume that g misses $f(S^p \times D^q - \bar{B}^{p+q})$. Extend the map $g : S^{p+q-1} \rightarrow \partial D^m$ to a proper map $g' : D^{p+q} \rightarrow D^m$. Let μ_x be the connected sum (relatively the boundary) of g' and f . Clearly, $\lambda(\mu_x) = x$. This completes the proof of assertion (3). \square

Sketch of the proof of assertion (4) in Theorem 6.1. (a) *Definition of homomorphisms.* The map $i^* : E^m(D^p \times S^q) \rightarrow E^m(S^q)$ is restriction-induced. Here $0 \times S^q$ is identified with S^q in obvious way.

The map $Ob : E^m(S^q) \rightarrow \pi_{q-1}(V_{m-q,p})$ is the complete obstruction to the existence of a p -framing on an embedding $S^q \rightarrow S^m$. This obstruction is defined as follows. Take an embedding $f : S^q \rightarrow S^m$. Take a (unique up to homotopy) $(m-q)$ -framing of the disc fD_+^q . Take a (unique up to homotopy) p -framing of the disc fD_-^q . Thus the sphere fS^{q-1} is equipped both with the p -framing and the $(m-q)$ -framing. Using the $(m-q)$ -framing identify each fiber of the normal bundle to fD_+^q with the space \mathbb{R}^{m-q} . To each point $x \in S^{q-1}$ assign the p -framing at the point fx . This leads to a map $S^{q-1} \rightarrow V_{m-q,p}$. By definition $Ob(f) \in \pi_{q-1}(V_{m-q,p})$ is the homotopy class of this map.

The map $\tau : \pi_q(V_{m-q,p}) \rightarrow E^m(D^p \times S^q)$ is defined as follows. Represent $f \in \pi_q(V_{m-q,p})$ as a smooth map $f : D^p \times S^q \rightarrow D^{m-q}$ linear in each fiber $D^p \times y$, $y \in S^q$. Define $\tau(f)$ to be the composition $D^p \times S^q \rightarrow D^{m-q} \times S^q \rightarrow S^m$ of the embedding $f \times \text{pr}_2$ and the standard embedding s , i.e., $\tau(f)(x, y) = s(f(x, y), y)$ for each $x \in S^p$, $y \in S^q$.

(b) *Exactness at $E^m(D^p \times S^q)$ and $E^m(S^q)$* is checked directly.

(c) *Proof of the exactness at $\pi_q(V_{m-q,p})$.* Let $f : S^{q+1} \rightarrow S^{m+1}$ be an embedding. Then f is isotopic to a *standardized* embedding $f' : S^{q+1} \rightarrow S^m$, i.e., satisfying the conditions:

- $f' : D_+^{q+1} \rightarrow D_-^{m+1}$ is the restriction of the inclusion $S^{q+1} \rightarrow S^{m+1}$;
- $f'(Int D_+^{q+1}) \subset Int D_+^{m+1}$.

Take a p -framing of $f'(D_+^{q+1})$. Represent this framing as an embedding $g : D^p \times D_+^{q+1} \rightarrow D_+^{m+1}$ linear in each fiber $D^p \times y$, $y \in D_+^{q+1}$. By definition $\tau Ob(f') = g|_{D^p \times \partial D_+^{q+1}}$. Thus $\tau Ob(f') : D^p \times \partial D_+^{q+1} \rightarrow \partial D_+^{m+1}$ extends to the proper embedding $g : D^p \times D_+^{q+1} \rightarrow D_+^{m+1}$. So $\tau Ob(f')$ is isotopic to the standard embedding $D^p \times S^q \rightarrow S^m$. Thus $Im Ob \subset Ker \tau$. Analogously $Im Ob \supset Ker \tau$.

Theorem 6.2 can be easily reduced to known results. Assertion (1) is proved in [Hae66A, Corollary 6.7]. Assertion (3) follows from the Serre theorem.

Proof of assertion (4) in Theorem 6.2. The assumptions $m > 2p + q + 2$ and $m < p + \frac{3}{2}q + 2$ together imply that $m \leq 2q$. We are going to prove assertion (4) with assumptions $m > 2p + q + 2$ and $m < p + \frac{3}{2}q + 2$ replaced by the only assumption $m \leq 2q$. We use induction over p .

(a) *Case $q + 1$ not divisible by 4.* Since $m \leq 2q$, it follows that $\pi_q(V_{m-q,1}) \cong \pi_q(S^{m-q-1})$ is finite. Using the homotopy exact sequence of the “restriction” bundle $S^{m-p-q} \rightarrow V_{m-q,p} \rightarrow V_{m-q,p-1}$ tensored by \mathbb{Q} , we get inductively that $\pi_q(V_{m-q,p})$ is finite.

(b) *Case $q + 1$ divisible by 4, and either $m < \frac{3}{2}q + \frac{3}{2}$ or $m > p + \frac{3}{2}q + \frac{1}{2}$.* In this case the groups $\pi_q(S^{m-q-i})$ are still finite for each $i = 1, 2, \dots, p$. Similarly as above we get that $\pi_q(V_{m-q,p})$ is finite.

(c) *Case $q + 1$ divisible by 4, and $\frac{3}{2}q + \frac{3}{2} \leq m \leq p + \frac{3}{2}q + \frac{1}{2}$.* Take i such that $m = i + \frac{3}{2}q + \frac{1}{2}$. Consider the exact homotopy sequence above for $p = i$. Analogously as above it can be shown that for $q + 1$ divisible by 4 and $m \leq 2q$ the group $\pi_{q+1}(V_{m-q,i-1})$ is finite. Thus the group $\pi_q(V_{m-q,i})$ is infinite. By induction $\pi_q(V_{m-q,p})$ is also infinite. \square

Proof of the assertion (2) in Theorem 6.2. Use the notation $s = 2p + 3q - 2m + 2$ and $l = m - p - q - 1$. Then the group in question is $\pi_{s+l+1}(V_{M+l,M})$. Our restriction $p + \frac{4}{3}q + 2 \leq m < p + \frac{3}{2}q + 2$ is equivalent to the restriction $-1 \leq s \leq l - 3$.

(a) *Case $s = -1$.* By tables in [Pae56] the group $\pi_l(V_{M+l,M})$ is infinite if and only if l is divisible by 2. Together with condition $s = -1$ this is equivalent to the conditions $m = p + \frac{3}{2}q + \frac{3}{2}$, $q + 1$ is divisible by 4.

(b) *Case $0 \leq s \leq l - 3$.* Let us prove by induction over s that the group $\pi_{s+l+1}(V_{M+l,M})$ is finite. The base $s = 0$ follows from tables in [Pae56]. For $s > 0$ consider the homotopy exact sequence of the “restriction” bundle $S^l \rightarrow V_{M+l,M} \rightarrow V_{M+l,M-1}$ tensored by \mathbb{Q} . In this sequence $\pi_{s+l+1}(S^l)$ is finite because $0 \leq s \leq l - 3$. By the inductive hypothesis the group $\pi_{s+l+1}(V_{M+l,M-1}) \cong \pi_{(s-1)+(l+1)+1}(V_{M+l+1,M})$ is finite. Hence the group $\pi_{s+l+1}(V_{M+l,M})$ is finite. \square

Remark 6.3. *Analogously using the bundle $SO_{m-q-p-1} \rightarrow SO_{m-q} \rightarrow \pi_q(V_{m-q,p+1})$ one can prove the following: suppose that $m \geq p + \frac{3}{2}q + 2$; then the group $\pi_q(V_{m-q,p+1})$ is infinite if and only if either $m = 2q + 1$, q odd, or $m = p + 2q + 1$, q even [CFS11].*

Thus the proof of Theorem 1.2 is completed. \square

7. CONCLUDING REMARKS

Let us give a counterexample which shows that Theorem 2.1 in §2 and Lemma 4.2 in §4 cannot be proved using the ordinary Whitney trick or the approach of [HaQu74]:

Example. For some p, q, m satisfying the inequalities of Theorem 2.1 there exists a proper almost embedding $f : S^p \times D^q \rightarrow D^m$ such that $\beta(f) = 0$ but f admits no webs. In particular, the isomorphism of Lemma 4.2 does not hold for $f' = f$.

Proof. Take $m = p + \frac{3}{2}q + \frac{3}{2}$ and choose p, q so that $l = m - p - q - 1$ is odd. Take a generic proper almost embedding $f : S^p \times D^q \rightarrow D^m$ such that Δ is connected whereas $\tilde{\Delta}$ is not connected (for example, start with the standard embedding and perform the finger Whitney moves). Our proof of Lemma 4.2 in §4 shows that, in fact $\pi_q(D^m - \text{Im } F, \partial) \cong \Omega_s(\Delta; l\lambda_\Delta)$. The latter group is isomorphic to \mathbb{Z} for $s = 0$ and l odd by [HaKa98, end of §4]. On the other hand, $\Omega_0(P^\infty; l\lambda) = \mathbb{Z}_2$. So the map $\beta(f, \cdot) : \mathbb{Z} \rightarrow \mathbb{Z}_2$ is not injective.

Then there exists a proper map $g : D^q \rightarrow D^m - \text{Im } f$ such that $\beta(f, g) = 0$, but g is not null-homotopic. Perform the construction from the proof of Theorem 5.1 modulo Lemma 4.2, steps (2) and (3). We get a new proper almost embedding f such that $\beta(f) = 0$. On the other hand, the map $g : D^q \rightarrow D^m - \text{Im } f$ is close to $f|_{* \times D^q}$ but it is not null-homotopic. Thus there exists no web for f . \square

Further investigation. There are several directions to study knotted tori:

- (i) *Explicit classification results.* How many embeddings $S^1 \times S^5 \rightarrow S^{10}$ are there up to isotopy?
- (ii) *Weakening the dimension restrictions.* Is it possible to drop the restrictions $m > 2p + q + 2$ or $m > p + \frac{4}{3}q + 2$ in Theorem 1.2? [cf. KeMi63, Hae66A]
- (iii) *Arbitrary manifolds.* It would be interesting to generalize the β -invariant and Theorem 2.1 to embeddings of arbitrary manifolds [ReSk99, Sko08].
- (iv) *Rational classification of embeddings.* For a given manifold N and a number m determine whether the set of embeddings $N \rightarrow S^m$ up to isotopy is finite.

APPENDIX. SURGERY ON THE DOUBLE POINT MANIFOLD

Here we perform a surgery on the double point manifold Δ to make the classifying map $\Delta \rightarrow P^\infty$ of the covering $\tilde{\Delta} \rightarrow \Delta$ sufficiently highly connected. This is required for the proof of Complement Lemma 4.2 stated in §4. Our exposition is completely analogous to [HaKa98, Appendix A] although more general, explicit and detailed.

Let $f : D^n \rightarrow M^m$ be a general position proper immersion such that $f|_{\partial D^n} : \partial D^n \rightarrow \partial M^m$ is an embedding. The embedding theorem [Hud69], cf. Theorem 4.3 above, allows us to remove the self-intersection of f by a homotopy $\text{rel } \partial D^n$ under certain conditions. In the dimension range, where the embedding theorem is not true, we give an approach to "simplify" the double points of f .

In this section we prove that the classifying map $\Delta \rightarrow P^\infty$ can be made $(s + 1)$ -connected by a homotopy $\text{rel } \partial D^n$ of the map $f : D^n \rightarrow M^m$, provided that

- (i) M^m is $(s + 1)$ -connected;
- (ii) $2s \leq 2n - m - 2$; and
- (iii) $0 \leq s \leq m - n - 3$.

This is a restatement of Theorem 4.7 above.

Proof of Theorem 4.7. The map $\Delta \rightarrow P^\infty$ is made $(s + 1)$ -connected in 2 steps:

Step 1. Making Δ connected and $\pi_1(\Delta) \rightarrow \pi_1(P^\infty)$ surjective (i.e., $\tilde{\Delta}$ connected).

Step 2. Killing the elements of $\text{Ker}(\pi_i(\Delta) \rightarrow \pi_i(P^\infty))$ for each $i = 1, \dots, s$.

These two steps are sufficient for the proof of theorem, because the map $\pi_{i+1}(\Delta) \rightarrow \pi_{i+1}(P^\infty) = 0$ is surjective for $1 \leq i \leq s$.

In both steps 1 and 2 we make the following Whitney-Haefliger trick, performing a surgery on Δ . First let us construct *the Habegger-Kaiser standard model* for doing surgery on a framed i -sphere of double points of an n -disc immersed into S^m .

Standard model for doing surgery. [HaKa98] We will make use of the “model” manifold $\mathbb{R}^m = \mathbb{R} \times \mathbb{R}^{i+1} \times \mathbb{R}^{2n-m-i} \times \mathbb{R}^{m-n-1} \times \mathbb{R}^{m-n-1}$ and of two embeddings, g_+ and g_- of $\mathbb{R}^n = \mathbb{R}^{i+1} \times \mathbb{R}^{2n-m-i} \times \mathbb{R}^{n-m-1}$ into \mathbb{R}^m intersecting transversally along $0 \times S^i \times \mathbb{R}^{2n-m-i} \times 0 \times 0$. For example, one may take $g_-(x, y, z) = (|x|^2 - 1, x, y, 0, z)$ and $g_+(x, y, z) = (1 - |x|^2, x, y, z, 0)$. The sphere S^i bounds a ball $D^{i+1} \subset \mathbb{R}^{i+1} \subset \mathbb{R}^n$. Furthermore, the sphere $S^{i+1} = D_+^{i+1} \cup D_-^{i+1}$, where $D_\pm^{i+1} = g_\pm(D^{i+1} \times 0 \times 0)$, bounds a ball $D^{i+2} \subset \mathbb{R} \times \mathbb{R}^{i+1} \subset \mathbb{R}^m$ with corners along S^i . Pushing one of the two caps D_\pm^{i+2} across D^{i+2} does the required surgery. More precisely, the double points of the resulting regular homotopy form the trace of this surgery.

Now we are going to make some preparations for doing surgery, which are a bit different, in Steps 1 and 2.

Step 1: making Δ and $\tilde{\Delta}$ connected. If $\Delta = \emptyset$ then we first create a nonempty self-intersection (for example, by the Whitney finger moves). Assume $\Delta \neq \emptyset$. Take a pair of points $(a, b), (c, d)$ belonging to distinct components of $\tilde{\Delta}$. One can assume that they are outside the triple point set. Consider the spheres $S^0 = \{\{a, b\}, \{c, d\}\}$, $S_+^0 = \{(a, b), (c, d)\}$, and $S_-^0 = \{(b, a), (d, c)\}$, and let η be the trivial normal bundle $N(S^0, \Delta)$. The surgery on S^0 (see Completion of the proof below) will connect distinct components of $\tilde{\Delta}$, because $\dim \Delta = 2n - m \geq 2s + 2 \geq 2$.

Step 2: killing the elements of $\text{Ker}(\pi_i(\Delta) \rightarrow \pi_i(P^\infty))$. Assume that $g : S^i \rightarrow \Delta$ represents an element of the kernel $\text{Ker}(\pi_i(\Delta) \rightarrow \pi_i(P^\infty))$, $1 \leq i \leq s$. Since $2i \leq \dim \Delta - 1$ (because $2s \leq 2n - m - 2$), it follows that g can be assumed to be an embedding. By general position the triple point set has dimension $\leq 3n - 2m$. Since $s \leq m - n - 3$, it follows that $i + 3n - 2m \leq \dim \Delta - 1$, so generically $\text{Im } g$ does not contain triple points.

Since the composition $S^i \rightarrow \Delta \rightarrow P^\infty$ is trivial, it follows that $(m - n)\lambda_\Delta|_{S^i}$ is trivial. Then the normal bundle $\eta = N(S^i, \Delta)$ is stably trivial and hence trivial. Since $S^i \rightarrow P^\infty$ is trivial, it follows that S^i is also trivially covered in $\tilde{\Delta}$. Denote by S_+^i and S_-^i the two copies of S^i in $\tilde{\Delta}$.

Completion of the proof: surgery on S^i . First let us span the spheres S_+^i and S_-^i by two disjoint discs D_+^{i+1} and D_-^{i+1} in the ball D^n . To do this take a trivialization of the normal bundle $N(\tilde{\Delta}, D^n)$ (e.g., constructed in the definition of the double point $(m - n)\lambda$ -manifold in §3). Push the spheres S_+^i and S_-^i along the first vector field of the trivialization. Since $s \leq m - n - 3$ and $2s \leq 2n - m - 1$ it follows that $3s \leq n - 4$. Hence $i + 1 + \dim \Delta \leq n - 1$ and $2(i + 1) \leq n - 1$. Then by general position the pushed spheres can be spanned by discs missing the image of $\tilde{\Delta}$.

Consider the obvious decomposition $N(D_+^{i+1}, D^n)|_{S_+^i} = \eta \oplus \epsilon^{m-n-1}$, where $\eta = N(S^i, \Delta)$. This decomposition gives an $(m - n - 1)$ -framing of the sphere S_+^i . We wish to extend this $(m - n - 1)$ -framing over D_+^{i+1} . The complete obstruction lies in $\pi_i(V_{n-i-1, m-n-1})$. The latter group vanishes for $2i \leq 2n - m - 1$, which

follows from $2s \leq 2n - m - 2$. Thus we obtain a decomposition $N(D_+^{i+1}, D^n) = \eta_+ \oplus \epsilon^{m-n-1}$, where η_+ is the extension of the bundle η over D_+^{i+1} complementary to the $(m - n - 1)$ -framing. Define the bundle η_- analogously.

Next we extend the embedding of $S^{i+1} = D_+^{i+1} \cup D_-^{i+1}$ to an embedding of D^{i+2} into S^m . To do this push D_+^{i+1} and D_-^{i+1} along the first vector field of a trivialization of the bundle $N(D^n, S^m)$. In this way we obtain an embedding of a collar neighborhood of the sphere S^{i+1} into S^m . Since $n + s + 3 \leq m$ and $s \leq n - 1$ it follows that $i + 2 + n \leq m - 1$ and $2(i + 2) \leq m - 1$. Thus by general position the collar can be extended an embedded disc D^{i+2} in S^m , whose interior does not intersect fD^n .

Finally, consider the following $(m - n - 1)$ -framing of the sphere S^{i+1} . On the disc D_+^{i+1} take the $(m - n - 1)$ -framing complementary to η_+ . On the disc D_-^{i+1} take the $(m - n - 1)$ -framing obtained from the trivialization of $N(D^n, S^m)$ by forgetting the first vector field. By the construction above it follows that these two framings coincide on S^i . Thus we obtain an $(m - n - 1)$ -framing of S^{i+1} . Let us extend it to D^{i+2} . The complete obstruction lies in $\pi_{i+1}(V_{m-i-2, m-n-1})$. The latter group vanishes for $2i + 2 \leq n - 1$ because $3s \leq n - 4$. Let η' be the complementary bundle to the obtained $(m - n - 1)$ -framing over D^{i+2} . We have a splitting $\eta' = \eta_- \oplus \epsilon^{m-n-1}$ on D_-^{i+1} . Extending it to D^{i+2} we get a splitting $N(D^{i+2}, S^m) = \eta'' \oplus \epsilon^{m-n-1} \oplus \epsilon^{m-n-1}$ for some bundle η'' .

Thus the relevant framing information along D^{i+2} agrees with that of the standard model. So there is a diffeomorphism between a neighborhood of D^{i+2} and the Euclidean m -space taking a restriction of our immersion to the standard model. So one can perform the surgery and kill the spheroid $g : S^i \rightarrow \Delta$. The theorem is thus proved. \square

Acknowledgements.

The authors are grateful to A. Skopenkov for continuous attention to our work and also to P. Akhmetiev, U. Kaiser, U. Koschorke, G. Laures, S. Melikhov, A. Mischenko, V. Nezhinsky and E. Shchepin for useful discussions.

REFERENCES

- [Br68] W. Browder, *Embedding smooth manifolds*, Proc. Int. Congr. Math. Moscow 1966 (1968), 712–719.
- [CeRe03] M. Cencelj and D. Repovš, *On embeddings of tori in Euclidean spaces*, Acta Math. Sinica (Engl. Ser.) **21:2** (2005), 435–438.
- [CRS04] M. Cencelj, D. Repovš and A. Skopenkov, *On the Browder-Levine-Novikov embedding theorems*, Trudy Math. Inst. Ross. Akad. Nauk **247** (2004), 280–290 (in Russian); English transl., Proc. Steklov Inst. Math. **247** (2004), 259–268.
- [CRS07] M. Cencelj, D. Repovš and M. Skopenkov, *Homotopy type of the complement to an immersion and the classification of embeddings of tori*, Uspekhi Mat. Nauk **62:5** (2007), 165–166 (in Russian); English transl., Russian Math. Surveys **62:5** (2007), 985–987, arXiv:0803.4285v1 [math.GT].
- [CRS08] M. Cencelj, D. Repovš and M. Skopenkov, *A new invariant of higher-dimensional embeddings*, preprint (2008), arXiv:0811.2745v1 [math.GT].
- [CFS11] D. Crowley, S. Ferry and M. Skopenkov, *The rational classification of links in codimension > 2* , Forum Math., to appear, arXiv:1106.1455v1 [math.AT].
- [CrSk08] D. Crowley and A. Skopenkov, *A classification of smooth embeddings of 4-manifolds in 7-space, II*, Int. J. Math. **22:6** (2011), 731–757, arXiv:0808.1795v1 [math.GT].
- [GW99] T. Goodwillie and M. Weiss, *Embeddings from the point of view of immersion theory, II*, Geometry and Topology **3** (1999), 103–118.

- [HaKa98] N. Habegger and U. Kaiser, *Link homotopy in the 2-metastable range*, *Topology* **37:1** (1998), 75–94.
- [Hae62T] A. Haefliger, *Differentiable links*, *Topology* **1** (1962), 241–244.
- [Hae66A] A. Haefliger, *Differentiable embeddings of S^n in S^{n+q} for $q > 2$* , *Ann. Math. (2)* **83:3** (1966), 402–436.
- [Hae66C] A. Haefliger, *Enlacements de spheres en codimension superieure a 2*, *Comment. Math. Helv.* **41** (1966-67), 51–72. (in French)
- [Ha67] A. Haefliger, *Lissage des immersions-I*, *Topology* **6** (1967), 221–240.
- [HaQu74] A. Hatcher and F. Quinn, *Bordism invariants of intersections of submanifolds*, *Trans. Amer. Math. Soc.* **200** (1974), 327–344.
- [Hud63] J. F. P. Hudson, *Knotted tori*, *Topology* **2** (1963), 11–22.
- [Hud69] J. F. P. Hudson, *Piecewise Linear Topology*, Benjamin, New York-Amsterdam, 1969.
- [Ki90] P.A. Kirk, *Link homotopy with one codimension two component*, *Trans. Amer. Math. Soc.* **319:2** (1990), 663–688.
- [Kos88] U. Koschorke, *Link maps and the geometry of their invariants*, *Manuscr. Math.* **61:4** (1988), 383–415.
- [Kos88L] U. Koschorke, *Multiple point invariants of link maps*, *Lect. Notes Math.*, Springer-Verlag **1350** (1988), 44–86.
- [Kos90] U. Koschorke, *On link maps and their homotopy classification*, *Math. Ann.* **286:4** (1990), 753–782.
- [Le65] J. Levine, *A classification of differentiable knots*, *Ann. Math. (2)* **82** (1965), 15–50.
- [MiRe71] R. J. Milgram and E. Rees, *On the normal bundle to an embedding*, *Topology* **10** (1971), 299–308.
- [Ne84] V. Nezhinsky, *A suspension sequence in link theory*, *Izv. Akad. Nauk* **48:1** (1984), 126–143. (in Russian)
- [Pae56] G.F. Paechter, *The groups $\pi_r(V_{mn})$* , *Quart. J. Math. Oxford, Ser.2; I* **7:28** (1956), 249–268; *II* **9:33** (1958), 8–27; *III* **10:37** (1959), 17–37; *IV* **10:40** (1959), 241–260; *V* **11:41** (1960), 1–16.
- [ReSk99] D. Repovš and A. Skopenkov, *New results on embeddings of polyhedra and manifolds into Euclidean spaces*, *Uspekhi Mat. Nauk* **54:6** (1999), 61–109 (in Russian); English transl., *Russ. Math. Surv.* **54:6** (1999), 1149–1196.
- [Sko02] A. Skopenkov, *On the Haefliger-Hirsh-Wu invariants for embeddings and immersions*, *Comment. Math. Helv.* **77** (2002), 78–124.
- [Sko07F] A. Skopenkov, *A new invariant and parametric connected sum of embeddings*, *Fund. Math.* **197** (2007), 253–269, arXiv:math/0509621[math.GT].
- [Sko07L] A. Skopenkov, *Embedding and knotting of higher-dimensional manifolds in Euclidean spaces*, in: *Surveys in Contemporary Mathematics*, London Math. Soc. Lect. Notes **347** (2007), 248–342, arXiv:math/0604045[math.GT].
- [Sko08Z] A. Skopenkov, *A classification of smooth embeddings of 3-manifolds in 6-space*, *Math. Zeitschrift* **260** (2008), 647–672, arXiv:math/0603429v5[math.GT].
- [Sko08] A. Skopenkov, *Classification of embeddings below the metastable dimension*, submitted, arXiv:math/0607422[math.GT].
- [Sko09] M. Skopenkov, *Suspension theorems for links and link maps*, *Proc. Amer. Math. Soc.* **137:1** (2009), 359–369, arXiv:math/0610320v2[math.GT].
- [Sko10] M. Skopenkov, *When the set of embeddings is finite?*, submitted, arXiv:1106.1878v1[math.GT].
- [Wa70] C. T. C. Wall, *Surgery on Compact Manifolds*, Academic Press, London, 1970.
- [Web67] C. Weber, *Plongements de polyèdres dans le domaine métastable*, *Comment. Math. Helv.* **42** (1967), 1–27. (in French)

INSTITUTE OF MATHEMATICS, PHYSICS AND MECHANICS, AND FACULTY OF EDUCATION, UNIVERSITY OF LJUBLJANA, P. O. BOX 2964, 1001 LJUBLJANA, SLOVENIA. E-MAIL: MATIJA.CENCELJ@GUEST.ARNES.SI

FACULTY OF MATHEMATICS AND PHYSICS, AND FACULTY OF EDUCATION, UNIVERSITY OF LJUBLJANA, P. O. BOX 2964, 1001 LJUBLJANA, SLOVENIA. E-MAIL: DUSAN.REPOVŠ@GUEST.ARNES.SI

INSTITUTE FOR INFORMATION TRANSMISSION PROBLEMS RAS, BOLSHOY KARETNY PER. 19, MOSCOW, 127994, RUSSIA AND KING ABDULLAH UNIVERSITY OF SCIENCE AND TECHNOLOGY, P.O. BOX 2187, 4700 THUWAL, 23955-6900, SAUDI ARABIA. E-MAIL: SKOPENKOV@RAMBLER.RU

УДК 515.164.6

Д. Реповш, М. Скопенков, М. Ценцель

Классификация вложений торов в 2-метастабильной размерности

Статья посвящена классической проблеме заузливания: для данного многообразия N и числа m описать множество изотопических классов вложений $N \rightarrow S^m$. Изучается частный случай *заузленных торов*, то есть вложений $S^p \times S^q \rightarrow S^m$. Изотопическая классификация заузленных торов в *метастабильной* размерности $m \geq p + \frac{3}{2}q + 2$, $p \leq q$, была получена А. Хефлигером, Е. Зиманом и А. Б. Скопенковым. В работе рассматриваются размерности ниже метастабильной и приводится явный критерий конечности множества изотопических классов заузленных торов в *2-метастабильной* размерности:

Теорема. Пусть $p + \frac{4}{3}q + 2 < m < p + \frac{3}{2}q + 2$ и $m > 2p + q + 2$. Тогда множество изотопических классов гладких вложений $S^p \times S^q \rightarrow S^m$ бесконечно, если и только если хотя бы одно из чисел $q + 1$ или $p + q + 1$ делится на 4.

Предлагаемый подход к классификации вложений основан на аналоге точной последовательности У. Кошорке из теории сингулярных зацеплений. В данную последовательность входит новый β -инвариант заузленных торов. В доказательстве точности используется вложенная хирургия и метод Н. Хабегера–У. Кайзера исследования дополнения.

Ключевые слова: заузленный тор, зацепление, сингулярное зацепление, вложение, хирургия

§ 1. Введение

Статья посвящена классической проблеме заузливания: для данного многообразия N и числа m описать множество изотопических классов вложений $N \rightarrow S^m$. Актуальные обзоры можно найти в статьях [1, 2]. Данная тематика активно изучалась в шестидесятые годы [3, 4, 5, 6], и в настоящее время интерес к ней возобновился [7, 8, 9, 10]. В настоящей статье доказываются результаты, анонсированные в работах [11, 12].

Данная проблема обобщает предмет классической теории узлов. В отличие от узлов в \mathbb{R}^3 , в более высоких размерностях иногда удается получить полный ответ. Мы работаем в гладкой категории, кроме тех случаев, когда явно оговаривается обратное. Перечислим некоторые известные результаты.

Реповш и Ценцель частично поддержаны Slovenian Research Agency (гранты № P1-0292-0101 и J1-4144-0101). Скопенков частично поддержан грантом РФФИ № 12-01-00748-а, грантом Президента РФ МК-3965.2012.1, фондом “Династия” и фондом Саймонса.

1.1. Узлы. Классификация *узлов* $S^q \rightarrow S^m$ в коразмерности по крайней мере 3, то есть при $m > q + 2$, сводится к некоторой гомотопической задаче [4, 13]. В частности, известна полная *рациональная* классификация:

ТЕОРЕМА 1.1. [4; следствие 6.7] Пусть $q+2 < m < \frac{3}{2}q+2$. Тогда множество *изотопических классов гладких вложений* $S^q \rightarrow S^m$ бесконечно, если и только если $q + 1$ делится на 4.

1.2. Зацепления. Классификация *зацеплений* $S^p \sqcup S^q \rightarrow S^m$ — следующая естественная задача после классификации узлов. При условии коразмерности по крайней мере 3 существует точная последовательность, содержащая множество *изотопических классов зацеплений* и некоторые гомотопические группы [5]. В некотором диапазоне размерностей, называемом *2-метастабильным*, известно явное описание *изотопических классов зацеплений* $S^p \sqcup S^q \rightarrow S^m$ с точностью до узлов $S^p \rightarrow S^m$ и $S^q \rightarrow S^m$ в терминах гомотопических групп сфер и многообразий Штифеля [4]. Простое доказательство этого результата приводится в [10].

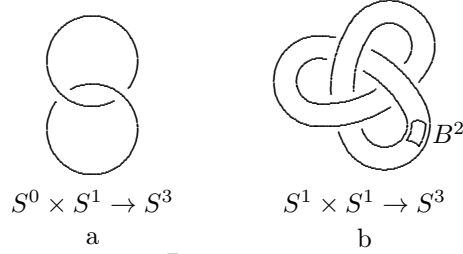


Рисунок 1

1.3. Заузленные торы. В данной статье изучается классификация *заузленных торов*, то есть гладких вложений $S^p \times S^q \rightarrow S^m$. Эта теория обобщает теорию 2-компонентных зацеплений одинаковой размерности; см. рисунок 1. Исследование *заузленных торов* — следующий естественный шаг после теории зацеплений по направлению к классификации вложений произвольных многообразий [14, 15], согласно теореме о разбиении на ручки. Данная тематика также интересна благодаря многим интересным примерам [6, 16, 17]. Ее систематическое исследование началось в работах А.Б. Скопенкова [17, 14, 21].

Известно явное описание множества *изотопических классов заузленных торов* в *метастабильной* размерности $m \geq p + \frac{3}{2}q + 2$, $p \leq q$ [3, 17] (за исключением небольшой неопределенности при $m < \frac{3}{2}p + \frac{3}{2}q + 2$); см. рисунок 2. Данное ограничение на размерность — естественный предел для классических методов классификации вложений $(p - 1)$ -связного $(p + q)$ -мерного многообразия. Несмотря на наличие многих интересных подходов [18, 19, 20], мало что известно о вложениях в размерности ниже метастабильной: все известные явные классификационные результаты касаются узлов и зацеплений (они перечислены выше), *заузленных торов* в размерности $m = p + \frac{3}{2}q + \frac{3}{2}$ [21], 3-мерных многообразий в \mathbb{R}^6 [22] и 4-мерных многообразий в \mathbb{R}^7 [9].

Сформулируем основной “практический” результат работы, анонсированный в [11]. Это явный критерий конечности множества *изотопических классов заузленных торов* в *2-метастабильной* размерности (см. заштрихованную область на рисунке 2, где число p фиксировано, а числа q и m изменяются):

ТЕОРЕМА 1.2. Пусть $p + \frac{4}{3}q + 2 < m < p + \frac{3}{2}q + 2$ и $m > 2p + q + 2$. Тогда множество изотопических классов гладких вложений $S^p \times S^q \rightarrow S^m$ бесконечно, если и только если хотя бы одно из чисел $q + 1$ или $p + q + 1$ делится на 4.

ПРИМЕР 1. Множество изотопических классов заузленных торов $S^1 \times S^5 \rightarrow S^{10}$ конечно. На рисунке 3 отмечены все размерности из диапазона $p = 1, 1 \leq q \leq 13$ и $m > p + \frac{4}{3}q + 2$, для которых множество изотопических классов заузленных торов бесконечно. Информация на рисунке получена из теоремы 1.2, результатов работы [2; теоремы 3.10 и 2.9], предложения 5.6 и замечания 2 ниже.

Наш подход к классификации вложений основывается на аналоге точной последовательности Кошорке (теорема 2.1 ниже), содержащем новый β -инвариант почти вложений $S^p \times S^q \rightarrow S^m$. Точность данной последовательности доказывается с помощью метода Хабеггера–Кайзера исследования дополнения к почти вложению.

1.4. Структура работы. В §2 мы формулируем основной “теоретический” результат — теорему 2.1. В §3 мы приводим определение нового β -инварианта. В §4, который является центральным разделом статьи, мы доказываем полноту β -инварианта. В §5 мы доказываем теорему 2.1, используя результаты §4. В §6 мы выводим теорему 1.2 из теоремы 2.1. В §7 мы формулируем некоторые открытые вопросы. В Приложении мы детально рассматриваем вложенную хирургию многообразия самопересечения, которая используется в §4.

В публикации [23] теорема 1.2 обобщена на произвольные размерности $m > 2p + q + 2$ с помощью сведения классификации заузленных торов к классификации зацеплений. Необходимый для этого критерий конечности множества зацеплений получен в работе [24].

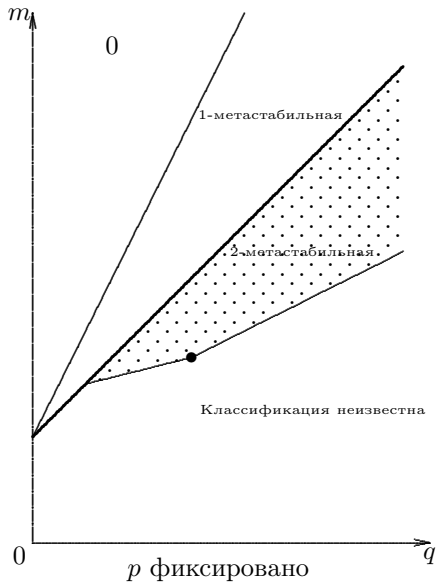


Рисунок 2

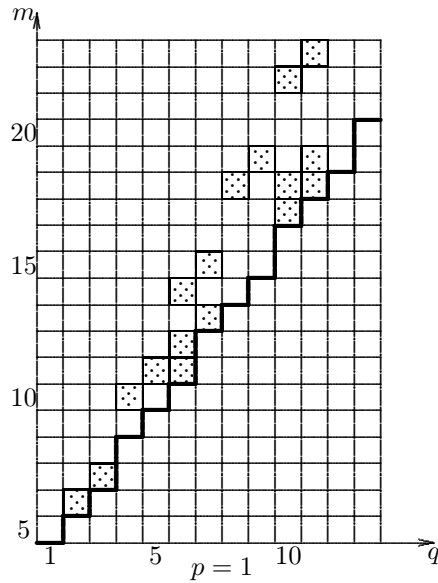


Рисунок 3

§ 2. Основная идея

В этом разделе мы формулируем основной “теоретический” результат работы. Это точная последовательность, которая сводит классификацию вложений $S^p \times S^q \rightarrow S^m$ к более простой классификации *почти вложений* $S^p \times S^q \rightarrow S^m$.

2.1. Изотопии и конкордантности. Вложение $f : X \times I \rightarrow S^m \times I$ называется *конкордантностью*, если $X \times 0 = f^{-1}(S^m \times 0)$ и $X \times 1 = f^{-1}(S^m \times 1)$. Конкордантность называется *изотопией*, если $f(X \times t) \subset S^m \times t$ для каждого $t \in I$. Конкордантность или изотопия называется *объемлемой*, если $X = S^m$. В дальнейшем мы неявно используем известные утверждения, что в коразмерности по крайней мере 3 *существование конкордантности влечет существование изотопии* и *любая конкордантность или изотопия продолжается до объемлемой* [25].

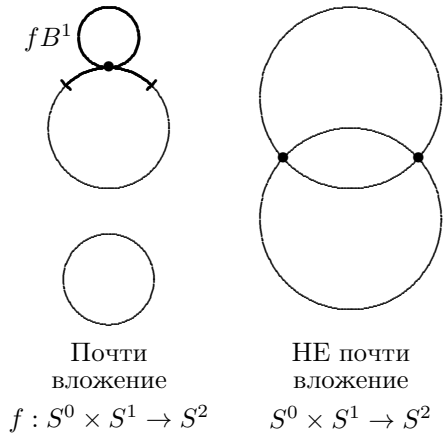


Рисунок 4

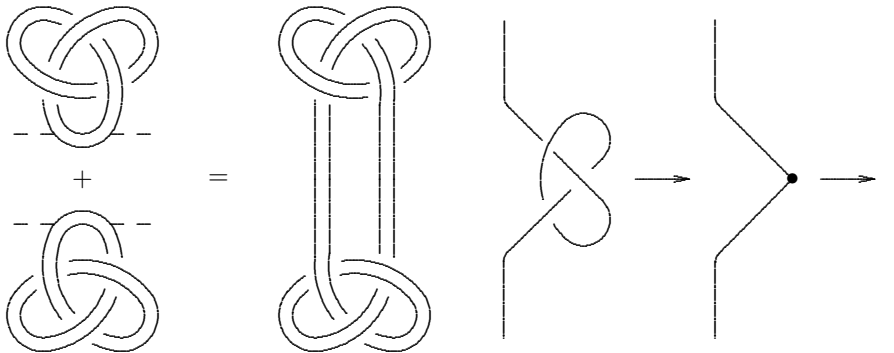


Рисунок 5

Рисунок 6

2.2. Почти вложения. Говоря неформально, *почти вложение* — это отображение, имеющее только “локальные” самопересечения; см. рисунок 4. Чтобы дать формальное определение, зафиксируем отмеченную точку $*$ $\in S^p$ и шар

$B^{p+q} \subset S^p \times S^q$ коразмерности 0, такой что $B^{p+q} \cap (* \times S^q) = \emptyset$; см. рисунок 1b. Отображение $f : S^p \times S^q \rightarrow S^m$ является *почти вложением*, если выполнены следующие два условия:

- (i) f является вложением вне шара B^{p+q} ;
- (ii) $f B^{p+q} \cap f(S^p \times S^q - B^{p+q}) = \emptyset$.

Почти конкордантность определяется аналогично, с той разницей, что шар B^{p+q} заменяется на $B^{p+q} \times I$.

2.3. Структура коммутативной группы. Операция параметрической связной суммы задает естественную структуру коммутативной группы на множестве вложений $S^p \times S^q \rightarrow S^m$ с точностью до конкордантности; см. рисунок 5. Эта структура корректно определена при $m > 2p + q + 2$ [21]. Мы приводим ее формальное определение в §5.

2.4. Действие узлов на заузленных торах. При $m > p + q + 2$ множество вложений $S^{p+q} \rightarrow S^m$ с точностью до конкордантности является группой относительно операции связной суммы [4]. Эта же операция задает действие этой группы на множестве вложений $S^p \times S^q \rightarrow S^m$ с точностью до конкордантности. В §5 мы докажем, что это действие инъективно при $m > 2p + q + 2$. Заметим, что множество орбит данного действия находится во взаимно-однозначном соответствии с множеством вложений $S^p \times S^q \rightarrow S^m$ с точностью до конкордантности, гладкой вне некоторого конечного множества; см. рисунок 6.

2.5. Обозначения. (а) $E^m(S^p \times S^q)/E^m(S^{p+q})$ обозначает группу всех гладких вложений $S^p \times S^q \rightarrow S^m$ с точностью до конкордантности и связного суммирования с вложениями $S^{p+q} \rightarrow S^m$.

(б) $\overline{E}^m(S^p \times S^q)$ обозначает группу всех почти вложений $S^p \times S^q \rightarrow S^m$ с точностью до почти конкордантности; структура группы определяется с помощью параметрической связной суммы.

(в) $\Omega_{p,q}^m := \pi_{p+2q-m+1}(V_{N+m-p-q-1,N})$, где $V_{i,j}$ — многообразие Штифеля j -оснащений начала координат в пространстве \mathbb{R}^i и N — достаточно большое число. Эквивалентно, при $m \geq p + \frac{4}{3}q + 2$ группа $\Omega_{p,q}^m$ — это группа нормальных бордизмов $\Omega_{2p+3q-2m+2}(P^\infty, (m-p-q-1)\lambda)$. Многие из групп $\Omega_{p,q}^m$ известны [26, 27].

2.6. Сформулируем основной “теоретический” результат работы.

ТЕОРЕМА 2.1. *Для каждого $m \geq p + \frac{4}{3}q + 2$ и $m > 2p + q + 2$ существует точная последовательность*

$$\begin{aligned} E^m(S^p \times S^q)/E^m(S^{p+q}) &\rightarrow \overline{E}^m(S^p \times S^q) \xrightarrow{\beta} \Omega_{p,q}^m \rightarrow \\ &\rightarrow E^{m-1}(S^p \times S^{q-1})/E^{m-1}(S^{p+q-1}) \rightarrow \overline{E}^{m-1}(S^p \times S^{q-1}) \rightarrow \Omega_{p,q-1}^{m-1} \rightarrow \dots \end{aligned}$$

Данная теорема имеет ряд непосредственных следствий. Во-первых, она позволяет оценить порядок или ранг группы $E^m(S^p \times S^q)/E^m(S^{p+q})$, если известны соответствующие оценки для группы $\overline{E}^m(S^p \times S^q)$. Из теоремы 2.1 также несложно вывести формулу Хефлигера [5] для группы зацеплений $S^q \sqcup S^q \rightarrow S^m$ в 2-метастабильной размерности. Короткое доказательство этого классического результата, вместе с доказательством теоремы 2.1 при $p = 0$, приводится в

[10]. Теорема 2.1 при $p = 0$ аналогична точной последовательности Кошорке: сравни теоремы 3.1 и 3.5 в [10], и теорему 3.1 в [28].

2.7. Бета-инвариант. Отображение $\beta : \overline{E}^m(S^p \times S^q) \rightarrow \Omega_{p,q}^m$ в теореме 2.1 — это новый инвариант, являющийся главным инструментом настоящей работы. Он обобщает:

- (а) β -инвариант сингулярных зацеплений со значениями в группе нормальных бордизмов [29, 30, 31];
- (б) β -инвариант заузленных торов [14, 21], сравни с [5, 6].

Идея этого инварианта такова. Для любого почти вложения $f : S^p \times S^q \rightarrow S^m$ по определению $fB^{p+q} \cap f(* \times S^q) = \emptyset$. Наш β -инвариант измеряет “зацепленность” сферы $f(* \times S^q)$ и (подходящего ретракта) полиэдра fB^{p+q} .

Основная идея работы состоит в том, что с этой точки зрения исследование почти вложений $S^p \times S^q \rightarrow S^m$ аналогично исследованию сингулярных зацеплений $S^q \sqcup S^{p+q} \rightarrow S^m$. Таким образом, мы можем использовать все преимущества метода Хабеггера–Кайзера теории сингулярных зацеплений для нашей задачи. Теперь сконцентрируемся на том, что сделано в работе в дополнение к методу статьи Хабеггера–Кайзера [29].

2.8. набросок доказательства Теоремы 2.1. Наметим доказательство точности в члене $\overline{E}^m(S^p \times S^q)$. Нам нужно доказать, что любое почти вложение $f : S^p \times S^q \rightarrow S^m$, такое что $\beta(f) = 0$, почти конкордантно вложению.

Достаточно построить шар $B^m \subset S^m$, такой что $f^{-1}B^m = B^{p+q}$. Действительно, тогда узел $f : \partial B^{p+q} \rightarrow \partial B^m$ тривиален согласно теории сглаживания. Таким образом, можно продеформировать ограничение $f : B^{p+q} \rightarrow B^m$ во вложение, и получить нужное нам вложение $S^p \times S^q \rightarrow S^m$.

Для построения шара B^m достаточно заклеить меридианы $f(* \times S^q)$ и $f(S^p \times *)$ двумя дисками D^{q+1} и D^{p+1} (назовем их *паутинами*), внутренности которых не пересекают друг друга и образ $f(S^p \times S^q)$. Тогда нужный нам шар B^m будет дополнением к малой трубчатой окрестности объединения $D^{q+1} \cup D^{p+1}$ в сфере S^m .

Существование паутины D^{p+1} гарантируется неравенством $m > 2p + q + 2$ и соображениями общего положения. Покажем, как строится паутина D^{q+1} при некоторых дополнительных предположениях. Это наиболее трудный шаг доказательства, который использует предположения $\beta(f) = 0$ и $m \geq p + \frac{4}{3}q + 2$. В силу результатов Хабеггера–Кайзера [29], мы можем считать, что сфероид $f|_{* \times S^q}$ стягиваем вне fB^{p+q} . Таким образом, мы можем заклеить сфероид $f(* \times S^q)$ (не обязательно вложенным) диском D^{q+1} , расположенным в пространстве $S^m - fB^{p+q}$. После этого мы можем устранить самопересечения этого диска, пользуясь теоремой вложения Хадсона.

Это заканчивает доказательство при предположении, что внутренность диска D^{q+1} не пересекает множества $f(S^p \times S^q - B^{p+q})$ и этот диск — гладкий. Остальные случаи доказываются при помощи подходящей относительной версии данного рассуждения; см. §4. Подчеркнем, что в формальном доказательстве Теоремы 2.1 используется не буквально приведенная конструкция, а некоторая ее относительная версия.

§ 3. Бета-инвариант

В этом разделе мы приводим подробную конструкцию β -инварианта почти вложений $S^p \times S^q \rightarrow S^m$.

3.1. Идея β -инварианта. Наглядно представить идею инварианта можно, обратившись к аналогии с почти вложениями $f \sqcup g : S^1 \sqcup S^0 \rightarrow S^2$ малой размерности.

Зафиксируем дугу $B^1 \subset S^1$. Отображение $f \sqcup g : S^1 \sqcup S^0 \rightarrow S^2$ назовем *почти вложением*, если оно является вложением вне дуги B^1 и $fB^1 \cap (f(S^1 - B^1) \cup gS^0) = \emptyset$. *Почти изотопия* $f_t \sqcup g_t : S^1 \sqcup S^0 \rightarrow S^2$ — это гомотопия в классе почти вложений.

Простейший инвариант почти изотопии почти вложения $f \sqcup g : S^1 \sqcup S^0 \rightarrow S^2$ — это коэффициент зацепления $\text{lk}(f, g)$, который принимает значения в группе \mathbb{Z}_2 . Этот инвариант не является полным: например, почти вложение на рисунке 7 нельзя “расцепить” с помощью почти изотопии, хотя $\text{lk}(f, g) = 0$.

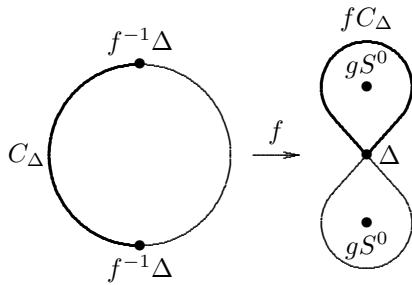


Рисунок 7

В ситуации на рисунке 7 полезен следующий β -инвариант почти изотопии. Возьмем двойную точку Δ отображения $f : S^1 \rightarrow S^2$. При условии общего положения множество $f^{-1}\Delta$ состоит из двух точек. Соединим эти две точки дугой $C_\Delta \subset S^1$. Образ fC_Δ — некоторый цикл, и число $\beta(f, g) = \sum_\Delta \text{lk}(fC_\Delta, g)$ (mod 2), где суммирование ведется по всем двойным точкам отображения f , является инвариантом почти изотопии. Он определен корректно, только если $\text{lk}(f, g) = 0$. Например, для почти вложения на рисунке 7 имеем $\beta(f, g) = 1$; и это доказывает, что указанное почти вложение действительно нельзя “расцепить”.

3.2. Построение. Чтобы реализовать данную идею в более высоких размерностях, мы строим:

- (i) аналог цикла fC_Δ , см. определение цикла \tilde{f} ниже;
- (ii) обобщение коэффициента зацепления $\text{lk}(fC_\Delta, f(* \times S^q))$, см. определение инварианта $\beta(f)$ ниже.

ОПРЕДЕЛЕНИЕ 1 ДАННЫХ, СВЯЗАННЫХ С ДВОЙНЫМИ ТОЧКАМИ. [26] Пусть $f : S^p \times S^q \rightarrow S^m$ — некоторое почти вложение. С помощью почти изотопии

сделаем f погружением общего положения. Рассмотрим диаграмму

$$\begin{array}{ccc} \tilde{\Delta} & \xrightarrow{\tilde{i}} & B^{p+q} \\ 2:1 \downarrow & & f \downarrow \\ \Delta & \xrightarrow{i} & S^m \end{array}$$

Здесь $\tilde{\Delta} = \text{Cl}\{(x, y) \in B^{p+q} \times B^{p+q} \mid x \neq y, fx = fy\}$ и $\Delta = \tilde{\Delta}/\mathbb{Z}_2$ — *многообразия двойных точек*, группа \mathbb{Z}_2 действует на $\tilde{\Delta}$ перестановкой сомножителей. Погружения $\tilde{i} : \tilde{\Delta} \rightarrow B^{p+q}$ и $i : \Delta \rightarrow S^m$ определяются формулами $\tilde{i}(x, y) = x$ и $i\{x, y\} = fx$. Обозначим через $\Sigma(f) = \text{Im } \tilde{i}$ *сингулярное множество* отображения f .

ОПРЕДЕЛЕНИЕ 2 цикла $\tilde{f} : T(\lambda_\Delta) \rightarrow S^m$. [29] Обозначим через $T(\lambda_\Delta)$ конус накрытия $\tilde{\Delta} \rightarrow \Delta$. Возьмем любое продолжение $\tilde{i} : C\tilde{\Delta} \rightarrow B$ отображения $\tilde{i} : \tilde{\Delta} \rightarrow B$. Определим $\tilde{f} : T(\lambda_\Delta) \rightarrow S^m$ как фактор-отображение композиции $f\tilde{i} : C\tilde{\Delta} \rightarrow S^m$.

Теперь мы собираемся определить некоторое обобщение коэффициента зацепления. Это — заявленный выше шаг (ii) построения инварианта. Продолжим вложение $f|_{*\times S^q}$ до погружения $\tilde{f} : D^{q+1} \rightarrow S^m$ общего положения (*паутины*). Говоря неформально, нужный нам “коэффициент зацепления” — это класс бордизма “пересечения” $\text{Im } \tilde{f} \cap \text{Im } \bar{f}$ с естественным “косым оснащением”. Он принимает значения в *группе нормальных бордизмов* $\Omega_{p,q}^m$, обобщающей группу оснащенных зацеплений.

Построение всех оснащений ниже очевидно, и читатель может пропустить громоздкие шаги (2) и (3) во всех последующих определениях. Указанные шаги не используются в работе, за исключением доказательства предложения 4.4, по существу заимствованного из [29].

ОПРЕДЕЛЕНИЕ 3 группы нормальных бордизмов $\Omega_s(P^\infty, l\lambda)$. [26] Пусть l и s — некоторые целые числа. Назовем $l\lambda$ -*многообразием* тройку, состоящую из

- (1) многообразия M (“зацепления”);
- (2) линейного расслоения λ_M на M ; и
- (3) стабильного изоморфизма $\bar{g}_M : \nu(M) \cong l\lambda_M := \underbrace{\lambda_M \oplus \cdots \oplus \lambda_M}_l$ (“косого оснащения”), где $\nu(M)$ — стабильное нормальное расслоение к многообразию M .

Группа нормальных бордизмов $\Omega_s(P^\infty, l\lambda)$ — это множество всех $l\lambda$ -многообразий размерности s с точностью до бордизма (имеющего аналогичное “косое оснащение”). На этом множестве операция несвязного объединения определяет структуру коммутативной группы.

Начиная с этого момента, положим $s = 2p + 3q - 2m + 2$, $l = m - p - q - 1$ и $n = p + q$. Согласно [26] мы имеем $\Omega_s(P^\infty, l\lambda) \cong \pi_{l+s}(V_{N+l,N}) = \Omega_{p,q}^m$ при $s < l$ для достаточно большого целого числа N . Обозначим через $N(X, Y)$ нормальное расслоение к многообразию X , погруженному в многообразии Y , и через ϵ — тривиальное одномерное линейное расслоение.

ОПРЕДЕЛЕНИЕ 4 $(m - n)\lambda$ -МНОГООБРАЗИЯ ДВОЙНЫХ ТОЧЕК. [26] Назовем $(m - n)\lambda$ -многообразием двойных точек тройку $(\Delta, \lambda_\Delta, \bar{g}_\Delta)$, в которой:

- (1) Δ является многообразием двойных точек;
- (2) λ_Δ является линейным расслоением, ассоциированным с накрытием $\tilde{\Delta} \rightarrow \Delta$;
- (3) $\bar{g}_\Delta : N(\Delta, S^m) \cong (m - n)\lambda_\Delta \oplus \epsilon^{m-n}$ строится следующим образом.

Для каждой точки $\{x, y\} \in \Delta$ мы имеем канонические изоморфизмы

$$N(\Delta, S^m)_{\{x, y\}} \cong N(\tilde{\Delta}, B)_{(x, y)} \oplus N(\tilde{\Delta}, B)_{(y, x)} \cong N(B, S^m)_y \oplus N(B, S^m)_x.$$

Пусть векторы $\{e_x^k\}_{k=1}^{m-n}$ образуют тривиализацию расслоения $N(B, S^m)$ в точке $x \in B$. Тогда векторы $\{e_x^k, e_y^k\}$ образуют “косое оснащение” многообразия Δ . Если мы поменяем местами точки x и y в паре $(x, y) \in \tilde{\Delta}$, то векторы e_x^k и e_y^k поменяются местами. Таким образом, расслоение $N(\Delta, S^m)$ распадается в сумму всех линейных расслоений $\langle e_x^k + e_y^k \rangle \cong \epsilon$ и линейных расслоений $\langle e_x^k - e_y^k \rangle \cong \lambda_\Delta$, где $k = 1, \dots, m - n$. Данное разложение определяет нужный нам изоморфизм $\bar{g}_\Delta : N(\Delta, S^m) \cong (m - n)\lambda_\Delta \oplus \epsilon^{m-n}$.

Заметим, что пространство расслоения λ_Δ можно отождествить с подмножеством конуса $T(\lambda_\Delta)$ накрытия $\tilde{\Delta} \rightarrow \Delta$. Будем обозначать ограничение цикла $\tilde{f} : T(\lambda_\Delta) \rightarrow S^m$ на данное подмножество также через $\tilde{f} : \lambda_\Delta \rightarrow S^m$. Обозначим через $\check{f} : \lambda_\Delta \rightarrow S^m$ гладкое отображение общего положения (не обязательно погружение), достаточно близкое к $\tilde{f} : \lambda_\Delta \rightarrow S^m$.

ОПРЕДЕЛЕНИЕ 5 БЕТА-ИНВАРИАНТА $\beta(f)$. Назовем бета-инвариантом $\beta(f)$ почти вложения $f : S^p \times S^q \rightarrow S^m$ класс бордизма $l\lambda$ -многообразия $(\beta, \lambda_\beta, \bar{g}_\beta)$, определяемого следующим образом:

- (1) Многообразие $\beta = \beta(f)$. Положим

$$\beta = \{ (x, y) \in D^{q+1} \times \lambda_\Delta : \bar{f}x = \check{f}y \}.$$

(2) Линейное расслоение λ_β на многообразии β . Обозначим $\text{pr} : \beta \rightarrow \Delta$ очевидную композицию $\beta \rightarrow D^{q+1} \times \lambda_\Delta \rightarrow 0 \times \Delta = \Delta$. Положим $\lambda_\beta = \text{pr}^*(\lambda_\Delta)$.

(3) Стабильный изоморфизм $\bar{g}_\beta : \nu(\beta) \cong l\lambda_\beta$. Ограничим стабильный изоморфизм $\bar{g}_\Delta : \nu(\Delta) \cong (l + 1)\lambda_\Delta$, построенный в шаге (3) определения $(m - n)\lambda$ -многообразия двойных точек, на расслоение $\langle e_x^1 - e_y^1 \rangle^\perp$. Мы получим изоморфизм $\nu(\lambda_\Delta) \cong l\lambda_\Delta \oplus \epsilon^{l+1}$. Отождествим $\nu(\lambda_\Delta)$ и $\nu(D^{q+1} \times \lambda_\Delta)$. Ограничивая предыдущий изоморфизм на многообразии β , мы получаем изоморфизм $g_1 : \nu(D^{q+1} \times \lambda_\Delta)|_\beta \cong l\lambda_\beta \oplus \epsilon^{l+1}$. Возьмем тривиализацию нормального расслоения $N(D^{q+1}, S^m)$. Эта тривиализация задает изоморфизм $g_2 : \nu(\beta) \cong \nu(D^{q+1} \times \lambda_\Delta)|_\beta \oplus \epsilon^{m-q-1}$. Положим $\bar{g}_\beta = (g_1 \oplus \text{id}) \circ g_2$.

ПРЕДЛОЖЕНИЕ 3.1. Формула $f \mapsto \beta(f)$ корректно определяет некоторое отображение $\bar{E}^m(S^p \times S^q) \rightarrow \Omega_{p,q}^m$.

ДОКАЗАТЕЛЬСТВО. Нам нужно проверить следующее:

(1) Класс бордизма $\beta(f)$ не зависит от выборов в его построении. Действительно, в процессе построения мы делали следующие четыре выбора. В определении цикла \tilde{f} мы выбирали продолжение $\tilde{i} : C\tilde{\Delta} \rightarrow D^{p+q}$. В шаге (3) определения $(m - n)\lambda$ -многообразия двойных точек мы выбирали тривиализацию расслоения $N(D^{p+q}, S^m)$. В шаге (1) определения инварианта $\beta(f)$ мы

выбирали продолжение $\bar{f} : D^{q+1} \rightarrow S^m$. И в шаге (3) того же определения мы выбирали тривиализацию расслоения $N(D^{q+1}, S^m)$. Ясно, что все рассматриваемые продолжения и тривиализации единственны с точностью до гомотопии. Следовательно, класс $\beta(f)$ определен корректно.

(2) Если f_1 и f_2 почти конкордантны, то $\beta(f_1) = \beta(f_2)$. Действительно, пусть $f : S^p \times S^q \times I \rightarrow S^m \times I$ — почти конкордантность общего положения между f_1 и f_2 . Аналогично построению выше можно построить β -инвариант $\beta(f)$ этой почти конкордантности. Он будет бордизмом между $\beta(f_1)$ и $\beta(f_2)$. Таким образом, $\beta(f_1) = \beta(f_2)$.

Приведем относительную версию предыдущего построения; см. рисунок 8. Отображение $f : X \rightarrow Y$ назовем *собственным*, если $f^{-1}\partial Y = \partial X$.

ОПРЕДЕЛЕНИЕ 6 СОБСТВЕННОГО ПОЧТИ ВЛОЖЕНИЯ $S^p \times D^q \rightarrow D^m$. Зафиксируем шар $B^{p+q} \subset S^p \times \text{Int } D^q$ такой, что $B^{p+q} \cap (* \times D^q) = \emptyset$. Собственное отображение $f : S^p \times D^q \rightarrow D^m$ будем называть *собственным почти вложением*, если выполнены следующие условия:

- (i) f является вложением вне B^{p+q} ; и
- (ii) $fB^{p+q} \cap f(S^p \times D^q - B^{p+q}) = \emptyset$.

Собственная почти конкордантность определяется аналогично, с той разницей, что шар B^{p+q} заменяется $B^{p+q} \times I$. *Стандартное* вложение $S^p \times D^q \rightarrow D^m$ определяется как композиция $S^p \times D^q \subset D^{p+1} \times D^q \cong D^{p+q+1} \subset D^m$.

Далее $f : S^p \times D^q \rightarrow D^m$ будет обозначать некоторое собственное почти вложение, если явно не оговорено обратное.

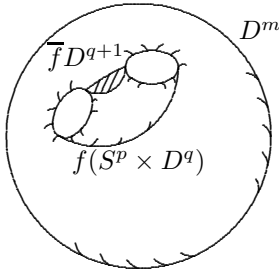


Рисунок 8

ОПРЕДЕЛЕНИЕ 7 СОБСТВЕННОГО ПОЧТИ ВЛОЖЕНИЯ $D^{p+q} \rightarrow D^m$. *Собственное почти вложение* $D^{p+q} \rightarrow D^m$ — это собственное отображение, ограничение которого на край является вложением.

ОПРЕДЕЛЕНИЕ 8 ПАУТИНЫ \bar{f} . Зафиксируем стандартное экваториальное разбиение $\partial D^{q+1} = D_+^q \cup_{\partial D_+^q = \partial D_-^q} \partial D_-^q \cup D_-^q$. *Паутина* собственного почти вложения $f : S^p \times D^q \rightarrow D^m$ — это отображение $\bar{f} : D^{q+1} \rightarrow D^m$, удовлетворяющее следующим двум условиям, см. рисунок 8:

- (i) $\bar{f}|_{D_+^q} = f|_{* \times D^q}$; и
- (ii) $fD_-^q \subset \partial D^m$.

ОПРЕДЕЛЕНИЕ 9 ОТНОСИТЕЛЬНЫХ БЕТА-ИНВАРИАНТОВ $\beta(f)$ и $\beta(f, g)$. Определение (относительного) β -инварианта $\beta(f)$ собственного почти вложения $f : S^p \times D^q \rightarrow D^m$ полностью аналогично определению инварианта $\beta(f)$ выше, с той разницей, что отображение $f|_{* \times S^q}$ заменяется на $f|_{* \times D^q}$.

Если дано собственное отображение $g : D^q \rightarrow D^m$, образ которого не пересекает $f(S^p \times D^q)$, то можно определить β -инвариант $\beta(f, g)$ аналогично инварианту $\beta(f)$, с той разницей, что отображение $f|_{* \times D^q}$ заменяется отображением g .

В качестве непосредственного следствия определений получаем:

ПРЕДЛОЖЕНИЕ 3.2. *Отображение $g \mapsto \beta(f, g)$ индуцирует гомоморфизм групп $\pi_q(D^m - \text{Im } f, \partial D^m - \text{Im } f) \rightarrow \Omega_{p,q}^m$. Кроме того, если собственное отображение $g : D^q \rightarrow D^m$ достаточно близко к отображению $f|_{* \times D^q}$, то $\beta(f, g) = \beta(f)$.*

§ 4. Полнота бета-инварианта

В этом разделе мы доказываем полноту относительного β -инварианта:

ТЕОРЕМА 4.1. *Пусть $m \geq p + \frac{4}{3}q + 2$. Тогда любое собственное почти вложение $f : S^p \times D^q \rightarrow D^m$, для которого $\beta(f) = 0$, собственно почти конкордантно связной сумме (относительно края) стандартного вложения $S^p \times D^q \rightarrow D^m$ и некоторого собственного почти вложения $D^{p+q} \rightarrow D^m$.*

Сначала сформулируем нашу центральную лемму, которая описывает гомотопические группы дополнения к собственному почти вложению; сравни с [29; следствие 4.4]:

ЛЕММА 4.2 О ДОПОЛНЕНИИ. *Пусть $m \geq p + \frac{4}{3}q + 2$. Тогда любое собственное почти вложение $f : S^p \times D^q \rightarrow D^m$ собственно почти конкордантно собственному почти вложению $f' : S^p \times D^q \rightarrow D^m$ общего положения, такому что*

$$\pi_q(D^m - \text{Im } f', \partial D^m - \text{Im } f') \cong \Omega_{p,q}^m.$$

Последний изоморфизм задается формулой $g \mapsto \beta(f', g)$.

В частности, если $\beta(f) = 0$, то любое собственное отображение $g : D^q \rightarrow D^m - \text{Im } f'$, достаточно близкое к $f'|_{* \times D^q}$, собственно гомотопно постоянному отображению (в классе собственных отображений $D^q \rightarrow D^m - \text{Im } f'$). Это замечание следует из предложения 3.2 выше и составляет основу следующего рассуждения.

ДОКАЗАТЕЛЬСТВО ТЕОРЕМЫ 4.1, ИСХОДЯ ИЗ ЛЕММЫ 4.2. Доказательство проходит в 3 этапа:

(1) *Построение паутины, внутренность которой не пересекает $\text{Im } f$. Возьмем собственное почти вложение $f : S^p \times D^q \rightarrow D^m$. Пусть $f' : S^p \times D^q \rightarrow D^m$ — собственное почти вложение (собственно почти конкордантно отображению f), такое что выполнен изоморфизм из леммы 4.2 о дополнении.*

Без потери общности можно считать, что $f'(S^p \times D^q)$ ортогонально границе ∂D^m . Так как ограничение нормального расслоения $N(f'(S^p \times D^q), D^m)$ на

диск $f'(* \times D^q)$ тривиально, то существует единичное векторное поле на диске $f'(* \times D^q)$, ортогональное образу $f'(S^p \times D^q)$. Приклеим к диску $f'(* \times D^q)$ воротниковую окрестность в направлении этого векторного поля. Компонента края этой воротниковой окрестности образует собственное отображение $g : D^q \rightarrow D^m - \text{Im } f'$.

Согласно лемме 4.2 о дополнении (и абзацу после ее формулировки) отображение $g : D^q \rightarrow D^m - \text{Im } f'$ собственно гомотопно постоянному отображению. Значит, к рассматриваемой компоненте края воротниковой окрестности можно приклеить диск (возможно, самопересекающийся), не пересекающий $\text{Im } f'$, край которого лежит в $\text{Im } g \cup \partial D^m$. Объединение диска и воротниковой окрестности — образ искомой паутины $\bar{f} : D^{q+1} \rightarrow D^m$.

(2) *Устранение самопересечений паутины.* Согласно [32; Theorem 2.1] существует кусочно-гладкий гомеоморфизм $h : D^m \rightarrow D^m$, такой что отображения $f'_{PL} := hf'$ и $\bar{f}_{PL} := h\bar{f}$ кусочно линейны. Обозначим через M^m дополнение к регулярной окрестности образа $\text{Im } f'_{PL}$ в D^m . Тогда пара $(M^m, \partial M^m \cap \partial D^m)$ достаточно высоко связна (см. предложение 4.6 ниже). Следующая теорема позволяет устранить самопересечения паутины:

ТЕОРЕМА 4.3 О ВЛОЖЕНИИ, ДОПУСКАЮЩАЯ ДВИЖЕНИЕ ЧАСТИ КРАЯ. *Пусть (M^m, M^{m-1}) — пара кусочно линейных многообразий, такая что $M^{m-1} \subset \partial M^m$. Предположим, что эта пара $(2q - t + 3)$ -связна и $t \geq q + 4$. Пусть $\bar{f}_{PL} : (D^{q+1}, D^q_-) \rightarrow (M^m, M^{m-1})$ — кусочно линейное отображение, которое вкладывает D^q_+ в $\partial M^m - \text{Int } M^{m-1}$. Тогда \bar{f}_{PL} гомотопно $\text{rel } D^q_+$ кусочно линейному вложению $\bar{f}_{Emb} : (D^{q+1}, D^q_-) \rightarrow (M^m, M^{m-1})$.*

Эта теорема доказывается полностью аналогично результату [25; теорема 9.2.1]. Так как все препятствия к сглаживаемости вложения $h^{-1}\bar{f}_{Emb}$ лежат в нулевых группах $H^k(D^{q+1}, D^q_-; C^{m-k}_{q-k})$, то согласно теории сглаживания [32], кусочно линейное вложение $h^{-1}\bar{f}_{Emb}$ собственно гомотопно $\text{rel } D^q_+$ паутине $\bar{f}' : D^{q+1} \rightarrow D^m$, которая уже является гладким вложением.

(3) *Разложение f' в связную сумму.* Пусть B^m — дополнение к объединению трубчатых окрестностей многообразия $f'(S^p \times D^q - \text{Int } B^{p+q})$ и паутины $\bar{f}'D^{q+1}$ в D^m . Тогда B^m — гладкий шар, причем $(f')^{-1}B^m = B^{p+q}$. Обозначим ограничение $f' : B^{p+q} \rightarrow B^m$ через $g' : B^{p+q} \rightarrow B^m$. Легко видеть, что f' собственно почти конкордантно связной сумме (относительно края) отображения $g' : B^{p+q} \rightarrow B^m$ и некоторого вложения $S^p \times D^q \rightarrow D^m$. Последнее собственно объемлемо конкордантно стандартному (согласно несложному предложению 5.7(а) ниже). Теорема 4.1 доказана, исходя из леммы 4.2.

Оставшаяся часть §4 посвящена доказательству леммы 4.2 о дополнении. Наше рассуждение параллельно [29; §§3–4].

Начиная с этого момента, отождествим диск D^m с верхней полусферой сферы S^m и зафиксируем разбиение $S^m = D^m \cup CS^{m-1}$. Обозначим через $\{X, Y\}$ множество стабильных гомотопических классов отображений $X \rightarrow Y$.

ПРИМЕР 2. $\{(D^q; S^{q-1}), (D^m - \text{Im } f, \partial)\} \cong \{S^q, S^m - f(S^p \times D^q)\}$ (потому что пара (X, Y) стабильно гомотопически эквивалентна пространству $X \cup CY$).

Следующее предложение показывает, как выразить β -инвариант через гомотопический класс собственного отображения $g : D^q \rightarrow D^m - \text{Im } f$ в группе

$\pi_q(D^m - \text{Im } f, \partial)$. Данное предложение можно рассматривать как альтернативное определение β -инварианта $\beta(f, g)$.

ПРЕДЛОЖЕНИЕ 4.4. (сравни с [29; предложение 3.2]) *При композиции*

$$\begin{aligned} \pi_q(D^m - \text{Im } f, \partial) &\xrightarrow{\Sigma^\infty} \{S^q, S^m - \text{Im } f\} \xrightarrow{SW} \\ &\xrightarrow{SW} \{\text{Im } f, S^{m-q-1}\} \xrightarrow{\tilde{f}_*} \{T(\lambda_\Delta), S^{m-q-1}\} \xrightarrow{PT} \Omega_s(P^\infty, l\lambda) \end{aligned} \quad (4.1)$$

гомотопический класс собственного отображения $g : D^q \rightarrow D^m - \text{Im } f$ переходит в $\beta(f, g)$.

Здесь первая стрелка — итерация отображения надстройки. Второе отображение — это двойственность Спениера–Уайтхеда. Третья стрелка индуцируется отображением \tilde{f} , определенным в §3. Четвертая стрелка задается конструкцией Понтрягина–Тома (см. детали в [26]). Данное предложение доказывается непосредственной проверкой. Фактически, его достаточно доказать для отображения $f : B^{p+q} \rightarrow S^m$, что делается полностью аналогично [29; предложение 3.2].

Данное предложение подсказывает, что полезно найти гомотопический тип образа $\text{Im } f$:

ПРЕДЛОЖЕНИЕ 4.5. (сравни с [29; §4]) *Обозначим через C конус отображения $f : \Sigma(f) \rightarrow f\Sigma(f)$. Тогда $\text{Im } f \simeq C \vee S^p$.*

Доказательство этого предложения немедленно следует из следующего наблюдения: оба рассматриваемых пространства могут быть получены из полиэдра $\text{Cyl}(\Sigma(f) \rightarrow f\Sigma(f)) \cup_{\Sigma(f) \subset S^p \times D^q} (S^p \times D^q)$ с помощью стягивания подходящих подполиэдров; см. рисунок 9.

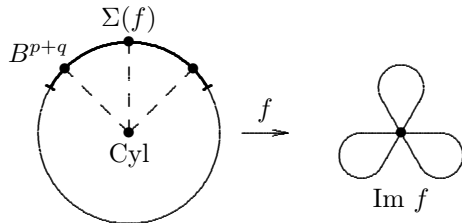


Рисунок 9

Начнем теперь исследование гомотопического типа пары $(D^m - \text{Im } f, \partial)$.

ПРЕДЛОЖЕНИЕ 4.6. (сравни с [29; лемма 4.2]) *Для любого погружения f общего положения пара $(D^m - \text{Im } f, \partial)$ является c -связной, где $c = \min\{m - p - 2, 2m - 2p - 2q - 3\}$.*

ДОКАЗАТЕЛЬСТВО. При условии коразмерности по крайней мере 3 пара $(D^m - \text{Im } f, \partial)$ по общему положению односвязна. Согласно теореме вырезания имеем $H_i(D^m - \text{Im } f, \partial) \cong H_i(S^m - \text{Im } f)$. По двойственности Александера $H_i(S^m - \text{Im } f) \cong H^{m-i-1}(\text{Im } f)$. Согласно предложению 4.5 мы имеем $H^{m-i-1}(\text{Im } f) = 0$ для $i \leq c$, так как по общему положению $\dim C = 2p + 2q - m + 1$. По теореме Гуревича пара $(D^m - \text{Im } f, \partial)$ является c -связной.

Доказательство леммы 4.2 о дополнении. Достаточно показать, что при подходящем выборе собственного почти вложения f' все стрелки в композиции из предложения 4.4 биективны. Нам потребуется изменить исходное собственное почти вложение f только в шаге (4) ниже.

(1) *Первое отображение биективно* согласно предложению 4.6 и теореме о надстройке, так как предположение $m \geq p + \frac{4}{3}q + 2$ влечет неравенство $q/2 \leq c$.

(2) *Второе отображение биективно* по двойственности Спениера–Уайтхеда.

(3) *Третье отображение биективно.* Согласно предложению 4.5 получаем $\{\text{Im } f, S^{m-q-1}\} \cong \{C, S^{m-q-1}\}$. Остается проверить, что $\{C, S^{m-q-1}\} \cong \{T(\lambda_\Delta), S^{m-q-1}\}$. Обозначим через λ_T ограничение расслоения λ_Δ на тройные точки, через C_T — образ пространства $T(\lambda_T)$ при отображении $T(\lambda_\Delta) \rightarrow C$, и через R — конус отображения $T(\lambda_T) \rightarrow C_T$. Тогда R — деформационный ретракт конуса отображения $T(\lambda_\Delta) \rightarrow C$. Рассмотрим точную последовательность Пушпе пары $(\text{Cyl}(T(\lambda_\Delta) \rightarrow C), T(\lambda_\Delta))$:

$$\{R, S^{m-q-1}\} \rightarrow \{C, S^{m-q-1}\} \rightarrow \{T(\lambda_\Delta), S^{m-q-1}\} \rightarrow \{R, S^{m-q}\}.$$

Так как R имеет размерность не более $3q + 3p - 2m + 2$, то ввиду предположения $m \geq p + \frac{4}{3}q + 2$ получаем, что $\{C, S^{m-q-1}\} \cong \{T(\lambda_\Delta), S^{m-q-1}\}$. Ясно, что полученный изоморфизм $\{\text{Im } f, S^{m-q-1}\} \cong \{T(\lambda_\Delta), S^{m-q-1}\}$ индуцируется отображением $\tilde{f} : T(\lambda_\Delta) \rightarrow \text{Im } f$.

(4) *Преобразование четвертого отображения в биективное.* Легко видеть, что четвертое отображение биективно, если отображение $\Delta \rightarrow P^\infty$, классифицирующее расслоение λ_Δ , является $(s+1)$ -связным. Действительно, согласно конструкции Понтрягина–Тома $\{T(\lambda_\Delta), S^{m-q-1}\} \cong \Omega_s(\Delta, l\lambda_\Delta)$, и по теореме о накрывающей гомотопии индуцированное отображение $\Omega_s(\Delta, l\lambda_\Delta) \rightarrow \Omega_s(P^\infty, l\lambda)$ будет изоморфизмом. (Определение группы $\Omega_s(\Delta, l\lambda_\Delta)$ и детали данного рассуждения приводятся в [29; §3] и [26]).

Таким образом, нам остается сделать классифицирующее отображение $\Delta \rightarrow P^\infty$ $(s+1)$ -связным при помощи подходящей собственной почти конкордантности почти вложения f . Это возможно в силу следующей теоремы (которая применяется здесь при $s = 2p + 3q - 2m + 2$ и $n = p + q$):

ТЕОРЕМА 4.7 О ХИРУРГИИ. (сравни с [29; теорема 4.5]) *Рассмотрим $(s+1)$ -связное многообразие M^m и собственное погружение $f : B^n \rightarrow M^m$, ограничение $f|_{\partial B^n}$ которого на край — вложение. Предположим, что $2s \leq 2n - m - 2$ и $0 \leq s \leq m - n - 3$. Тогда с помощью некоторой регулярной гомотопии $\text{rel } \partial B^n$ погружения $f : B^n \rightarrow M^m$ классифицирующее отображение $\Delta \rightarrow P^\infty$ накрытия $\tilde{\Delta} \rightarrow \Delta$ можно сделать $(s+1)$ -связным.*

Доказательство теоремы 4.7 о хирургии полностью аналогично доказательству [29; теорема 4.5]. Мы приводим его в Приложении для удобства читателя.

Таким образом, мы доказали полноту β -инварианта, считая теорему 4.7 о хирургии доказанной.

§ 5. Точная последовательность

В данном разделе мы выводим теорему 2.1 из утверждения о полноте β -инварианта. Формально, теорема 2.1 следует из утверждений 4.1, 5.1, 5.2 и 5.5.

ТЕОРЕМА 5.1. Пусть $m \geq p + \frac{4}{3}q + 2$. Тогда для каждого $x \in \Omega_{p,q}^m$ существует собственное почти вложение $\omega_x : S^p \times D^q \rightarrow D^m$, такое что $\beta(\omega_x) = x$.

ДОКАЗАТЕЛЬСТВО ТЕОРЕМЫ 5.1, ИСХОДЯ ИЗ ЛЕММЫ 4.2. Построение элемента ω_x состоит из 3 шагов:

(1) Построение отображения $f' \sqcup g : S^p \times D^q \sqcup D^q \rightarrow D^m$, такого что $\beta(f', g) = x$. Начнем со стандартного вложения $f : S^p \times D^q \rightarrow D^m$. По лемме 4.2 о дополнении из §4 отображение f собственно почти конкордантно собственному почти вложению $f' : S^p \times D^q \rightarrow D^m$, такому что отображение $\beta(f', \cdot) : \pi_q(D^m - \text{Im } f', \partial) \rightarrow \Omega_{p,q}^m$ является изоморфизмом. Возьмем собственное отображение $g : D^q \rightarrow D^m - \text{Im } f'$, такое что $\beta(f', g) = x$.

(2) Гомотопическое продолжение отображения $g : D^q \rightarrow D^m - \text{Im } f'$ до собственного вложения $g' : S^p \times D^q \rightarrow D^m - \text{Im } f'$. Так как пара $(D^m - \text{Im } f', \partial)$ достаточно высоко связна (см. предложение 4.6), то по теореме вложения [25; теорема 8.2.1] самопересечения отображения $g : D^q \rightarrow D^m - \text{Im } f'$ можно устранить. Согласно теории Хирша можно сделать $g : D^q \rightarrow D^m - \text{Im } f'$ гладким вложением с тривиальным нормальным расслоением. Значит, можно продолжить вложение $g : D^q \rightarrow D^m - \text{Im } f'$ до собственного вложения $g' : S^p \times D^q \rightarrow D^m - \text{Im } f'$, такого что образ $\text{Im } g'$ содержится в трубчатой окрестности образа $\text{Im } g$.

(3) S^p -параметрическая связное суммирование отображений f' и g' . Зафиксируем отмеченную точку $* \in \partial D^q$. По построению $f'|_{\partial}$ конкордантно стандартному вложению.

Значит, сферу $f'(S^p \times *)$ можно заклеить оснащенным диском $D^{p+1} \subset \partial D^m$ (паутиной), таким что $\text{Int } D^{p+1} \cap \text{Im } f' = \emptyset$ и первые q векторных полей оснащения диска ∂D^{p+1} касаются образа $f'(S^p \times S^q)$. По общему положению данная паутина не пересекается с $\text{Im } g$, а значит, и с $\text{Im } g'$. Ясно, что сфера $g'(S^p \times *)$ также может быть заклеена паутиной $\bar{D}^{p+1} \subset \partial D^m$, внутренность которой не пересекается с $\text{Im}(f' \sqcup g')$ и с первой паутиной D^{p+1} .

Соединим центры паутин D^{p+1} и \bar{D}^{p+1} путем I в ∂D^m . По общему положению путь I пересекает $\text{Im}(f' \sqcup g') \cup D^{p+1} \cup \bar{D}^{p+1}$ только по своей границе ∂I . Пусть \bar{D}^m — объединение малых трубчатых окрестностей многообразий D^{p+1} , I и \bar{D}^{p+1} в шаре D^m . Ясно, что пересечение $\text{Im}(f' \sqcup g') \cap \bar{D}^m$ стандартно. Делая S^p -параметрическую связную сумму отображений $f' : S^p \times D^q \rightarrow D^m$ и $g' : S^p \times D^q \rightarrow D^m$ относительно края в шаре \bar{D}^m , мы получаем искомое собственное почти вложение $\omega_x : S^p \times D^q \rightarrow D^m$.

Пусть $\bar{E}^m(S^p \times D^q, S^p \times S^{q-1})$ — группа собственных почти вложений $S^p \times D^q \rightarrow D^m$ с точностью до собственной почти конкордантности и связного суммирования с собственными почти вложениями $D^{p+q} \rightarrow D^m$; структура группы задается операцией параметрической связной суммы относительно края.

ЗАМЕЧАНИЕ 1. Тем самым относительный β -инвариант является отображением $\bar{E}^m(S^p \times D^q, S^p \times S^{q-1}) \rightarrow \Omega_{p,q}^m$. Теоремы 4.1 и 5.1 вместе утверждают, что это отображение биективно при $m \geq p + \frac{4}{3}q + 2$.

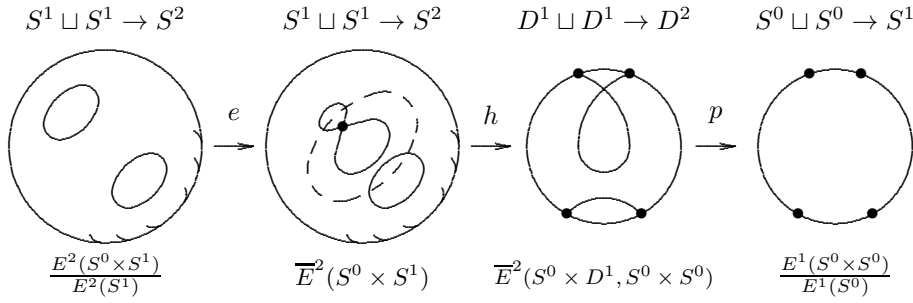


Рисунок 10

ЛЕММА 5.2. (сравни с [33] и [10; теорема 1], см. рисунок 10) Для каждого $m > 2p + q + 2$ существует точная последовательность

$$\frac{E^m(S^p \times S^q)}{E^m(S^{p+q})} \xrightarrow{e} \bar{E}^m(S^p \times S^q) \xrightarrow{h} \bar{E}^m(S^p \times D^q, S^p \times S^{q-1}) \xrightarrow{p} \frac{E^{m-1}(S^p \times S^{q-1})}{E^{m-1}(S^{p+q-1})} \rightarrow \dots$$

В оставшейся части §5 мы доказываем лемму 5.2. Начнем с построения структуры коммутативной группы на множестве заузленных торов (а также почти вложений $S^p \times S^q \rightarrow S^m$). Данное построение эквивалентно приведенному в [21; §2].

ОПРЕДЕЛЕНИЕ 10 ПАУТИНЫ D^{p+1} . Зафиксируем отмеченную точку $* \in S^q$. Не ограничивая общности, будем считать, что $* \times S^q \cap B^{p+q} = \emptyset$. Паутина почти вложения $f : S^p \times S^q \rightarrow S^m$ — это оснащенный диск $D^{p+1} \subset S^m$, удовлетворяющий следующим 3 условиям:

- (i) $\partial D^{p+1} = f(S^p \times *)$;
- (ii) $\text{Int } D^{p+1} \cap \text{Im } f = \emptyset$;
- (iii) первые q векторных полей оснащения края ∂D^{p+1} совпадают с очевидным оснащением “меридиана” $f(S^p \times *)$ в “торе” $f(S^p \times S^q)$.

Паутины почти конкордантности $f : S^p \times S^q \times I \rightarrow S^m \times I$ и собственного почти вложения $f : S^p \times D^q \rightarrow D^m$ определяются аналогично (в качестве отмеченной точки $* \in D^q$ берется центр диска D^q).

Следующее утверждение эквивалентно лемме о стандартизации 2.1 из [21].

ПРЕДЛОЖЕНИЕ 5.3. [21; лемма о стандартизации 2.1] Если $m > 2p + q + 1$, то для любого почти вложения $f : S^p \times S^q \rightarrow S^m$ существует паутина. Если $m > 2p + q + 2$, то для любой почти конкордантности между почти вложениями $f_1, f_2 : S^p \times S^q \rightarrow S^m$ существует паутина, продолжающая данные паутины почти вложений f_1 и f_2 .

ДОКАЗАТЕЛЬСТВО. [21] Расслоение $N(f|_{S^p \times *}; S^m)$ стабильно тривиально и $m - p - q \geq p$, следовательно, это расслоение тривиально. Возьмем $(m - p - q)$ -оснащение ξ этого расслоения.

Рассмотрим сечение, образованное первыми векторами оснащения ξ . Так как $m \geq 2p + q + 2 \geq 2p + 2$, то вложение $f|_{S^p \times *}$ незаузлено в S^m . Таким

образом, существует вложение $\bar{f} : D^{p+1} \subset S^m$, удовлетворяющее условию (i) из определения паутины. Так как $m \geq 2p + q + 2$, то по общему положению мы можем добиться также выполнения условия (ii).

Выбрасывая первый вектор из оснащения ξ , мы получаем некоторое $(m - p - q - 1)$ -оснащение ξ_1 края $\bar{f}(\partial D^{p+1})$, ортогональное диску $\bar{f}(D^{p+1})$. Обозначим через η очевидное нормальное q -оснащение сферы $f(S^p \times *)$ в торе $f(S^p \times S^q)$. Тогда (ξ_1, η) будет $(m - p - 1)$ -оснащением края $\bar{f}(\partial D^{p+1})$, ортогональным диску $\bar{f}(D^{p+1})$. Так как $p < m - p - q - 1$, то отображение $\pi_p(SO_{m-p-q-1}) \rightarrow \pi_p(SO_{m-p-1})$ сюръективно. Следовательно, мы можем изменить оснащение ξ_1 (и вместе с ним оснащение ξ) так, чтобы оснащение (ξ_1, η) продолжалось до оснащения всего диска $\bar{f}(D^{p+1})$. Ясно, что полученное оснащение будет удовлетворять условию (iii).

Второе утверждение предложения доказывается аналогично, см. детали в [21; Доказательство леммы о стандартизации 2.1 в §3].

Следующее определение эквивалентно приведенному в [21].

ОПРЕДЕЛЕНИЕ 11 ПАРАМЕТРИЧЕСКОЙ СВЯЗНОЙ СУММЫ. (см. рисунок 5) Пусть $f_1, f_2 : S^p \times S^q \rightarrow S^m$ — пара почти вложений. Не теряя общности, можно считать, что $\text{Im } f_1 \subset D_+^m$, $\text{Im } f_2 \subset D_-^m$. Возьмем паутины $D^{p+1} \subset D_+^m$ и $\bar{D}^{p+1} \subset D_-^m$ этих почти вложений. Соединим центры паутин D^{p+1} и \bar{D}^{p+1} путем I в S^m . По общему положению путь I пересекает $\text{Im } f_1 \cup \text{Im } f_2 \cup D^{p+1} \cup \bar{D}^{p+1}$ только по своей границе ∂I . Пусть \bar{D}^m — объединение небольших трубчатых окрестностей многообразий D^{p+1} , I и \bar{D}^{p+1} в S^m . Ясно, что пересечение $(\text{Im } f_1 \cup \text{Im } f_2) \cap \bar{D}^m$ стандартно. *Параметрической связной суммой* почти вложений f_1 и f_2 мы назовем почти вложение $f_1 + f_2 : S^p \times S^q \rightarrow S^m$, полученное с помощью S^p -параметрической связной суммы почти вложений f_1 и f_2 внутри шара \bar{D}^m .

ОПРЕДЕЛЕНИЕ 12 ПРОТИВОПОЛОЖНОГО ЭЛЕМЕНТА. Пусть $f : S^p \times S^q \rightarrow S^m$ — почти вложение. *Противоположным элементом* для f мы называем почти вложение, заданное формулой $(-f)(x, y) = \sigma_m f(x, \sigma_q y)$, где σ_k — симметрия сферы S^k относительно гиперплоскости $x_1 = 0$.

ОПРЕДЕЛЕНИЕ 13 НЕЙТРАЛЬНОГО ЭЛЕМЕНТА. *Нейтральным элементом* мы назовем *стандартное вложение* $S^q \times S^p \rightarrow D^{q+1} \times D^{p+1} \cong D^{p+q+2} \subset D^m \subset S^m$.

Следующий важный результат доказывается прямой проверкой (см. детали доказательства в [21]).

ТЕОРЕМА 5.4 О ГРУППОВОЙ СТРУКТУРЕ. [21] Пусть $m > 2p + q + 2$. Тогда приведенное выше построение корректно определяет структуру коммутативной группы на множестве почти вложений $S^p \times S^q \rightarrow S^m$ с точностью до почти конкордантности.

Аналоги этой теоремы для собственных почти вложений и гладких вложений также справедливы и доказываются аналогично.

ПРЕДЛОЖЕНИЕ 5.5. При $m > 2p + q + 2$ относительный β -инвариант $\beta : \bar{E}^m(S^p \times D^q, S^p \times S^{q-1}) \rightarrow \Omega_{p,q}^m$ является гомоморфизмом.

ДОКАЗАТЕЛЬСТВО. Рассмотрим тройку собственных почти вложений f_1, f_2 и $f_3 = f_1 + f_2$, где “+” обозначает S^p -параметрическую связную сумму относительно края. Легко видеть, что с точностью до гомотопии $\tilde{f}_3 = \tilde{f}_1 \vee \tilde{f}_2$ и $\tilde{f}_3 = \tilde{f}_1 \natural \tilde{f}_2$, где “ \natural ” обозначает связную сумму относительно края. Значит, $\beta(f_3) = \beta(f_1) \sqcup \beta(f_2)$, и, следовательно, $\beta(f_1 + f_2) = \beta(f_1) + \beta(f_2)$.

Теперь мы собираемся доказать, что действие группы вложений $S^{p+q} \rightarrow S^m$ на множестве вложений $S^p \times S^q \rightarrow S^m$ инъективно.

Введем обозначения:

- (а) $E^m(S^{p+q})$ — группа всех вложений $S^{p+q} \rightarrow S^m$ с точностью до конкордантности;
- (б) $E^m(S^p \times S^q)$ — группа всех вложений $S^p \times S^q \rightarrow S^m$ с точностью до конкордантности; структура группы задается операцией параметрической связной суммы.
- (в) $\kappa^* : E^m(S^{p+q}) \rightarrow E^m(S^p \times S^q)$ — отображение, сопоставляющее вложению $g : S^{p+q} \rightarrow S^m$ связную сумму этого вложения g и стандартного вложения $S^p \times S^q \rightarrow S^m$. (Связное суммирование производится вдоль некоторого пути I , соединяющего образы этих вложений; предполагается, что образы разделены гиперплоскостью).

ПРЕДЛОЖЕНИЕ 5.6. *Отображение $\kappa^* : E^m(S^{p+q}) \rightarrow E^m(S^p \times S^q)$ инъективно при $m > 2p + q + 2$.*

Данное предложение немедленно влечет случай “ $p + q + 1$ делится на 4” в теореме 1.2, согласно теореме 1.1 из §1.

ДОКАЗАТЕЛЬСТВО ПРЕДЛОЖЕНИЯ 5.6. Достаточно построить левое обратное $\bar{\kappa}^* : E^m(S^p \times S^q) \rightarrow E^m(S^{p+q})$ для отображения κ^* .

Отображение $\bar{\kappa}^* : E^m(S^p \times S^q) \rightarrow E^m(S^{p+q})$ определяется следующим образом. Возьмем вложение $f : S^p \times S^q \rightarrow S^m$. Согласно предложению 5.3 у него есть паутина D^{p+1} . Произведем вложенную хирургию многообразия $S^p \times S^q$ вдоль оснащенного диска D^{p+1} . Пусть $\bar{\kappa}^*(f)$ — изотопический класс вложения $S^{p+q} \rightarrow S^m$, полученного с помощью этой хирургии.

Элемент $\bar{\kappa}^*(f)$ корректно определен согласно второму утверждению предложения 5.3. Мы имеем $\bar{\kappa}^* \kappa^* = id$, потому что $\bar{\kappa}^* \kappa^*(f) = \bar{\kappa}^*(f \# s) = f \# \bar{\kappa}^*(s) = f \# 0 = f$ для любого $f \in E^m(S^{p+q})$.

ПРЕДЛОЖЕНИЕ 5.7. (а) *Для каждого $m > 2p + q + 2$ все собственные вложения $S^p \times D^q \rightarrow D^m$ собственнo конкордантны друг другу.*

(б) [21; критерий тривиальности] *При $m > 2p + q + 2$ вложение $S^p \times S^{q-1} \rightarrow S^{m-1}$ конкордантно стандартному вложению, если и только если оно продолжается до собственного вложения $S^p \times D^q \rightarrow D^m$.*

ДОКАЗАТЕЛЬСТВО. (а) Возьмем собственное вложение $f : S^p \times D^q \rightarrow D^m$. Аналогично предложению 5.3 можно показать, что у него есть паутина D^{p+1} . Пусть \bar{D}^m — трубчатая окрестность паутины D^{p+1} . Ясно, что ограничение $f : f^{-1}\bar{D}^m \rightarrow \bar{D}^m$ конкордантно стандартному вложению $S^p \times D^q \rightarrow D^m$. Остается доказать, что f конкордантно этому ограничению. Пусть $c : S^p \times D^q \times I \rightarrow D^m \times I$ — неподвижная конкордантность, совпадающая с вложением $f : S^p \times D^q \rightarrow D^m$ при каждом $t \in I$. Пусть $h_m : D^m \times I \rightarrow D^m \times I$ —

диффеоморфизм, неподвижный на $D^m \times 0$ и переводящий $\bar{D}^m \times 1$ в $D^m \times 1$. Пусть $h_{p+q} : S^p \times D^q \times I \rightarrow S^p \times D^q \times I$ — диффеоморфизм, неподвижный на $S^p \times S^q \times 0$ и переводящий $S^p \times D^q \times 1$ в $f^{-1}\bar{D}^m$. Тогда композиция $h_m c h_{p+q}$ является собственной конкордантностью между $f : S^p \times D^q \rightarrow D^m$ и ограничением $f : f^{-1}\bar{D}^m \rightarrow \bar{D}^m$.

(b) следует непосредственно из (a).

Аналог данного предложения для собственных почти вложений также справедлив, с той разницей, что для этого шар B^{p+q} в определении собственного почти вложения нужно заменить на шар $\bar{B}^{p+q} \subset S^p \times D^q$, пересекающий край по своей грани. *Грань* шара \bar{B}^{p+q} — это шар, содержащийся в $\partial\bar{B}^{p+q}$.

ДОКАЗАТЕЛЬСТВО ЛЕММЫ 5.2. (сравни с [10; доказательство теоремы 3.1])

(1) *Построение гомоморфизмов.* Пусть e — очевидное отображение. Пусть p — отображение ограничения на край. Гомоморфизм h — это “гомоморфизм вырезания”, определяемый следующим образом. Возьмем почти вложение $f : S^p \times S^q \rightarrow S^m$. Согласно предложению 5.3 у него есть паутина $D^{p+1} \subset S^m$. Пусть \bar{D}^m — трубчатая окрестность паутины D^{p+1} . Положим $h(f)$ равным ограничению $f : (S^p \times S^q - f^{-1} \text{Int } \bar{D}^m) \rightarrow S^m - \text{Int } \bar{D}^m$.

(2) *Точность в члене $E^m(S^p \times S^q)/E^m(S^{p+q})$.* Аналогично предложению 5.7 (b) можно показать, что вложение $f : S^p \times S^q \rightarrow S^m$ продолжается до собственного почти вложения $S^p \times D^{q+1} \rightarrow D^{m+1}$, если и только если $f : S^p \times S^q \rightarrow S^m$ почти конкордантно стандартному вложению. Это означает, что наша последовательность точна в члене $E^m(S^p \times S^q)/E^m(S^{p+q})$.

(3) *Точность в члене $\bar{E}^m(S^p \times D^q, S^p \times S^{q-1})$.* Включение $\text{Im } h \subset \ker p$ следует из предложения 5.7 (b). Чтобы доказать $\ker p \subset \text{Im } h$, возьмем собственное почти вложение $f : S^p \times D^q \rightarrow D^m$, такое что $p(f) = 0$. Пусть $f|_{\partial} : S^p \times \partial D^q \rightarrow \partial D^m$ — ограничение отображения f на край. По определению, существует гладкое вложение $g : S^{p+q-1} \rightarrow S^{m-1}$, такое что связная сумма $f|_{\partial} + g$ конкордантна стандартному вложению. Продолжим $g : S^{p+q-1} \rightarrow S^{m-1}$ до собственного почти вложения $g' : D^{p+q} \rightarrow D^m$. Пусть $f + g'$ — связная сумма f и g' относительно края. По предложению 5.7 (b) отображение $f + g' : S^p \times D^q \rightarrow D^m$ продолжается до почти вложения $f' : S^p \times S^q \rightarrow S^m$. Таким образом, $f = h(f')$.

(4) *Точность в члене $\bar{E}^m(S^p \times S^q)$.* Включение $\text{Im } e \subset \ker h$ следует из предложения 5.7 (a). Чтобы доказать $\ker h \subset \text{Im } e$, возьмем почти вложение $f : S^p \times S^q \rightarrow S^m$, такое что $h(f) = 0$. Тогда существует собственная почти конкордантность c между $h(f)$ и связной суммой стандартного вложения $S^p \times D^q \rightarrow D^m$ с некоторым собственным почти вложением $g : D^{p+q} \rightarrow D^m$. Так как ограничение почти конкордантности c на край является гладкой конкордантностью, то по предложению 5.6 ограничение почти вложения g на край незаузленно. Значит, можно считать, что g — гладкое вложение. По теореме о продолжении конкордантности ограничение конкордантности c на край продолжается до объемлемой конкордантности шара $S^m - D^m$. Тем самым c может быть продолжена до почти конкордантности почти вложения f без добавления новых самопересечений. Последняя почти конкордантность является почти конкордантностью между почти вложением f и некоторым вложением $f' : S^p \times S^q \rightarrow S^m$. Следовательно, $f = e(f')$.

Доказательство теоремы 2.1 завершено.

§ 6. Критерий конечности

В данном разделе мы выводим теорему 1.2 из теоремы 2.1. Для этого нам потребуется классификация почти вложений $S^p \times S^q \rightarrow S^m$. Суммируем данную классификацию и полученные выше результаты в следующей теореме.

Пусть $E^m(D^p \times S^q)$ обозначает группу гладких вложений $D^p \times S^q \rightarrow S^m$ с точностью до конкордантности; структура группы задается операцией D^p -параметрической связной суммы.

ТЕОРЕМА 6.1. *При $m > p + \frac{4}{3}q + 2$ и $m > 2p + q + 2$ существуют следующие точные последовательности*

$$\begin{aligned}
 (1) \quad & 0 \rightarrow E^m(S^{p+q}) \rightarrow E^m(S^p \times S^q) \rightarrow \frac{E^m(S^p \times S^q)}{E^m(S^{p+q})} \\
 (2) \quad & \overline{E}^{m+1}(S^p \times S^{q+1}) \rightarrow \Omega_{p,q+1}^{m+1} \rightarrow \frac{E^m(S^p \times S^q)}{E^m(S^{p+q})} \rightarrow \overline{E}^m(S^p \times S^q) \\
 (3) \quad & E^{m+1}(D^p \times S^{q+1}) \rightarrow \pi_{p+q}(S^{m-q-1}) \rightarrow \overline{E}^m(S^p \times S^q) \rightarrow E^m(D^p \times S^q) \\
 (4) \quad & E^{m+1}(S^{q+1}) \rightarrow \pi_q(V_{m-q,p}) \rightarrow E^m(D^p \times S^q) \rightarrow E^m(S^q).
 \end{aligned}$$

Группы во втором столбце теоремы 6.1 известны рационально:

ТЕОРЕМА 6.2. *Пусть $p + \frac{4}{3}q + 2 \leq m < p + \frac{3}{2}q + 2$, $m > 2p + q + 2$ и $m > n + 2$. Тогда*

- (1) $E^m(S^n)$ бесконечна, если и только если $m \leq \frac{3}{2}n + \frac{3}{2}$ и $n + 1$ делится на 4.
- (2) $\Omega_{p,q+1}^{m+1}$ бесконечна, если и только если $m = p + \frac{3}{2}q + \frac{3}{2}$ и $q + 1$ делится на 4.
- (3) $\pi_{p+q}(S^{m-q-1})$ бесконечна, если и только если $m = \frac{1}{2}p + \frac{3}{2}q + \frac{3}{2}$ и $p + q + 1$ делится на 4.
- (4) $\pi_q(V_{m-q,p})$ бесконечна, если и только если $p \geq 1$, $\frac{3}{2}q + \frac{3}{2} \leq m \leq p + \frac{3}{2}q + \frac{1}{2}$ и $q + 1$ делится на 4.

План наших дальнейших рассуждений таков. Сначала мы докажем теорему 1.2, считая теоремы 6.1 и 6.2 доказанными. Потом мы докажем сами теоремы 6.1 и 6.2, опираясь на некоторые известные результаты.

ДОКАЗАТЕЛЬСТВО ТЕОРЕМЫ 1.2, ИСХОДЯ ИЗ ТЕОРЕМ 6.1 И 6.2. (1) *Случай, когда $q + 1, p + q + 1$ не делятся на 4.* Напомним, что если $X \rightarrow Y \rightarrow Z$ — точная последовательность с конечными группами X и Z , то группа Y также конечна. Применим это наблюдение 4 раза к последним 3 столбцам таблицы в теореме 6.1, начиная снизу. Мы получаем требуемый результат, так как по теореме 6.2 группы во втором столбце теоремы 6.1 конечны, когда $q + 1, p + q + 1$ не делятся на 4.

(2) *Случай, когда $p + q + 1$ делится на 4.* По теореме 6.1 (1) и 6.2 (1) непосредственно получаем, что группа $E^m(S^p \times S^q)$ в этом случае бесконечна.

(3) *Случай, когда $q + 1$ делится на 4, $m \leq \frac{3}{2}q + \frac{3}{2}$.* По теореме 6.2 (1) группа $E^m(S^q)$ в этом случае бесконечна. Возьмем ее элемент x бесконечного порядка. Препятствие к существованию $(p + 1)$ -оснащения вложения $x : S^q \rightarrow S^m$ лежит в группе $\pi_{q-1}(V_{m-q,p+1})$. По теореме 6.2 (4) эта группа в нашем случае конечна. Значит, для некоторого целого положительного числа N вложение

Nx продолжается до гладкого вложения $H : S^p \times S^q \rightarrow S^m$. Так как ограничение этого вложения на сферу $* \times S^q$ имеет бесконечный порядок, то и само вложение H имеет бесконечный порядок.

(4) *Случай, когда $q + 1$ делится на 4, $\frac{3}{2}q + \frac{3}{2} < m \leq p + \frac{3}{2}q + \frac{1}{2}$, $p \geq 1$.* Достаточно построить вложение $T : S^p \times S^q \rightarrow S^m$, имеющее бесконечный порядок в группе $E^m(S^p \times S^q)$.

Построение вложения T . По теореме 6.2 (4) группа $\pi_q(V_{m-q,p})$ в этом случае бесконечна. Возьмем элемент x бесконечного порядка в этой группе. Рассмотрим отображение $\tau : \pi_q(V_{m-q,p}) \rightarrow E^m(D^p \times S^q)$ из теоремы 6.1 (4). Это отображение переводит элемент x в каноническое p -оснащение $D^p \times S^q \rightarrow S^m$ стандартной сферы $S^q \subset S^m$. Полное препятствие к продолжению этого p -оснащения до $(p + 1)$ -оснащения лежит в группе $\pi_{q-1}(S^{m-p-q-1})$. Последняя группа конечна в нашем случае. Значит, для некоторого целого положительного числа N элемент $N\tau x$ продолжается до искомого гладкого вложения $T : S^p \times S^q \rightarrow S^m$.

Доказательство того, что вложение T имеет бесконечный порядок. Достаточно доказать, что элемент $\tau(x) \in E^m(D^p \times S^q)$, который является ограничением вложения T на $D^p \times S^q$, имеет бесконечный порядок. Предположим противное. Тогда $N\tau(x) = 0$ для некоторого целого положительного числа N . Значит, по теореме 6.1 (4) Nx принадлежит образу отображения $E^{m+1}(S^{q+1}) \rightarrow \pi_q(V_{m-q,p})$. Но группа $E^{m+1}(S^{q+1})$ в нашем случае конечна. Значит, x имеет конечный порядок, вопреки нашему выбору. Данное противоречие показывает, что T имеет бесконечный порядок.

(5) *Случай, когда $q + 1$ делится на 4, $m = p + \frac{3}{2}q + \frac{3}{2}$.*

Построение вложения W . По теореме 6.2 (2) группа $\Omega_{p,q+1}^{m+1}$ в этом случае бесконечна. Возьмем в ней элемент x бесконечного порядка. Пусть $W : S^p \times S^q \rightarrow S^m$ — вложение, реализующее образ x при отображении $\Omega_{p,q+1}^{m+1} \rightarrow E^m(S^p \times S^q)/E^m(S^{p+q})$ из теоремы 6.1 (2).

Доказательство того, что W имеет бесконечный порядок. Рассмотрим точную последовательность (2) из теоремы 6.1. Достаточно доказать, что $\overline{E}^{m+1}(S^p \times S^{q+1})$ конечна в нашем случае. Так как $q + 1$ делится на 4, то по теореме 6.2 группы $\pi_{q+1}(V_{m-q,p})$ и $E^{m+1}(S^{q+1})$ конечны. Как показывает несложное вычисление, $\pi_{p+q+1}(S^{m-q-1})$ также конечна в нашем случае. По теореме 6.1 (3)–(4) получаем, что $\overline{E}^{m+1}(S^p \times S^{q+1})$ конечна.

В оставшейся части раздела мы докажем теоремы 6.1 и 6.2.

Утверждения (1) и (2) теоремы 6.1 являются переформулировками предложений 5.6 и теоремы 2.1, которые были доказаны в §5. Теорема 6.1 (4) доказывается непосредственно, аналогично [4; следствие 5.9]. Для удобства читателя мы приводим набросок доказательства ниже. Теорема 6.1 (3) доказана ранее в [21; лемма об ограничении 5.2] при $p \geq 1$, $m > 2p + q + 2$ и $m \geq \frac{1}{2}p + \frac{3}{2}q + 2$. Дополнительное ограничение $m \geq \frac{1}{2}p + \frac{3}{2}q + 2$ в доказательстве этого утверждения в [21] не используется. Мы приводим набросок альтернативного доказательства для удобства читателя.

ДОКАЗАТЕЛЬСТВО УТВЕРЖДЕНИЯ (3) В ТЕОРЕМЕ 6.1 (НАБРОСОК). (а) *Определение групп $\dot{E}^m(S^p \times S^q)$ и $\dot{E}^m(S^p \times D^q, S^p \times S^{q-1})$.* Отображение $f : S^p \times S^q \rightarrow$

S^m , назовем *слабым почти вложением*, если оно является вложением вне фиксированного шара $B^{p+q} \subset S^p \times S^q$ (пересечению $fB^{p+q} \cap f(S^p \times S^q - B^{p+q})$ разрешается быть непустым). *Слабая почти конкордантность* определяется аналогично. Обозначим $\tilde{E}^m(S^p \times S^q)$ группу слабых почти вложений с точностью до слабой почти конкордантности. отождествим группы $\tilde{E}^m(S^p \times S^q)$ и $E^m(D^p \times S^q)$. Ясно, что эти группы изоморфны при $m > 2p + q + 2$.

Зафиксируем шар $\bar{B}^{p+q} \subset (S^p - *) \times D^q$, пересекающий край по своей грани. Собственное отображение $f : S^p \times D^q \rightarrow D^m$ назовем *слабым собственным почти вложением*, если выполнены следующие два условия:

- (i) f является вложением вне шара \bar{B}^{p+q} ; и
- (ii) $f(S^p \times \partial D^q \cap \bar{B}^{p+q}) \cap f(S^p \times \partial D^q - \bar{B}^{p+q}) = \emptyset$.

Слабая собственная почти конкордантность определяется аналогично. Обозначим через $\tilde{E}^m(S^p \times D^q, S^p \times S^{q-1})$ группу слабых собственных почти вложений с точностью до слабой собственной почти конкордантности.

- (б) При каждом $m > 2p + q + 2$ существуют точная последовательность:

$$\overline{E}^m(S^p \times S^q) \xrightarrow{e} \tilde{E}^m(S^p \times S^q) \xrightarrow{h} \tilde{E}^m(S^p \times D^q, S^p \times S^{q-1}) \xrightarrow{p} \overline{E}^{m-1}(S^p \times S^{q-1}) \rightarrow \dots$$

Здесь e , h и p — очевидно определяемые гомоморфизмы забывания, вырезания и ограничения, соответственно. Данное утверждение доказывается полностью аналогично лемме 5.2.

(с) *Определение гомоморфизма* $\lambda : \tilde{E}^m(S^p \times D^q, S^p \times S^{q-1}) \rightarrow \pi_{p+q-1}(S^{m-q-1})$. Возьмем слабое собственное почти вложение $f : S^p \times D^q \rightarrow D^m$. По определению получаем $f\partial\bar{B}^{p+q} \cap f(* \times D^q) = \emptyset$. Заметим, что $D^m - f(* \times D^q) \simeq S^{m-q-1}$. Положим $\lambda(f)$ равным гомотопическому классу ограничения $f : \partial\bar{B}^{p+q} \rightarrow D^m - f(* \times D^q)$.

(д) λ *инъективно*. Возьмем слабое собственное почти вложение $f : S^p \times D^q \rightarrow D^m$, такое что $\lambda(f) = 0$. Тогда $f|_{\partial\bar{B}^{p+q}}$ продолжается до отображения $g : \bar{B}^{p+q} \rightarrow D^m$, не пересекающего $f(* \times D^q)$. Так как $f|_{S^p \times D^q - \bar{B}^{p+q}}$ — вложение, то пересечение $g\bar{B}^{p+q}$ с $f(S^p \times D^q - \bar{B}^{p+q})$ может быть устранено с помощью подходящей гомотопии относительно края. Значит, мы можем считать, что g не пересекает $f(S^p \times D^q - \bar{B}^{p+q})$. Произведем слабую собственную почти конкордантность, заменяющую $f|_{\bar{B}^{p+q}}$ на g . Аналогично предложению 5.7 (а) можно показать, что полученное отображение слабо собственное почти конкордантно стандартному вложению $S^p \times D^q \rightarrow D^m$.

(е) λ *сюръективно*. Возьмем элемент $x \in \pi_{p+q-1}(S^{m-q-1})$. Возьмем стандартное вложение $f : S^p \times D^q \rightarrow D^m$. Реализуем элемент x отображением $g : S^{p+q-1} \rightarrow \partial D^m - f(* \times D^q)$. Так как $f|_{S^p \times D^q - \bar{B}^{p+q}}$ — вложение, то пересечение $g\bar{B}^{p+q}$ с $f(S^p \times D^q - \bar{B}^{p+q})$ может быть устранено с помощью подходящей гомотопии относительно края. Таким образом, мы можем считать, что g не пересекает $f(S^p \times D^q - \bar{B}^{p+q})$. Продолжим отображение $g : S^{p+q-1} \rightarrow \partial D^m$ до собственного отображения $g' : D^{p+q} \rightarrow D^m$. Пусть μ_x — связная сумма (относительно края) отображений g' и f . Ясно, что $\lambda(\mu_x) = x$. Это заканчивает доказательство утверждения (3).

ДОКАЗАТЕЛЬСТВО УТВЕРЖДЕНИЯ (4) В ТЕОРЕМЕ 6.1 (НАБРОСОК). (а) *Определение гомоморфизмов.* Отображение $i^* : E^m(D^p \times S^q) \rightarrow E^m(S^q)$ индуцировано ограничением. Здесь произведение $0 \times S^q$ отождествлено с S^q очевидным способом.

Отображение $Ob : E^m(S^q) \rightarrow \pi_{q-1}(V_{m-q,p})$ — это полное препятствие к существованию p -оснащения вложения $S^q \rightarrow S^m$. Напомним определение этого препятствия. Возьмем вложение $f : S^q \rightarrow S^m$. Возьмем (единственное с точностью до гомотопии) p -оснащение диска fD_-^q . Возьмем (единственное с точностью до гомотопии) $(m-q)$ -оснащение диска fD_+^q . Тогда сфера fS^{q-1} будет снабжена как p -оснащением, так и $(m-q)$ -оснащением. Отождествим каждый слой ограничения нормального расслоения к fS^q на сферу fS^{q-1} с пространством \mathbb{R}^{m-q} , пользуясь данным $(m-q)$ -оснащением. Тем самым p -оснащение определит некоторое отображение $S^{q-1} \rightarrow V_{m-q,p}$. Гомотопический класс этого отображения и будет искомым препятствием $Ob(f)$.

Отображение $\tau : \pi_q(V_{m-q,p}) \rightarrow E^m(D^p \times S^q)$ определяется следующим образом. Реализуем $f \in \pi_q(V_{m-q,p})$ как гладкое отображение $f : D^p \times S^q \rightarrow D^{m-q}$, линейное на каждом слое $D^p \times *$. Определим $\tau(f)$ как композицию $D^p \times S^q \rightarrow D^{m-q} \times S^q \rightarrow S^m$ вложения $f \times \text{rg}_2$ и стандартного вложения s .

(b) *Точность в членах $E^m(D^p \times S^q)$ и $E^m(S^q)$* проверяется непосредственно.

(c) *Точность в члене $\pi_q(V_{m-q,p})$.* Пусть $f : S^{q+1} \rightarrow S^{m+1}$ — вложение. Тогда f изотопно стандартизованному вложению $f' : S^{q+1} \rightarrow S^m$, то есть такому вложению, что

- $f' : D_-^{q+1} \rightarrow D_-^{m+1}$ является ограничением стандартного вложения $S^{q+1} \rightarrow S^{m+1}$;
- $f'(D^{q+1})_+ \subset D_+^{m+1}$.

Возьмем p -оснащение диска $f'(D^{q+1})$. Ясно, что вложение $\tau Ob f' : D^p \times S^q \rightarrow S^m$ продолжается до вложения $D^p \times D^{q+1} \rightarrow D^{m+1}$, заданного p -оснащением. Поэтому $\tau Ob f'$ изотопно стандартному вложению $D^p \times S^q \rightarrow S^m$. Таким образом, $\text{Im } \tau \subset \ker Ob$. Аналогично, $\text{Im } \tau \supset \ker Ob$.

Теорема 6.2 легко сводится к известным результатам. Утверждение (1) доказано в [4; следствие 6.7]. Утверждение (3) следует из теоремы Серра.

ДОКАЗАТЕЛЬСТВО УТВЕРЖДЕНИЯ (4) В ТЕОРЕМЕ 6.2. Из предположений $m > 2p + q + 2$ и $m < p + \frac{3}{2}q + 2$ следует, что $m \leq 2q$. Докажем требуемое утверждение, в котором данная пара ограничений заменена на единственное ограничение $m \leq 2q$, индукцией по p .

(а) *Случай, когда $q + 1$ не делится на 4.* Так как $m \leq 2q$, то группа $\pi_q(V_{m-q,1}) \cong \pi_q(S^{m-q-1})$ конечна. Пользуясь точной гомотопической последовательностью расслоения “ограничения” $S^{m-p-q} \rightarrow V_{m-q,p} \rightarrow V_{m-q,p-1}$, тензорно помноженной на \mathbb{Q} , мы получаем по индукции, что группа $\pi_q(V_{m-q,p})$ конечна.

(b) *Случай, когда $q + 1$ делится на 4 и выполнено одно из двух условий: $m < \frac{3}{2}q + \frac{3}{2}$ или $m > p + \frac{3}{2}q + \frac{1}{2}$.* В этом случае группы $\pi_q(S^{m-q-i})$ по-прежнему конечны для каждого $i = 1, 2, \dots, p$. Аналогично предыдущему мы получаем, что группа $\pi_q(V_{m-q,p})$ конечна.

(с) *Случай*, когда $q + 1$ делится на 4 и $\frac{3}{2}q + \frac{3}{2} \leq m \leq p + \frac{3}{2}q + \frac{1}{2}$. Возьмем такое число i , что $m = i + \frac{3}{2}q + \frac{1}{2}$. Рассмотрим указанную выше точную гомотопическую последовательность при $p = i$. Аналогично предыдущему можно показать, что если $q + 1$ делится на 4 и $m \leq 2q$, то группа $\pi_{q+1}(V_{m-q, i-1})$ конечна. Таким образом, группа $\pi_q(V_{m-q, i})$ бесконечна. По индукции получаем, что группа $\pi_q(V_{m-q, p})$ также бесконечна.

ДОКАЗАТЕЛЬСТВО УТВЕРЖДЕНИЯ (2) в ТЕОРЕМЕ 6.2. Будем использовать обозначения $s = 2p + 3q - 2m + 2$ и $l = m - p - q - 1$. Тогда рассматриваемая группа будет изоморфна $\pi_{s+l+1}(V_{M+l, M})$. Наше ограничение $p + \frac{4}{3}q + 2 \leq m < p + \frac{3}{2}q + 2$ эквивалентно ограничению $-1 \leq s \leq l - 3$.

(а) *Случай* $s = -1$. Согласно таблицам в [27] группа $\pi_l(V_{M+l, M})$ бесконечна, если и только если l делится на 2. Вместе с условием $s = -1$ это эквивалентно условиям $m = p + \frac{3}{2}q + \frac{3}{2}$, $q + 1$ делится на 4.

(б) *Случай* $0 \leq s \leq l - 3$. Докажем индукцией по s , что группа $\pi_{s+l+1}(V_{M+l, M})$ конечна. База $s = 0$ следует из таблиц в [27]. При $s > 0$ рассмотрим точную гомотопическую последовательность расслоения “ограничения” $S^l \rightarrow V_{M+l, M} \rightarrow V_{M+l, M-1}$, тензорно помноженную на \mathbb{Q} . В этой последовательности $\pi_{s+l+1}(S^l)$ конечна, потому что $0 \leq s \leq l - 3$. Согласно предположению индукции, группа $\pi_{s+l+1}(V_{M+l, M-1}) \cong \pi_{(s-1)+(l+1)+1}(V_{M+l+1, M})$ конечна. Следовательно, и группа $\pi_{s+l+1}(V_{M+l, M})$ конечна.

ЗАМЕЧАНИЕ 2. Аналогично, используя расслоение $SO_{m-q-p-1} \rightarrow SO_{m-q} \rightarrow \pi_q(V_{m-q, p+1})$, можно доказать следующее утверждение: *предположим, что $m \geq p + \frac{3}{2}q + 2$; тогда группа $\pi_q(V_{m-q, p+1})$ бесконечна, если и только если либо $m = 2q + 1$, q нечетно, либо $m = p + 2q + 1$, q четно [24].*

Доказательство теоремы 1.2 завершено.

§ 7. Заключительные замечания

Приведем пример, показывающий, что теорема 2.1 и лемма 4.2 о дополнении не могут быть доказаны с помощью стандартного трюка Уитни или подхода статьи [34].

ПРИМЕР 3. Найдутся такие p , q и m , удовлетворяющие неравенствам из условия теоремы 2.1, и такое собственное почти вложение $f : S^p \times D^q \rightarrow D^m$, что $\beta(f) = 0$, но у f нет паутин. В частности, изоморфизм из леммы 4.2 о дополнении не выполнен при $f' = f$.

ДОКАЗАТЕЛЬСТВО. Положим $m = p + \frac{3}{2}q + \frac{3}{2}$, и выберем p, q так, что число $l = m - p - q - 1$ нечетно. Возьмем собственное почти вложение $f : S^p \times D^q \rightarrow D^m$ общего положения, такое что многообразие Δ связно и многообразие $\tilde{\Delta}$ несвязно (например, начнем со стандартного вложения и сделаем пальцевое движение Уитни). Наше доказательство леммы 4.2 о дополнении в §4 фактически показывает, что $\pi_q(D^m - \text{Im } F, \partial) \cong \Omega_s(\Delta; l\lambda_\Delta)$. Последняя группа изоморфна \mathbb{Z} при $s = 0$ и l нечетном [29; конец §4]. С другой стороны, $\Omega_0(P^\infty; l\lambda) = \mathbb{Z}_2$. Значит, отображение $\beta(f, \cdot) : \mathbb{Z} \rightarrow \mathbb{Z}_2$ не инъективно.

Значит, существует собственное отображение $g : D^q \rightarrow D^m - \text{Im } f$, такое что $\beta(f, g) = 0$, но g не (собственно) гомотопно постоянному отображению. Выполним построение шагов (2) и (3) доказательства теоремы 5.1 из §5. Мы получим новое собственное почти вложение f , такое что по-прежнему $\beta(f) = 0$. С другой стороны, отображение $g : D^q \rightarrow D^m - \text{Im } f$ близко к $f|_{*\times D^q}$, но не гомотопно постоянному отображению. Значит, у f нет паутины.

7.1. Открытые вопросы. Есть несколько направлений для дальнейшего изучения заузленных торов:

- (i) *Явные классификационные результаты.* Сколько вложений $S^1 \times S^5 \rightarrow S^{10}$ существует с точностью до изотопии?
- (ii) *Ослабление размерностных ограничений.* Можно ли отбросить ограничения $m > 2p + q + 2$ или $m > p + \frac{4}{3}q + 2$ в теореме 1.2? (сравни с [4])
- (iii) *Произвольные многообразия.* Было бы интересно обобщить β -инвариант и теорему 2.1 на вложения произвольных многообразий [1, 21].
- (iv) *Рациональная классификация вложений.* Для данного многообразия N и числа m определить, является ли множество вложений $N \rightarrow S^m$ с точностью до изотопии конечным.

§ А. Приложение. Хирургия многообразия двойных точек

В данном разделе производится хирургия многообразия двойных точек Δ , делающая классифицирующее отображение $\Delta \rightarrow P^\infty$ накрытия $\tilde{\Delta} \rightarrow \Delta$ достаточно высоко связным. Это необходимо для доказательства леммы 4.2 о дополнении, сформулированной в §4. Наше изложение полностью аналогично [29; приложение А], но производится в большей общности и более подробно.

Пусть $f : D^n \rightarrow M^m$ собственное погружение общего положения, такое что $f|_{\partial D^n} : \partial D^n \rightarrow \partial M^m$ — вложение. Теорема вложения [25], сравни с теоремой 4.3 выше, позволяет устранить самопересечения погружения f с помощью гомотопии $\text{rel } \partial D^n$ при некоторых условиях. В диапазоне размерностей, где теорема вложения не верна, мы предлагаем подход к “упрощению” двойных точек погружения f .

Цель раздела состоит в том, чтобы показать, что классифицирующее отображение $\Delta \rightarrow P^\infty$ можно сделать $(s+1)$ -связным с помощью гомотопии $\text{rel } \partial D^n$ погружения $f : D^n \rightarrow M^m$ при следующих условиях:

- (i) M^m является $(s+1)$ -связным;
- (ii) $2s \leq 2n - m - 2$; и
- (iii) $0 \leq s \leq m - n - 3$.

В этом состоит утверждение теоремы 4.7 о хирургии.

ДОКАЗАТЕЛЬСТВО ТЕОРЕМЫ 4.7 О ХИРУРГИИ. Превращение отображения $\Delta \rightarrow P^\infty$ в $(s+1)$ -связное происходит в 2 этапа:

Шаг 1. Превращение многообразия Δ в связное и отображения $\pi_1(\Delta) \rightarrow \pi_1(P^\infty)$ — в сюръективное (иными словами, многообразия $\tilde{\Delta}$ — в связное).

Шаг 2. Убивание элементов ядра $\ker(\pi_i(\Delta) \rightarrow \pi_i(P^\infty))$ для каждого $i = 1, \dots, s$.

Эти два шага достаточны для доказательства теоремы, потому что отображение $\pi_{i+1}(\Delta) \rightarrow \pi_{i+1}(P^\infty) = 0$ сюръективно для каждого $1 \leq i \leq s$.

В каждом из шагов 1 и 2 мы производим следующий трюк Уитни–Хефлигера, производящий хирургию многообразия Δ . Сначала построим *стандартную модель Хабеггера–Кайзера* для хирургии оснащенной i -мерной сферы, лежащей в двойных точках n -мерного диска, погруженного в S^m .

1.1. Стандартная модель для хирургии. [29] Будем использовать “модельное” многообразие $\mathbb{R}^m = \mathbb{R} \times \mathbb{R}^{i+1} \times \mathbb{R}^{2n-m-i} \times \mathbb{R}^{m-n-1} \times \mathbb{R}^{m-n-1}$ и два вложения, g_+ и g_- , пространства $\mathbb{R}^n = \mathbb{R}^{i+1} \times \mathbb{R}^{2n-m-i} \times \mathbb{R}^{n-m-1}$ в \mathbb{R}^m , пересекающиеся трансверсально по $0 \times S^i \times \mathbb{R}^{2n-m-i} \times 0 \times 0$. Например, можно взять $g_-(x, y, z) = (|x|^2 - 1, x, y, 0, z)$ и $g_+(x, y, z) = (1 - |x|^2, x, y, z, 0)$. Сфера S^i ограничивает шар $D^{i+1} \subset \mathbb{R}^{i+1} \subset \mathbb{R}^n$. Далее, сфера $S^{i+1} = D_+^{i+1} \cup D_-^{i+1}$, где $D_\pm^{i+1} = g_\pm(D^{i+1} \times 0 \times 0)$, ограничивает шар $D^{i+2} \subset \mathbb{R} \times \mathbb{R}^{i+1} \subset \mathbb{R}^m$ с углами вдоль S^i . Движение одной из двух шапочек D_\pm^{i+2} через D^{i+2} производит нужную нам хирургию. Более точно, двойные точки получающейся регулярной гомотопии образуют след нужной хирургии.

Теперь сделаем некоторые приготовления к выполнению хирургии, которые немного отличаются в Шагах 1 и 2.

1.2. Шаг 1: превращение многообразий Δ и $\tilde{\Delta}$ в связные. Если $\Delta = \emptyset$, то мы сначала создаем непустое самопересечение (например, с помощью пальцевого движения Уитни). Пусть $\Delta \neq \emptyset$. Возьмем пару точек $(a, b), (c, d)$, принадлежащих разным компонентам многообразия $\tilde{\Delta}$. Можно считать, что они расположены вне множества тройных точек. Рассмотрим сферы $S^0 = \{\{a, b\}, \{c, d\}\}$, $S_+^0 = \{(a, b), (c, d)\}$, и $S_-^0 = \{(b, a), (d, c)\}$. Пусть η – тривиализация нормального расслоения $N(S^0, \Delta)$. Хирургия по сфере S^0 (см. Завершение доказательства ниже) соединит различные компоненты многообразия $\tilde{\Delta}$, потому что $\dim \Delta = 2n - m \geq 2s + 2 \geq 2$.

1.3. Шаг 2: убивание элементов $\ker(\pi_i(\Delta) \rightarrow \pi_i(P^\infty))$. Пусть отображение $g : S^i \rightarrow \Delta$ представляет элемент ядра $\ker(\pi_i(\Delta) \rightarrow \pi_i(P^\infty))$, где $1 \leq i \leq s$. Так как $2i \leq \dim \Delta - 1$ (потому что $2s \leq 2n - m - 2$), то g можно считать вложением. По общему положению множество тройных точек имеет размерность $\leq 3n - 2m$. Так как $s \leq m - n - 3$, то $i + 3n - 2m \leq \dim \Delta - 1$, так что в общем положении $\text{Im } g$ не содержит тройных точек.

Так как композиция $S^i \rightarrow \Delta \rightarrow P^\infty$ тривиальна, то расслоение $(m - n)\lambda_\Delta|_{S^i}$ тривиально. Значит, расслоение $\eta = N(S^i, \Delta)$ стабильно тривиально, и стало быть, тривиально. Так как сфероид $S^i \rightarrow P^\infty$ тривиален, то сфера S^i тривиально накрывается в $\tilde{\Delta}$. Обозначим S_+^i и S_-^i две копии S^i в $\tilde{\Delta}$.

1.4. Завершение доказательства: хирургия по сфере S^i . Сначала заклеим сферы S_+^i и S_-^i непересекающимися дисками D_+^{i+1} и D_-^{i+1} в шаре D^n . Для этого возьмем некоторую тривиализацию расслоения $N(\tilde{\Delta}, D^n)$ (например, построенную в определении $(m - n)\lambda$ -многообразия двойных точек в §3). Сдвинем сферы S_+^i и S_-^i вдоль первого векторного поля этой тривиализации. Так как $s \leq m - n - 3$ и $2s \leq 2n - m - 1$, то $2s \leq 2n - m - 1$. Следовательно, $i + 1 + \dim \Delta \leq n - 1$ и $2(i + 1) \leq n - 1$. Значит, по соображениям общего положения сдвинутые сферы можно заклеить вложенными дисками в шаре fD^n , не пересекающимися образ $\tilde{i}\tilde{\Delta}$.

Рассмотрим очевидное разложение $N(D_+^{i+1}, D^n) \Big|_{S_+^i} = \eta \oplus \epsilon^{m-n-1}$, где $\eta = N(S^i, \Delta)$. Это разложение задает $(m-n-1)$ -оснащение сферы S_+^i . Мы собираемся продолжить это $(m-n-1)$ -оснащение на диск D_+^{i+1} . Полное препятствие к продолжению лежит в группе $\pi_i(V_{n-i-1, m-n-1})$. Последняя группа тривиальна при условии $2i \leq 2n-m-1$, которое следует из $2s \leq 2n-m-2$. Таким образом, мы получаем разложение $N(D_+^{i+1}, D^n) = \eta_+ \oplus \epsilon^{m-n-1}$, где η_+ — продолжение расслоения η на диск D_+^{i+1} , дополнительное к нашему $(m-n-1)$ -оснащению. Определим расслоение η_- аналогично.

Теперь продолжим вложение сферы $S^{i+1} = D_+^{i+1} \cup D_-^{i+1}$ в S^m до вложения диска D^{i+2} в S^m . Для этого сдвинем полусферы D_+^{i+1} и D_-^{i+1} вдоль первого векторного поля некоторой тривиализации расслоения $N(D^n, S^m)$. В итоге получим вложение воротниковой окрестности сферы S^{i+1} в S^m . Так как $n+s+3 \leq m$ и $s \leq n-1$, то $i+2+n \leq m-1$ и $2(i+2) \leq m-1$. Поэтому по общему положению воротниковая окрестность продолжается до вложенного диска D^{i+2} в S^m , внутренность которого не пересекает fD^n .

Наконец, рассмотрим следующее $(m-n-1)$ -оснащение сферы S^{i+1} . На диске D_+^{i+1} возьмем $(m-n-1)$ -оснащение, дополнительное к η_+ . На диске D_-^{i+1} возьмем $(m-n-1)$ -оснащение, полученное из тривиализации расслоения $N(D^n, S^m)$ отбрасыванием первого векторного поля. По построению эти два оснащения совпадают на S^i . Тем самым $(m-n-1)$ -оснащение сферы S^{i+1} построено. Продолжим его на D^{i+2} . Полное препятствие к этому лежит в группе $\pi_{i+1}(V_{m-i-2, m-n-1})$. Эта группа тривиальна при условии $2i+2 \leq n-1$, которое следует из $3s \leq n-4$. Пусть η' — дополнительное расслоение к полученному $(m-n-1)$ -оснащению диска D^{i+2} . Мы имеем разложение $\eta' = \eta_- \oplus \epsilon^{m-n-1}$ на диске D_-^{i+1} . Продолжая его на диск D^{i+2} , получаем разложение $N(D^{i+2}, S^m) = \eta'' \oplus \epsilon^{m-n-1} \oplus \epsilon^{m-n-1}$ для некоторого расслоения η'' .

Таким образом, наше погружение в окрестности диска D^{i+2} устроено так же, как в стандартной модели (то есть, переводится в стандартную модель подходящим диффеоморфизмом). Мы можем произвести описанную хирургию и убить сфероид $g : S^i \rightarrow \Delta$. Теорема доказана.

1.5. Благодарности. Авторы благодарны А. Б. Скопенкову за постоянное внимание к данной работе, а также П. М. Ахметьеву, У. Кайзеру, У. Кошорке, Г. Лауресу, С. А. Мелихову, А. С. Мищенко, В. М. Нежинскому и Е. В. Щепину за полезные обсуждения.

Список литературы

- [1] D. Repovš and A. Skopenkov, “New results on embeddings of polyhedra and manifolds into Euclidean spaces”, *Uspekhi Mat. Nauk*, **54:6** (1999), 61–109 (in Russian); English transl. *Russ. Math. Surveys*, **54:6** (1999), 1149–1196.
- [2] A. Skopenkov, “Embedding and knotting of higher-dimensional manifolds in Euclidean spaces, in: Surveys in Contemporary Mathematics”, *London Math. Soc. Lect. Notes*, **347** (2007), 248–342, arXiv:math/0604045[math.GT].
- [3] A. Haefliger, “Differentiable links”, *Topology*, **1** (1962), 241–244.
- [4] A. Haefliger, “Differentiable embeddings of S^n in S^{n+q} for $q > 2$ ”, *Ann. Math. (2)*, **83:3** (1966), 402–436.

- [5] A. Haefliger, “Enlacements de spheres en codimension superieure a 2”, *Comment. Math. Helv.*, **41** (1966-67), 51–72 (in French).
- [6] J. F. P. Hudson, “Knotted tori”, *Topology*, **2** (1963), 11-22.
- [7] M. Cencelj and D. Repovš, “On embeddings of tori in Euclidean spaces”, *Acta Math. Sinica (Engl. Ser.)*, **21:2** (2005), 435–438.
- [8] M. Cencelj, D. Repovš and A. Skopenkov, “On the Browder-Levine-Novikov embedding theorems”, *Trudy Math. Inst. Ross. Akad. Nauk*, **247** (2004), 280–290 (in Russian); English transl. *Proc. Steklov Inst. Math.*, **247** (2004), 259–268.
- [9] D. Crowley and A. Skopenkov, “A classification of smooth embeddings of 4-manifolds in 7-space, II”, *Int. J. Math.*, **22:6** (2011), 731–757, arXiv:0808.1795v1 [math.GT].
- [10] M. Skopenkov, “Suspension theorems for links and link maps”, *Proc. Amer. Math. Soc.*, **137:1** (2009), 359–369, arXiv:math/0610320v2[math.GT].
- [11] M. Cencelj, D. Repovš and M. Skopenkov, “Homotopy type of the complement to an immersion and the classification of embeddings of tori”, *Uspekhi Mat. Nauk*, **62:5** (2007), 165–166 (in Russian); English transl. *Russian Math. Surveys*, **62:5** (2007), 985–987, arXiv:0803.4285v1 [math.GT].
- [12] M. Cencelj, D. Repovš and M. Skopenkov, “A new invariant of higher-dimensional embeddings”, preprint, 2008, arXiv:0811.2745v1 [math.GT].
- [13] J. Levine, “A classification of differentiable knots”, *Ann. Math. (2)*, **82** (1965), 15–50.
- [14] A. Skopenkov, “A new invariant and parametric connected sum of embeddings”, *Fund. Math.*, **197** (2007), 253–269, arXiv:math/0509621[math.GT].
- [15] C. Weber, “Plongements de polyèdres dans le domain métastable”, *Comment. Math. Helv.*, **42** (1967), 1–27 (in French).
- [16] R. J. Milgram and E. Rees, “On the normal bundle to an embedding”, *Topology*, **10** (1971), 299-308.
- [17] A. Skopenkov, “On the Haefliger-Hirsh-Wu invariants for embeddings and immersions”, *Comment. Math. Helv.*, **77** (2002), 78–124.
- [18] W. Browder, “Embedding smooth manifolds”, *Proc. Int. Congr. Math. Moscow 1966*, 1968, 712–719.
- [19] C. T. C. Wall, *Surgery on Compact Manifolds*, Academic Press, London, 1970.
- [20] T. Goodwillie and M. Weiss, “Embeddings from the point of view of immersion theory, II”, *Geometry and Topology*, **3** (1999), 103–118.
- [21] A. Skopenkov, “Classification of embeddings below the metastable dimension”, submitted, arXiv:math/0607422[math.GT].
- [22] A. Skopenkov, “A classification of smooth embeddings of 3-manifolds in 6-space”, *Math. Zeitschrift*, **260** (2008), 647–672, arXiv:math/0603429v5[math.GT].
- [23] M. Skopenkov, “When the set of embeddings is finite?”, submitted, arXiv:1106.1878v1[math.GT].
- [24] D. Crowley, S. Ferry and M. Skopenkov, “The rational classification of links in codimension >2 ”, *Forum Math.*, to appear, arXiv:1106.1455v1[math.AT].
- [25] J. F. P. Hudson, *Piecewise Linear Topology*, Benjamin, New York-Amsterdam, 1969.
- [26] U. Koschorke, “Multiple point invariants of link maps”, *Lect. Notes Math., Springer-Verlag*, **1350** (1988), 44–86.
- [27] G.F. Paechter, “The groups $\pi_r(V_{mn})$ ”, *Quart. J. Math. Oxford, Ser.2*; “I”, **7:28** (1956), 249–268; “II”, **9:33** (1958), 8–27; “III”, **10:37** (1959), 17–37; “IV”, **10:40** (1959), 241–260; “V”, **11:41** (1960), 1–16.
- [28] U. Koschorke, “On link maps and their homotopy classification”, *Math. Ann.*, **286:4** (1990), 753–782.
- [29] N. Habegger and U. Kaiser, “Link homotopy in the 2-metastable range”, *Topology*, **37:1** (1998), 75–94.

- [30] U. Koschorke, “Link maps and the geometry of their invariants”, *Manuscr. Math.*, **61:4** (1988), 383–415.
- [31] P.A. Kirk, “Link homotopy with one codimension two component”, *Trans. Amer. Math. Soc.*, **319:2** (1990), 663–688.
- [32] A. Haefliger, “Lissage des immersions- F ”, *Topology*, **6** (1967), 221–240.
- [33] V. Nezhinsky, “A suspension sequence in link theory”, *Izv. Akad. Nauk*, **48:1** (1984), 126–143 (in Russian).
- [34] A. Hatcher and F. Quinn, “Bordism invariants of intersections of submanifolds”, *Trans. Amer. Math. Soc.*, **200** (1974), 327–344.

Д. Реповш (D. Repovš)

Institute of Mathematics, Physics and Mechanics, and
University of Ljubljana, Slovenia

E-mail: dusan.repovs@guest.arnes.si

Поступила в редакцию

24.12.2011

М. Скопенков (M. Skopenkov)

Институт проблем передачи информации
им. А. А. Харкевича РАН и King Abdullah University of
Science and Technology, Saudi Arabia

E-mail: skopenkov@rambler.ru

М. Ценцель (M. Cencelj)

Institute of Mathematics, Physics and Mechanics, and
University of Ljubljana, Slovenia

E-mail: matija.cencelj@guest.arnes.si